

Müller-BBM Industry Solutions GmbH Helmut-A.-Müller Straße 1 - 5 82152 Planegg

Telefon +49(89)85602 0 Telefax +49(89)85602 111

www.mbbm-ind.com

Dipl.-Ing. (BA) Rebecca Thiel Telefon +49(89)85602 359 rebecca.thiel@mbbm-ind.com

08. Oktober 2025 M178329/18 Version 1 THI/KOP

## Flughafen München

# Lufthygienischer Jahresbericht 2024

Bericht Nr. M178329/18

Auftraggeber: FMG Flughafen München GmbH

Nordallee 25 85356 München

Messzeitraum: Januar bis Dezember 2024

an der technischen und inhaltlichen

Ausarbeitung beteiligte Mitarbeiter: Dipl.-Landsch.-ökol. Henning Beuck

M. Sc. Fabian Mayer M. Sc. Matthias Neudert

Dipl.-Ing. (FH) Christine Seuffert Dipl.-Ing. (FH) Frank Stöcklein Dipl.-Ing. (BA) Rebecca Thiel

Berichtsumfang: Insgesamt 87 Seiten,

davon 8 Seiten Anhang

Müller-BBM Industry Solutions GmbH HRB München 86143

USt-IdNr. DE812167190

Geschäftsführer: Joachim Bittner, Manuel Männel, Dr. Alexander Ropertz

# Inhaltsverzeichnis

Zusam	menfassung	4
1	Situation und Aufgabenstellung	7
2	Örtliche Situation	8
2.1	Standort und Topographie	8
2.2	Meteorologie am Standort	10
3	Messdurchführung	12
3.1	Messorte der Immissionsmessungen	12
3.2	Messumfang – Messkomponenten – Messverfahren	14
4	Beurteilungsgrundlagen	16
5	Beurteilung der meteorologischen Situation im Messzeitraum	20
5.1	Meteorologische Situation im Jahr 2024	20
5.2	Windrichtungshäufigkeitsverteilung im Kalenderjahr 2024	22
5.3	Weitere meteorologische Messungen	24
6	Ergebnisse der Immissionsmessungen 2024	28
6.1	Jahreskenngrößen der Luftschadstoffmessstation – Übersicht	28
6.2	Schwefeldioxid –SO <sub>2</sub> (LHY7)	29
6.3	Kohlenmonoxid – CO (LHY7)	31
6.4	Stickstoffmonoxid – NO (LHY7 und LHY4)	33
6.5	Stickstoffdioxid – NO <sub>2</sub> (LHY7 und LHY4)	37
6.6	$Ozon - O_3 (LHY7)$	41
6.7	BTEX und n-Alkane (LHY7 und LHY4)	42
6.8	Partikel PM <sub>10</sub> (LHY7)	62
6.9	Partikel PM <sub>2,5</sub> (LHY7)	66
6.10	Benzo(a)pyren im PM <sub>10</sub>	67
6.11	Staubniederschlag (LHY7)	69
7	Beurteilung der Immissionssituation am Flughafen München im Jahr 2024	71
7.1	Vergleich der aktuellen Messdaten mit den LÜB-Stationen München- Lothstraße, München-Johanneskirchen und Andechs	71
7.2	Beurteilung der Immissionssituation 2024	74
8	Literatur	77
9	Anhang	80

# MÜLLER-BBM

9.1	Häufigkeitsverteilung von Windrichtung und –geschwindigkeit in den jeweiligen Messmonaten (Januar bis Dezember 2024)	80
9.2	Weitere Kenngrößen der LHY7 und LHY4 (Jahresmittel- und Perzentilwerte)	86

## Zusammenfassung

Der Flughafen München betreibt seit 1993 mehrere Immissionsmessstationen im Umfeld des Flughafens. Die Ergebnisse der Immissionsmessungen im Kalenderjahr 2024 an den Messorten LHY7 (Hauptmessstation) und LHY4 (Brandau) können folgendermaßen zusammengefasst werden:

- Wie bereits in den vorangegangenen Jahren wurde an der Hauptmessstation LHY7 mit 2 μg/m³ im Jahresmittel eine nur sehr geringe Schwefeldioxidbelastung festgestellt. Die Immissionsgrenzwerte der 39. BImSchV für das Tagesund Stundenmittel wurden deutlich unterschritten.
- Die mittlere Kohlenmonoxid-Konzentration im Jahr 2024 entspricht mit 0,2 mg/m³ ebenfalls dem Immissionsniveau der Vorjahre. Der 8-Stunden-Immissionsgrenzwert von 10 mg/m³, gemäß 39. BImSchV, wurde mit einem Maximalwert 0,6 mg/m³ deutlich unterschritten.
- Der Jahresmittelwert der Hauptmessstation LHY7 für Partikel PM<sub>10</sub> betrug 11 μg/m³. Der Jahresimmissionsgrenzwert für Partikel PM<sub>10</sub> von 40 μg/m³ zum Schutz der menschlichen Gesundheit wurde somit deutlich unterschritten. Der maximal an 35 Tagen im Kalenderjahr zulässige Tagesmittelwert von 50 μg/m³ wurde im Jahr 2024 an zwei Tagen bei der gravimetrischen und an vier Tagen bei der kontinuierlichen Messmethode überschritten.
- Die mittlere PM<sub>2,5</sub>-Konzentration im Kalenderjahr 2024 lag mit 6 μg/m³ deutlich unterhalb des Jahresimmissionsgrenzwertes von 25 μg/m³.
- Für Stickstoffdioxid (NO<sub>2</sub>) beträgt der Immissionsgrenzwert für das Kalenderjahr 40 μg/m³. Im Jahr 2024 wurde sowohl an der Hauptmessstation als auch an der LHY4 ein Jahresmittelwert von 13 μg/m³ bestimmt. Der Jahresimmissionsgrenzwert gemäß 39. BImSchV wurde somit an beiden Messorten sicher eingehalten. Der Stundenimmissionsgrenzwert von 200 μg/m³ wurde weder an der Station LHY4 noch am Messstandort LHY7 überschritten. 18 Überschreitungen im Kalenderjahr sind zulässig.
- Der Stickstoffmonoxid (NO)-Mittelwert für das Kalenderjahr 2024 betrug an der LHY7 und an der LHY4 4 µg/m³. Für diese Messkomponente gibt es immissionsseitig keinen Grenzwert bzw. kein Beurteilungskriterium.
- Die in der 39. BImSchV festgelegte Informationsschwelle von 180 μg/m³ als Stunden-Mittelwert wurde bei den Ozonmessungen an der LHY7 im Jahr 2024 nicht überschritten.
  - Der Jahresmittelwert für das Kalenderjahr 2024 für Ozon beträgt 46  $\mu g/m^3$  und lag damit im Bereich der Vorjahre. Ein Immissionswert gemäß 39. BImSchV für das Kalenderjahr existiert dabei nicht.

Der zum Schutz der menschlichen Gesundheit festgelegte Zielwert beträgt 120 µg/m³ als höchster 8-Stunden-Mittelwert während eines Tages bei 25 zugelassenen Überschreitungen pro Kalenderjahr. Die Mittelung der Überschreitungstage erfolgt über drei Jahre. Im Kalenderjahr 2024 wurde der Zielwert zum Schutz der menschlichen Gesundheit an der Hauptmessstation LHY7 an unterdurchschnittlichen 3 Tagen überschritten. In Bezug auf die Jahre 2022 bis 2024

ergibt sich eine gemittelte Überschreitungsanzahl von 17 Tagen pro Kalenderjahr.

- Die Benzol-Konzentration entspricht mit 0,4 μg/m³ an der Hauptmessstation LHY7 und gleichermaßen 0,4 μg/m³ an der Messstation LHY4 im Jahresmittel dem niedrigen Immissionsniveau der Vorjahre. Der Grenzwert der 39. BlmSchV von 5 μg/m³ im Jahresmittel wurde an beiden Messorten deutlich unterschritten.
- Bei den zusätzlich bestimmten Komponenten Toluol, Xylole und Ethylbenzol wurden an beiden Messstationen (LHY4 und LHY7) Mittelwerte weit unterhalb der jeweiligen Beurteilungswerte des Länderausschuss für Immissionsschutz (LAI) bestimmt.
- Für die Benzo(a)pyren-Konzentration in der PM<sub>10</sub>-Fraktion wurden an der Hauptmessstation LHY7 0,09 μg/m³ und an der LHY4 ein Jahresmittelwert von 0,08 ng/m³ ermittelt. Der Zielwert über ein Kalenderjahr gemäß 39. BImSchV von 1 ng/m³ wurde somit deutlich unterschritten.
- Der Jahresmittelwert der n-Alkane (n-Hexan (C6) bis n-Tetradekan (C14)) an der Hauptmessstation LHY7 und an der Messstation LHY4 liegt mit jeweils < 1 μg/m³ auf einem sehr niedrigen Niveau. Ein Grenzwert für diese Parameter existiert nicht. Zur besseren Beurteilung kann der Richtwert I des Ausschusses für Innenraumrichtwerte (AIR) von 200 μg/m³ herangezogen werden. Dieser Richtwert bezieht sich nur auf die n-Alkane n-Nonan (C9) bis n-Tetradekan (C14). Im Vergleich zu diesem Richtwert wurden im Mittel um mehr als den Faktor 200 geringere n-Alkan-Konzentrationen bestimmt.

Da die gemessenen n-Alkane als Tracer für Kerosin gelten, konnte somit ein Vorhandensein von relevanten Kerosin- oder anderen Kraftstoffemissionen messtechnisch nicht nachgewiesen werden.

Zusammenfassend lag das Immissionsniveau am Flughafen München 2024 in einen unauffälligen Bereich, welcher dem vorstädtischen und ländlichen Hintergrund zugewiesen werden kann.

Für den Inhalt zeichnen verantwortlich:

M. Sc. Matthias Neudert Berichtserstellung Qualitätssicherung

Telefon +49(89)85602-3028

M. Theel

Dipl.-Ing. (BA) Rebecca Thiel Berichtserstellung Projektleitung / Fachlich Verantwortlich

Telefon +49(89)85602-359

C. Senfur

Dipl.-Ing. (FH) Christine Seuffert Qualitätssicherung

Telefon +49(89)85602-274





Durch die DAkkS nach DIN EN ISO/IEC 17025:2018 akkreditiertes Prüflaboratorium. Die Akkreditierung gilt nur für den in der Urkundenanlage aufgeführten Akkreditierungsumfang.

## 1 Situation und Aufgabenstellung

Im Zuge der Errichtung des Flughafens München im Erdinger Moos (Eröffnung am 17.05.1992) wurde die Betreibergesellschaft, die Flughafen München GmbH (FMG), durch behördliche Auflagen zum Betrieb zusätzlicher lufthygienischer Überwachungsstationen verpflichtet.

Seit der Inbetriebnahme des Flughafens im Erdinger Moos werden daher, um den Einfluss des Flughafens auf die Luftqualität emittentennah zu ermitteln, lufthygienische Immissionsmessungen im Osten des Flughafens und damit im Lee der Hauptwindrichtung, durchgeführt. Im Jahr 2003 wurden die Immissionsmessungen um einen weiteren Messort im Westen und somit im Luv der Hauptwindrichtung ergänzt.

Die Immissionsmessungen beinhalten die Messparameter der 39. Bundesimmissionsschutzverordnung (39. BImSchV).

Im hier vorliegenden Jahresbericht für das Kalenderjahr 2024 werden die Ergebnisse der kontinuierlichen Immissionsmessungen der beiden Dauermessstationen zusammengefasst. Der Bericht beschreibt auch die im Zusammenhang mit den Messungen notwendigen Informationen zu den Messorten und dem Messumfang für das Kalenderjahr 2024. Weitere Informationen zu den Immissionsmessungen am Flughafen München können auch der Homepage der FMG entnommen werden.

#### 2 Örtliche Situation

#### 2.1 Standort und Topographie

Der Flughafen München liegt im Erdinger Moos etwa 2 km südöstlich von Freising. Im Umgriff des Flughafengeländes befinden sich mehrere Orte und Siedlungen. Im Norden, in einer Entfernung von ca. 1,6 km, liegt der Ort Attaching. Im Umkreis von 2 - 6 km liegen im Osten die Orte Eitting (ca. 6 km), im Südosten Schwaig (ca. 4,4 km) und Oberding (ca. 6 km), im Süden Goldach (ca. 5,5 km) und im Westen Pulling (ca. 5,5 km).

Das Flughafengelände ist umgeben von einer wasserreichen Moor- und Auenlandschaft. Im Westen, angrenzend an das Flughafengelände, und im Norden in 2 - 4 km Entfernung vom Flughafen befindet sich das FFH-Gebiet "Isarauen von Unterföhring bis Landshut".



Abbildung 1. Lage des Flughafens (rot markiert) und Umgebung [40].

Das Gelände im Umgriff des Flughafens ist schwach orografisch gegliedert und weist keine größeren Steigungen auf. In der nachstehenden Abbildung ist die Orographie in der Flughafenumgebung grafisch dargestellt.



Abbildung 2. Orografie im Umgriff des Flughafens München [45].

#### 2.2 Meteorologie am Standort

Der Berücksichtigung der meteorologischen Situation kommt im Rahmen von anlagenbezogenen Immissionsmessungen eine besondere Bedeutung zu, da die Ausbreitungsbedingungen anthropogen emittierter Spurenstoffe maßgeblich durch die meteorologische Situation der atmosphärischen Grenzschicht beeinflusst werden. Die Ausbreitungsbedingungen werden im Allgemeinen mit den Parametern Windrichtung und Windgeschwindigkeit sowie der Ausbreitungsklasse beschrieben.

Zur Beschreibung der meteorologischen Verhältnisse am Standort kann auf eine meteorologische Zeitreihe (AKTerm) der DWD-Station Flughafen München (Erdinger Moos) zurückgegriffen werden. Als das repräsentative Jahr für den Bezugszeitraum von 2013 – 2022 wurde das Jahr 2016 ermittelt [43].

Abbildung 3 zeigt die Windrichtungshäufigkeitsverteilung der Station Flughafen München für das Jahr 2016 [43]. Neben dem deutlich ausgeprägten Primärmaximum aus südwestlichen Richtungen zeigt die Häufigkeitsverteilung ein weniger stark ausgeprägtes Sekundärmaximum aus Nordost bis Ost. Somit werden die Schadstoffemissionen bevorzugt in nordöstliche bzw. südwestliche Richtungen verfrachtet. Höhere Windgeschwindigkeiten sind zum überwiegenden Teil an die südwestlichen Windrichtungen gekoppelt.

Die mittlere Windgeschwindigkeit beträgt 3,0 m/s.

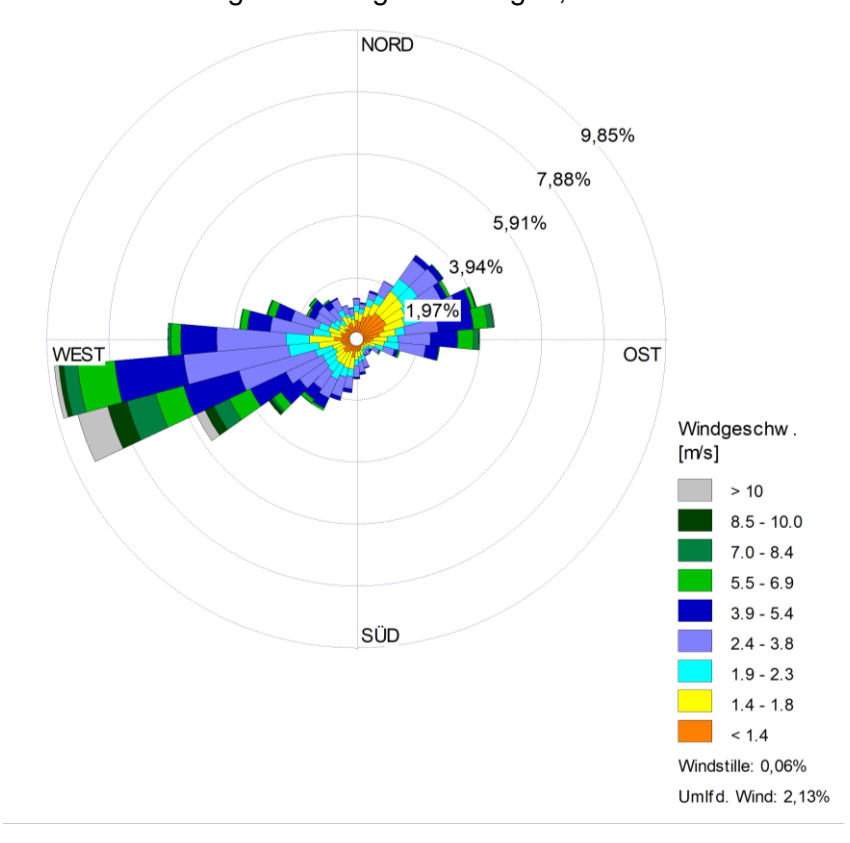


Abbildung 3. Windrichtungshäufigkeitsverteilung der DWD Station München Flughafen, 2016 [42].

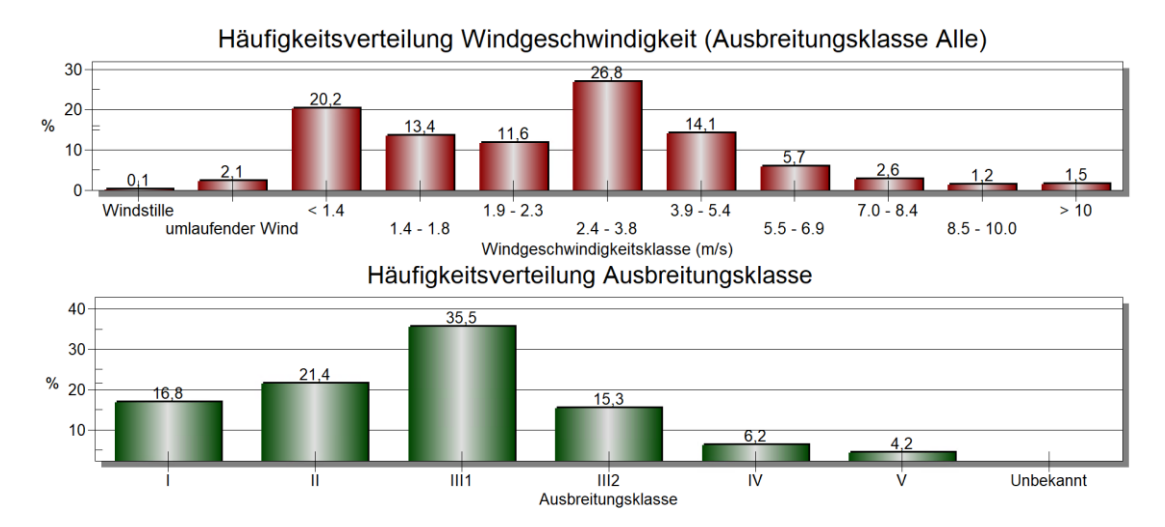


Abbildung 4. Häufigkeitsverteilung der Windgeschwindigkeits- und Ausbreitungsklassen der DWD Station München-Flughafen im Jahr 2016 [42].

Abbildung 4 zeigt die Windrichtungshäufigkeitsverteilung und die Häufigkeitsverteilung der Windgeschwindigkeit sowie der Ausbreitungsklassen nach TA Luft. Windschwache Lagen mit Windgeschwindigkeiten < 1,4 m/s und umlaufende Winde kommen in ca. 22 % der Jahresstunden vor. Mit etwa 51 % Anteil an der Häufigkeit aller Ausbreitungsklassen sind die indifferenten Ausbreitungssituationen der Klassen III/1 und III/2 am häufigsten. Stabile Ausbreitungssituationen der Klassen I und II, zu denen unter anderem die Inversionswetterlagen zu rechnen sind, treten an etwa 38 % der Jahresstunden auf.

## 3 Messdurchführung

#### 3.1 Messorte der Immissionsmessungen

Die Flughafen München GmbH erteilte der Müller-BBM Industry Solutions GmbH (in der Rechtsnachfolge der Müller-BBM GmbH) als Messstelle nach § 29b BlmSchG mit Wirkung ab 01.01.2003 den Auftrag zum Betrieb der Messstationen am Flughafen München.

Nach dem 21. Januar 2000 befand sich die Messstation Flughafen am Standort Schwaigerloh (LHY3). Zum 1. September 2003 wurde die Messstation Hallbergmoos Brandau (LHY4) am westlichen Rand des Flughafengeländes (in der Verlängerung der Start- und Landebahn Süd) mit einer kontinuierlichen NO<sub>x</sub>-Messung in Betrieb genommen.

Am 22. Dezember 2004 wurde die Messstation Schwaigerloh (LHY3) nach Fertigstellung und Inbetriebnahme des Terminal 2 näher zum Kernbereich hin versetzt und als Messstation Allgemeine Luftfahrt bzw. Allg. LF (LHY6) wieder in Betrieb genommen.

Der Umbau des Heliports im Bereich der Allg. Luftfahrt erforderte den erneuten Umzug der Station LHY6 an einen Ersatzstandort. Dieser erfolgte Anfang Januar 2012. Die Station wurde in den Sicherheitsbereich an das östliche Ende der südlichen Start- und Landebahn versetzt. Der neue Name der Station lautet "Start- und Landebahn Südost" (LHY7).

In den nachfolgenden Abbildungen sind die Lage der Immissionsmessstationen, sowie deren Außenansicht, dargestellt.

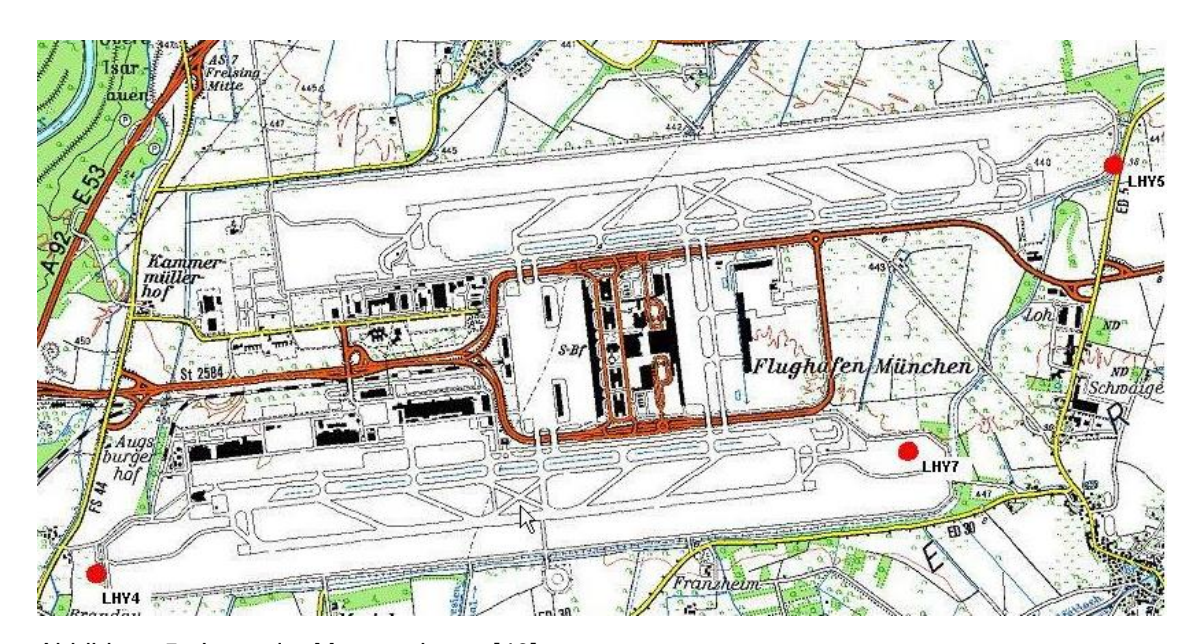


Abbildung 5. Lage der Messstationen [40].

In zwei weiteren Abbildungen sind die beiden Messstationen dargestellt.





Abbildung 6. Außenansicht der lufthygienischen Messstationen (oben LHY7, unten LHY4).

#### 3.2 Messumfang – Messkomponenten – Messverfahren

Die Ausstattung der Hauptmessstation LHY7 wurde so gewählt, dass alle immissionsrelevanten Luftschadstoffe, die im Umfeld eines Flughafens entstehen können, erfasst werden. Dies beinhaltete die Messung der Partikel (PM<sub>10</sub>, PM<sub>2,5</sub> und deren Inhaltsstoffe), Stickstoffoxide, Schwefeldioxid, Kohlenmonoxid, Ozon, sowie der BTEX-Verbindungen und möglicher Kerosinbestandteile (n-Alkane).

In der Messstation LHY4 werden Stickstoffmonoxid und -dioxid erfasst, da Stickstoffdioxid als kritischster Immissionsparameter im Hinblick auf mögliche Grenzwertüberschreitungen angesehen werden kann.

Da der meteorologischen Situation bei der Ausbreitung von Luftschadstoffen eine wesentliche Bedeutung zukommt, werden die meteorologischen Randparameter auch an der Hauptmessstation LHY7 bestimmt. In den nachfolgenden Tabellen sind die Messkomponenten mit den dazugehörigen Messgeräten und Messverfahren der Messstationen LHY7 und LHY4 zusammengefasst [11] - [38].

Tabelle 1. Zusammenfassung der Messverfahren der Luftschadstoffe an der Messstation LHY7.

Parameter	Messgerät	Richtlinie/ Messprinzip	Messbereich	Ersatzwert
SO <sub>2</sub>	Horiba, APSA - 370	DIN EN 14212 UV-Absorption	0 – 1,4 mg/m³	2 μg/m³
СО	Horiba, APMA – 370	DIN EN 14626 NDIR	0 - 25 mg/m³	0,05 mg/m <sup>3</sup>
NO/ NO <sub>2</sub>	Horiba APNA 370	DIN EN 14211 Chemilumineszenz	0 - 1,35 mg/m³/ 0 - 2,00 mg/m³	1 μg/m³/ 4 μg/m³
O <sub>3</sub>	Horiba, APOA - 370	DIN EN 14625 UV-Absorption	0 - 0,5 mg/m <sup>3</sup>	3 μg/m³
Partikel (PM <sub>10</sub> )	Comde Derenda LVS 3.1/ PNS 16 bzw. Horiba, APDA 372	DIN EN 12341 Gravimetrie bzw. DIN EN 16450 Streulicht	0 - 1,0 mg/m³	1 μg/m³ Gravimetrie 1 μg/m³ Streulicht
Partkel (PM <sub>2,5</sub> )	LVS 3.1/ PNS 16 Comde Derenda	Gravimetrie DIN EN 12341	0 - 1,0 mg/m <sup>3</sup>	1 μg/m³ Gravimetrie
Benzol/ Toluol Xylole/ n-Alkane	aktive Probenahme und Analyse mit GC-MS gemäß DIN EN 14662, Teil 2	DIN EN 14662, Teil 2 GC / FID	-	Bestimmungsgrenze variiert je nach Beprobungszeit
Benzo(a)pyren im PM <sub>10</sub>	LVS 3.1/ PNS 16 Comde Derenda	GC/MS DIN EN 15549	-	Bestimmungsgrenze variiert je nach Beprobungszeit
Staubnieder- schlag	Bergerhoff – Gerät	VDI 4320, BI. 2 Deposition	-	Bestimmungsgrenze variiert je nach Beprobungszeit

Tabelle 2. Zusammenfassung der meteorologischen Messverfahren der Messstation LHY7.

Parameter	Messgerät	Messprinzip	Messbereich	Unsicherheit
Temperatur	1.1005.54.161	Pt100	-30 - + 70 °C	± 0,2 °C
rel. Feuchte	1.1005.54.161	Kapazitiver Sensor	0 - 100 % rel. F.	$\pm$ 2 % rel. F.
Windgeschwindigkeit	4.3324.32.061	Schalenstern	0,3 - 50 m/s	$\pm$ 0,4 m/s
Windrichtung	4.3324.32.061	Windfahne	0 - 360°	± 2,5°
Luftdruck	3.1150.10.015	Piezo resistiv	800 – 1.060 hPa	± 1 hPa
Globalstrahlung	7.14150.00.000	Pyranometer GSM 10.7	0 – 1.300 W/m²	± 10 %

Tabelle 3. Zusammenfassung der Messverfahren der Luftschadstoffe an der Messstation LHY4.

Parameter	Messgerät	Messprinzip	Messbereich	Ersatzwert
NO	Horiba, APNA 370	Chemilumineszenz	0 - 1,35 mg/m <sup>3</sup>	1 μg/m³
NO <sub>2</sub>			0 - 2,00 mg/m <sup>3</sup>	4 μg/m³
Benzol/ Toluol Xylole/ n-Alkane	aktive Probenahme und Analyse mit GC-MS gemäß DIN EN 14662, Teil 2	DIN EN 14662, Teil 2 GC / FID	-	relative Bestimmungs- grenze

Grundsätzlich werden für die Immissionsmessungen am Flughafen München, soweit vorhanden, eignungsgeprüfte Immissionsanalysatoren verwendet. Zudem entsprechen die Messverfahren den Referenzmethoden der 39. BImSchV bzw. deren Gleichwertigkeit wurde festgestellt (siehe Abschnitt 6.8.2).

# 4 Beurteilungsgrundlagen

In den nachfolgenden Tabellen sind die wichtigsten Bezugsgrößen für die ermittelten Luftschadstoffe zusammengestellt. Wichtig sind in diesem Zusammenhang der Zeitbezug und der Verbindlichkeitscharakter der Größen. Die gasförmigen Messkomponenten werden auf Normbedingungen 293,15 K und 1013,25 hPa bezogen. Abweichend davon beziehen sich die Angaben bei Partikeln (PM<sub>10</sub> und PM<sub>2,5</sub>) auf das tatsächlich abgesaugte Volumen bei Außenluftbedingungen.

Tabelle 4. Beurteilungswerte für Partikel PM<sub>10</sub>.

Quelle	Immissions- wert	Bezug	Verbindlich- keit	Bemerkung
39. BImSchV	50 μg/m³	24 h-Mittelwert (≤ 35 Überschreitung/ Jahr)	Immissions- grenzwert	Schutz der mensch- lichen Gesundheit
	40 μg/m³	Jahresmittelwert	Immissions- grenzwert	Schutz der mensch- lichen Gesundheit
TA Luft	50 μg/m³	24 h-Mittelwert (≤ 35 Überschreitung/ Jahr)	Immissions- wert	Schutz der mensch- lichen Gesundheit
	40 μg/m³	Jahresmittelwert	Immissions- wert	Schutz der mensch- lichen Gesundheit

Tabelle 5. Beurteilungswerte für Partikel PM<sub>2,5</sub>.

Quelle	Immissions- wert	Bezug	Verbindlich- keit	Bemerkung
39. BlmSchV	25 μg/m³	Jahresmittelwert	Immissions- grenzwert	Schutz der mensch- lichen Gesundheit
TA Luft	25 μg/m³	Jahresmittelwert	Immissions- wert	Schutz der mensch- lichen Gesundheit

Tabelle 6. Beurteilungswerte für Staubniederschlag.

Quelle	Immissions- wert	Bezug	Verbindlich- keit	Bemerkung
TA Luft	0,35 g/(m <sup>2*</sup> d)	Jahresmittelwert	Immissionswert	Schutz vor erheblichen Belästigungen oder erheblichen Nachteilen

Tabelle 7. Beurteilungswerte für Kohlenmonoxid.

Quelle	Immissions- wert	Bezug	Verbindlich- keit	Bemerkung
39. BlmSchV	10 mg/m³	8 h-Mittelwert	Immissions- grenzwert	Schutz der mensch- lichen Gesundheit

Tabelle 8. Beurteilungswerte für Stickstoffdioxid.

Quelle	Immissions- wert	Bezug	Verbindlich- keit	Bemerkung
39. BlmSchV	200 μg/m³	1 h-Mittelwert; (≤ 18 Überschreitung/ Jahr)	Immissions- grenzwert	Schutz der mensch- lichen Gesundheit
	40 μg/m³	Jahresmittelwert	Immissions- grenzwert	Schutz der mensch- lichen Gesundheit
	400 μg/m³	1-h-Mittelwert in drei aufeinanderfolgenden Stunden	Alarmschwelle	Risiko der Gesundheit der Gesamtbevölkerung
TA Luft	40 μg/m³	Jahresmittelwert	Immissions- wert	Schutz der mensch- lichen Gesundheit
	200 μg/m³	1 h-Mittelwert; (≤ 18 Überschreitung/ Jahr)	Immissions- wert	Schutz der mensch- lichen Gesundheit

Tabelle 9. Beurteilungswerte für Schwefeldioxid.

Quelle	Immissions- wert	Bezug	Verbindlich- keit	Bemerkung
39. BlmSchV	350 μg/m <sup>3</sup>	1 h-Mittelwert; (≤ 24 Überschreitung/ Jahr)	Immissions- grenzwert	Schutz der mensch- lichen Gesundheit
	125 μg/m³	24 h-Mittelwert (≤ 3 Über- schreitung/Jahr)	Immissions- grenzwert	Schutz der mensch- lichen Gesundheit
	500 μg/m³	1-h-Mittelwert in drei aufeinanderfolgenden Stunden	Alarmschwelle	Risiko der Gesundheit der Gesamtbevölkerung
TA Luft	50 μg/m³	Jahresmittelwert	Immissions- wert	Schutz der mensch- lichen Gesundheit
	125 μg/m³	24 h-Mittelwert (≤ 3 Überschreitung/ Jahr)	Immissions- wert	Schutz der mensch- lichen Gesundheit

Tabelle 10. Beurteilungswerte für Ozon.

Quelle	Immissions- wert	Bezug	Verbindlich- keit	Bemerkung
39. BlmSchV	120 μg/m³	höchster 8 h-Mittelwert während eines Tages; ≤ 25 Überschr./Jahr, gemittelt über 3 Jahre	Zielwert	Schutz der menschlichen Gesundheit
	120 μg/m³	höchster 8 h-Mittelwert während eines Tages	langfristiges Ziel	Schutz der menschlichen Gesundheit
	180 μg/m³	1 h-Mittelwert	Informations- schwelle	Risiko für Gesundheit besonders empfindlicher Bevölkerungsgruppen
_	240 μg/m³	1 h-Mittelwert	Alarmschwelle	Risiko der Gesundheit der Gesamtbevölkerung

#### Tabelle 11. Beurteilungswerte für Benzol.

Quelle	Immissions- wert	Bezug	Verbindlich- keit	Bemerkung
39. BlmSchV	5 μg/m³	Jahresmittelwert	Immissions- grenzwert	Schutz der mensch- lichen Gesundheit
TA Luft	5 μg/m³	Jahresmittelwert	Immissions- wert	Schutz der mensch- lichen Gesundheit

#### Tabelle 12. Beurteilungswerte für Toluol.

Quelle	Immissions- wert	Bezug	Verbindlich- keit	Bemerkung
LAI	30 μg/m³	Jahresmittelwert	Zielwert	Zielwert für Staatliche Luftreinhalteplanung

## Tabelle 13. Beurteilungswerte für Xylol.

Quelle	Immissions- wert	Bezug	Verbindlich- keit	Bemerkung
LAI	30 μg/m³	Jahresmittelwert	Zielwert	Zielwert für Staatliche Luftreinhalteplanung

## Tabelle 14. Beurteilungswerte für Ethylbenzol.

Quelle	Immissions- wert	Bezug	Verbindlich- keit	Bemerkung
LAI	880 µg/m³	Jahresmittelwert	Zielwert	1/100 AGW gemäß LAI 2004

Tabelle 15. Beurteilungswerte für n-Alkane.

Quelle	Immissions- wert	Bezug	Verbindlich- keit	Bemerkung
Umweltbun- desamt	0,2 mg/m³ (C9 – C14 Alkane)	Jahresmittelwert	Orientierender Zielwert	Richtwert I (RW I) <sup>1)</sup>

Ausschuss für Innenraumrichtwerte, des Umweltbundesamtes. Richtwert I (RW I) stellt die Konzentration eines Stoffes in der Innenraumluft dar, bei der bei einer Einzelstoffbetrachtung nach gegenwärtigem Erkenntnisstand auch dann keine gesundheitliche Beeinträchtigung zu erwarten ist, wenn ein Mensch diesem Stoff lebenslang ausgesetzt ist.

Tabelle 16. Beurteilungswerte für Benzo(a)pyren im PM<sub>10</sub>.

Quelle	Immissions wert	Bezug	Verbindlich- keit	Bemerkung
39. BlmSchV	1 ng/m³	Jahresmittelwert	Zielwert	Schutz der mensch- lichen Gesundheit

## 5 Beurteilung der meteorologischen Situation im Messzeitraum

#### 5.1 Meteorologische Situation im Jahr 2024

Die meteorologische Situation im Kalenderjahr 2024 der am Flughafen München durchgeführten Immissionsmessungen kann aus lufthygienischer Sicht wie folgt zusammengefasst werden [46]:

Nach einem milden Jahresauftakt zeigte sich der Januar 2024 insbesondere in der zweiten und dritten Monatswoche mit teils sehr winterlichen Temperaturen von bis zu - 10 °C. Am 17.01.2024 sorgte eine Luftmassengrenze für Schneefälle und Glatteisregen. Weiter kam es am 24.01.2024 zu Windgeschwindigkeiten von bis zu 17 m/s.

Der Februar 2024 wurde größtenteils von außergewöhnlich milder Atlantikluft geprägt, woraus eine deutlich positive Temperaturabweichung im Vergleich zum langjährigen Mittel resultierte. Infolgedessen blieben Schneefälle aus. Ansonsten zeigte sich der Februar 2024 mit sehr durchschnittlichen Niederschlagsmengen, Sonnenstunden und Windgeschwindigkeiten.

Der März 2024 war trotz vereinzelter Frostnächte im Monatsmittel deutlich zu warm. So wurden Ende März Maximaltemperaturen bis zu 23 °C erfasst. Am Monatsende vom 29.03. - 31.03.2024 gab es ein Saharastaubereignis mit ungewöhnlich warmen Luftmassen. Dieses Phänomen wurde bayernweit festgestellt.

Im April 2024 wurden in der ersten Monatshälfte warme Luftmassen aus Nordafrika nach Deutschland transportiert. Zur Monatsmitte führte eine gut ausgebildete Kaltfront zu einem deutlichen Wetterumschwung. In Folge kam es zu einem typischen Aprilwetter mit Regen- Schnee- und Graupelschauern.

Der Mai 2024 zeigte sich aufgrund einer festgefahrenen Tiefdrucklage deutlich zu niederschlagsreich. Es kam zu wiederholten unwetterartigen Niederschlägen, die teils in kurzen Zeiträumen wolkenbruchartig ganze Monatsmengen mit sich brachten. Zusätzlich blieb es in der feuchten Luft deutlich zu warm.

Die Witterung im Juni 2024 war wechselhaft und schwankte zwischen kühlen Temperaturen und hochsommerlicher Hitze. Wiederholt kam es zu kräftigen Niederschlägen, insbesondere zu Monatsbeginn führten die hohen Niederschlagsmengen teils zu Hochwasser. Gegen Monatsende zeigten sich die bisher sonnenscheinreichsten Tage des Jahres.

Der Juli 2024 zeigte sich sehr wechselhaft. Auf kurze Hitzewellen folgten oftmals Schauer mit teils heftigen Gewittern. Im Vergleich zum langjährigen Mittel wurden im Juli 2024 mit 147 mm etwa 46 % höhere Niederschlagsmengen erfasst. Sommerlich hohe Temperaturen waren häufig mit viel Luftfeuchte verbunden, wodurch eine schwülwarme Witterung entstand.

Der August 2024 zeigte sich überdurchschnittlich warm, jedoch im Vergleich zu anderen Regionen in Bayern mit ungewöhnlich trockenen Witterungsverhältnissen. Die vorherrschenden warm-feuchten Luftmassen dämpften die nächtlichen Ausstrahlungen und hielten die mittlere Temperatur auf einem hohen Niveau.

Die erste Dekade im September 2024 war von sommerlichen Temperaturen geprägt, in der zweiten Monatsdekade schlug das Wetter um und brachte einen Temperatursturz mit heftigen Niederschlägen. Mit 203 mm war die Niederschlagsmenge mehr als dreimal so hoch als im langjährigen Mittel.

Im Oktober 2024 kam es zum Monatsanfang durch Föhnunterstützung wiederholt zu sehr milden Temperaturen. Die zweite Monatsdekade war maßgeblich vom Einfluss einer Hochdruckwetterlage aus Osten geprägt. Die Sonnenscheindauer blieb aufgrund von dichten Wolkenfeldern und Hochnebel deutlich unterhalb des langjährigen Mittelwertes.

Im November 2024 dominierte in der ersten Monatshälfte eine stabile Hochdruckwetterlage in Verbindung mit Hochnebel mit kontinuierlich abfallenden Temperaturen. Zur Monatsmitte kam es zu einem Wetterumschwung mit einem Tiefdruckgebiet aus Westen mit teils böigen Windverhältnissen. Die letzte Novemberwoche zeigte sich mit vergleichsweise milden Temperaturen.

Bis Ende der zweiten Dekade zeigte sich der Dezember 2024 verhältnismäßig mild mit Temperaturen bis zu 13° C. Ab der dritten Dekade fielen die Temperaturen auf Tiefstwerte bis zu -6 °C. Im Vergleich zum langjährigen und auch bundesweiten Mittel war der Dezember 2024 sehr niederschlagsreich. Insgesamt zeigte sich der Dezember 2024 zu feucht bei unterdurchschnittlicher Sonnenscheindauer.

Zusammenfassend kann der Messzeitraum als deutlich zu warm und deutlich zu nass bezeichnet werden. Im Kalenderjahr 2024 wurde in Summe eine Niederschlagsmenge von 1041 mm erfasst und somit der langjährige Mittelwert für den Messstandort von 755 mm deutlich überschritten. Unter dieser Annahme kann der Messzeitraum 2024 als deutlich zu feucht bezeichnet werden. Ursache hierfür sind im Besonderen die niederschlagsreichen Monate Mai bis Juli und September 2024.

#### 5.2 Windrichtungshäufigkeitsverteilung im Kalenderjahr 2024

In der nachfolgenden Abbildung 7 ist die Windrichtungshäufigkeitsverteilung an der Luftgütemessstation LHY7 im Kalenderjahr 2024 dargestellt.

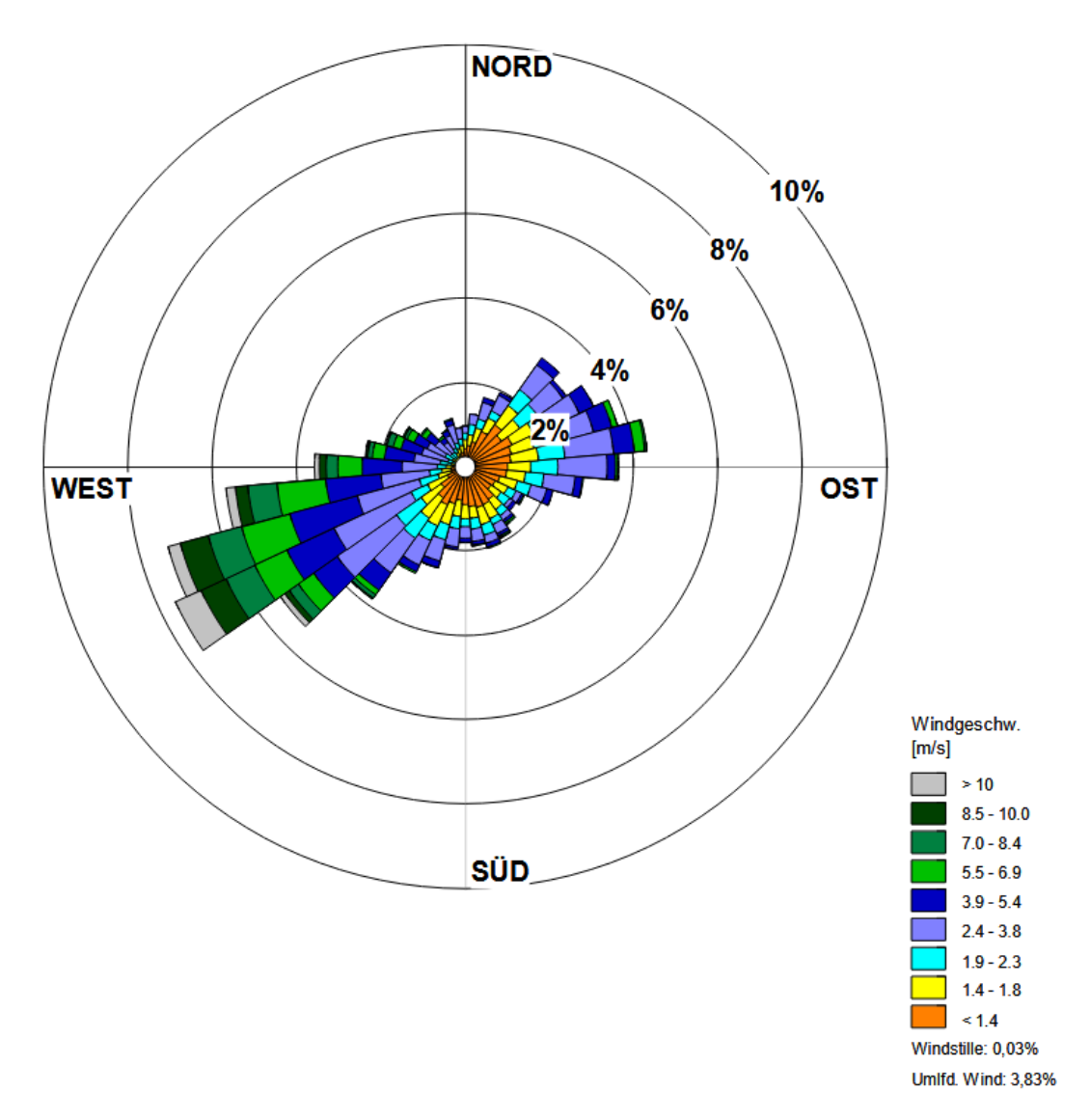


Abbildung 7. Windrichtungshäufigkeitsverteilung an der Luftgütemessstation LHY7 am Flughafen München im Kalenderjahr 2024.

Die Häufigkeitsverteilungen der Windrichtung und -geschwindigkeit für das Kalenderjahr 2024 zeigt ein Primärmaximum aus westlichen bis südwestlichen und ein Sekundärmaximum aus östlichen bis nordöstlichen Richtungen. Insgesamt zeigt sich bei der Windrichtungshäufigkeitsverteilung im Messzeitraum 2024 eine gute Übereinstimmung zum repräsentativen Jahr 2016. Der Anteil an Schwachwinden (Kalmen < 0,5 m/s) betrug 5,5 %. Der Anteil an windschwachen Situationen (< 1,4 m/s) betrug 21,4 % und ist typischerweise keiner spezifischen Windrichtung zuzuordnen. Hohe Windgeschwindigkeiten sind dagegen zum überwiegenden Teil an westliche bis südwestliche Windrichtungen gekoppelt.

# MÜLLER-BBM

Die Windrichtungsverteilung ist im Wesentlichen durch die Lage am nördlichen Rand der Münchener Schotterebene geprägt. Es zeigt sich grundsätzlich eine gute Übereinstimmung zur überregionalen Windrichtungsverteilung, die durch die DWD-Station München-Flughafen repräsentiert wird. Im Gegensatz zur langjährigen überregionalen Windverteilung wurde im Messzeitraum eine insgesamt stärker gefächerte Windrichtungsverteilung und weniger Westwind bestimmt.

Im Anhang (vgl. 9.1) sind zudem die Windrichtungsverteilungen der jeweiligen Kalendermonate Januar 2024 bis Dezember 2024 dargestellt. Auf Grundlage dieser monatlichen Windverteilung können die Luftschadstoffkonzentrationen in Form der Monatsmittelwerte bewertet werden. Zusammenfassend lag der Januar, Februar, April und Juni 2024 überwiegend im Einfluss westlicher Windrichtungen. In den Monaten März, Mai, September, November und Dezember 2024 gab es ein Primärmaximum aus westlich bis südwestlichen und ein Sekundärmaximum aus östlichen bis nordöstlichen Richtungen. Der Oktober 2024 war maßgeblich von Ostanströmungen geprägt. Im September wurden neben Südwest- auch Nordostanströmungen registriert. Im Juli und August gab es ein Primärmaximum aus westlichen bis südwestlichen Richtungen und ein schwach ausgeprägtes Sekundärmaximum aus östlichen Richtungen.

In den nachfolgenden Abbildungen sind der Verlauf der Windgeschwindigkeit im Jahr 2024 sowie die Monatsmittelwerte der Windgeschwindigkeit im Kalenderjahr 2024 dargestellt.

## 5.3 Weitere meteorologische Messungen

### 5.3.1 Windgeschwindigkeit

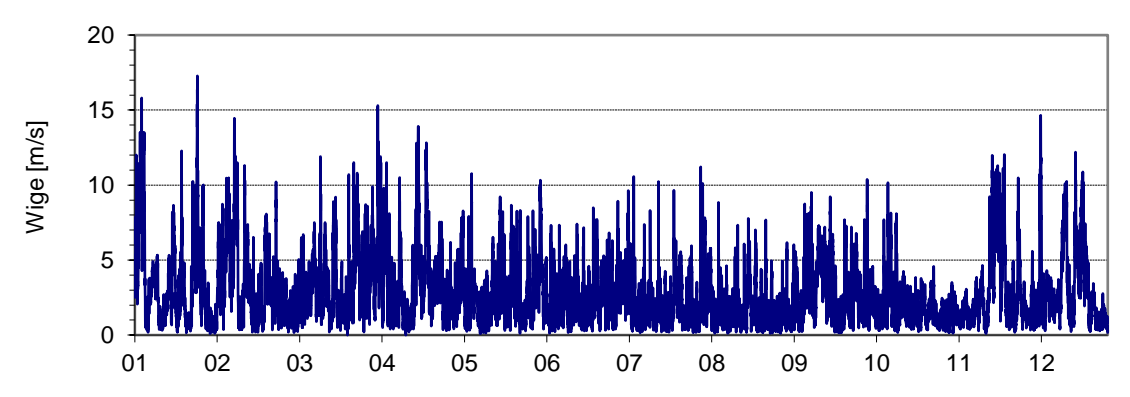


Abbildung 8. Verlauf der Windgeschwindigkeit für das Kalenderjahr 2024.

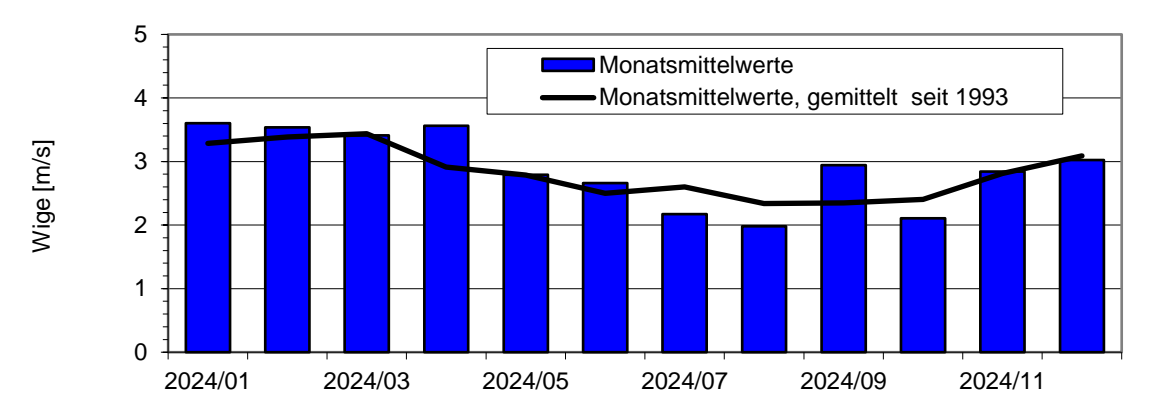


Abbildung 9. Jahresgang auf Basis der Monatsmittelwerte im Vergleich zum Mittelwert über alle Monate seit 1993 für die Windgeschwindigkeit.

#### 5.3.2 Relative Feuchte

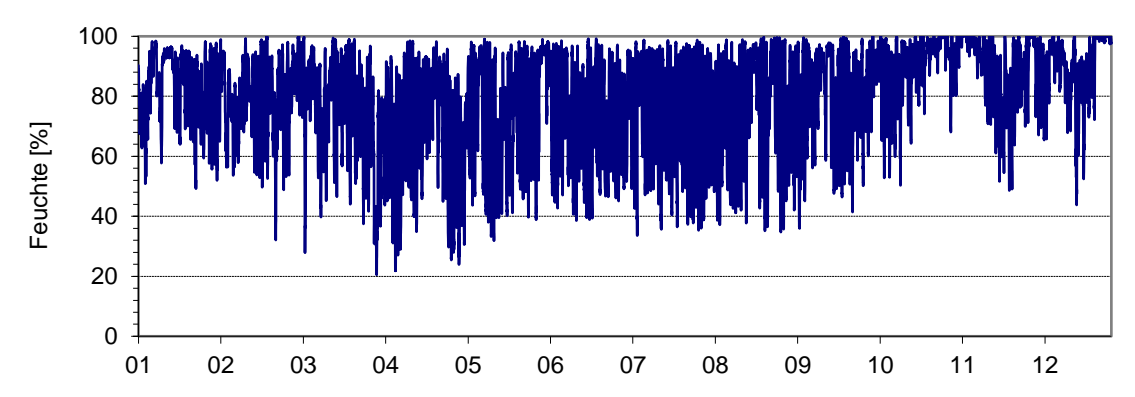


Abbildung 10. Verlauf der relativen Feuchte für das Kalenderjahr 2024 (Halbstundenmittelwerte).

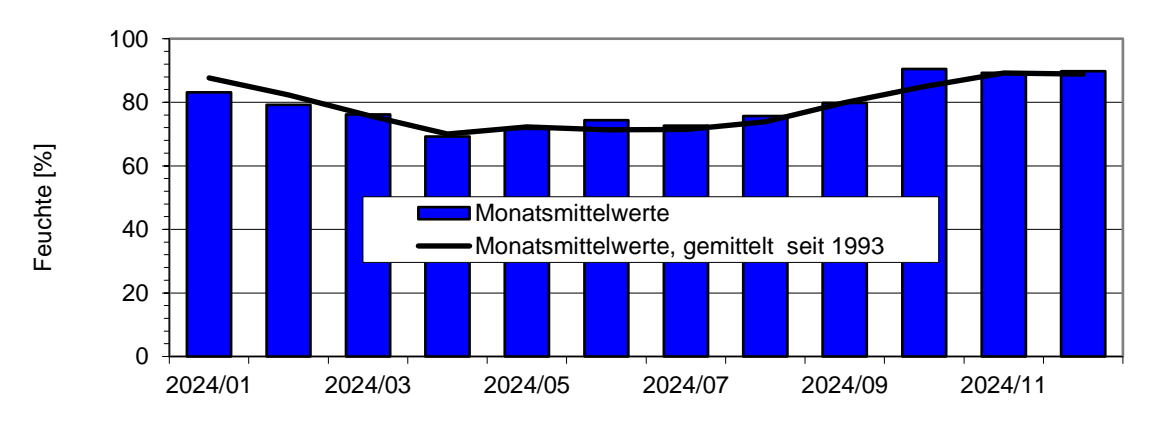


Abbildung 11. Jahresgang auf Basis der Monatsmittelwerte im Vergleich zum Mittelwert über alle Monate seit 1993 für die rel. Feuchte.

#### 5.3.3 Luftdruck

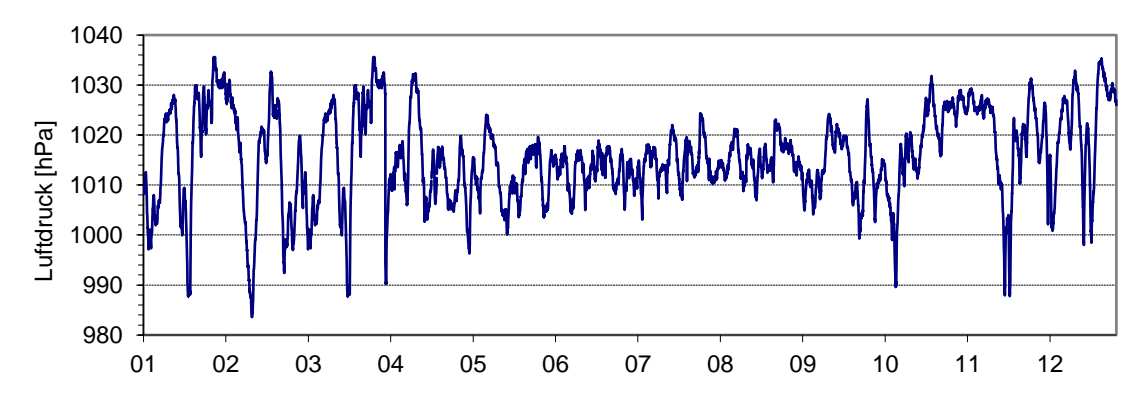


Abbildung 12. Verlauf des Luftdruckes für das Kalenderjahr 2024 (Halbstundenmittelwerte).

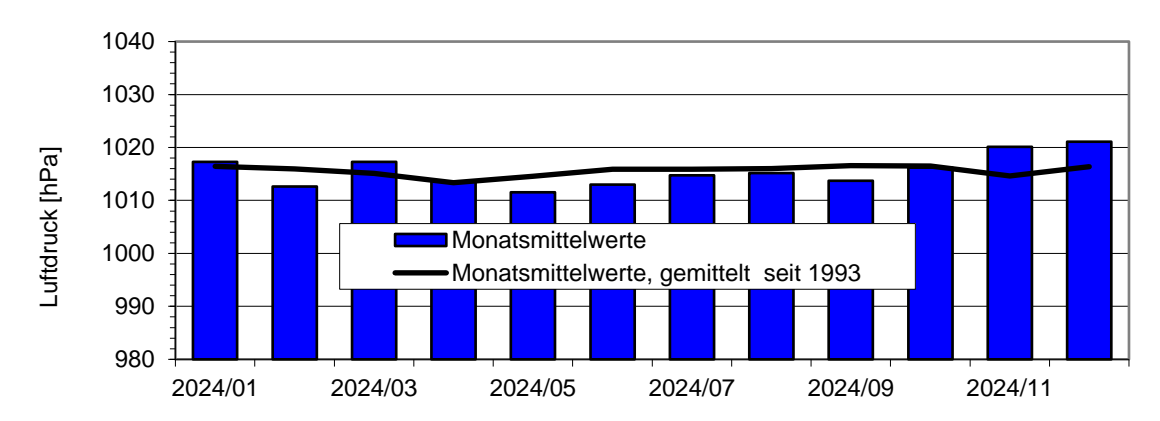


Abbildung 13. Jahresgang auf Basis der Monatsmittelwerte im Vergleich zum Mittelwert über alle Monate seit 1993 für den Luftdruck.

#### 5.3.4 Temperatur

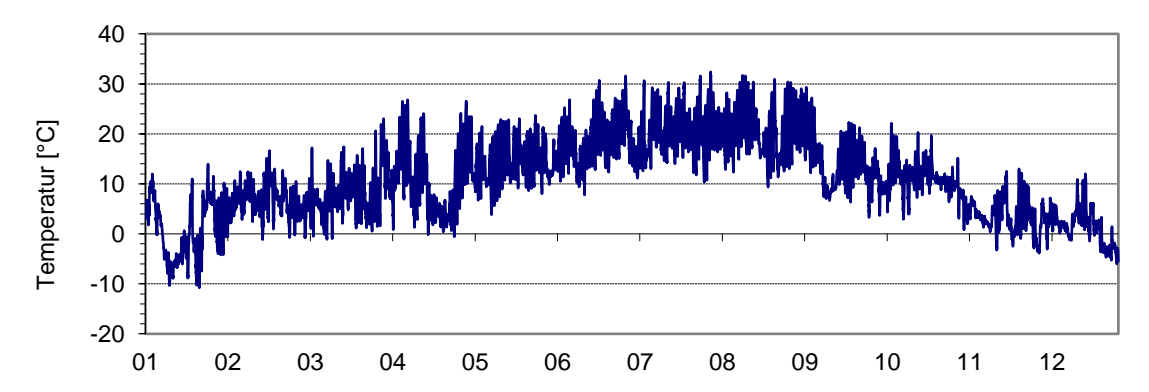


Abbildung 14. Verlauf der Temperatur für das Kalenderjahr 2024 (Halbstundenmittelwerte).

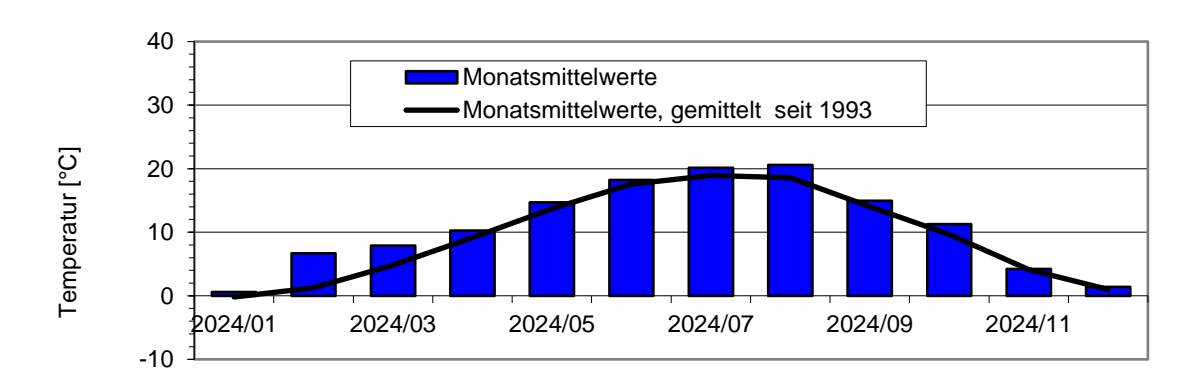


Abbildung 15. Jahresgang auf Basis der Monatsmittelwerte im Vergleich zum Mittelwert über alle Monate seit 1993 für die Temperatur.

THI/KOP

### 5.3.5 Globalstrahlung

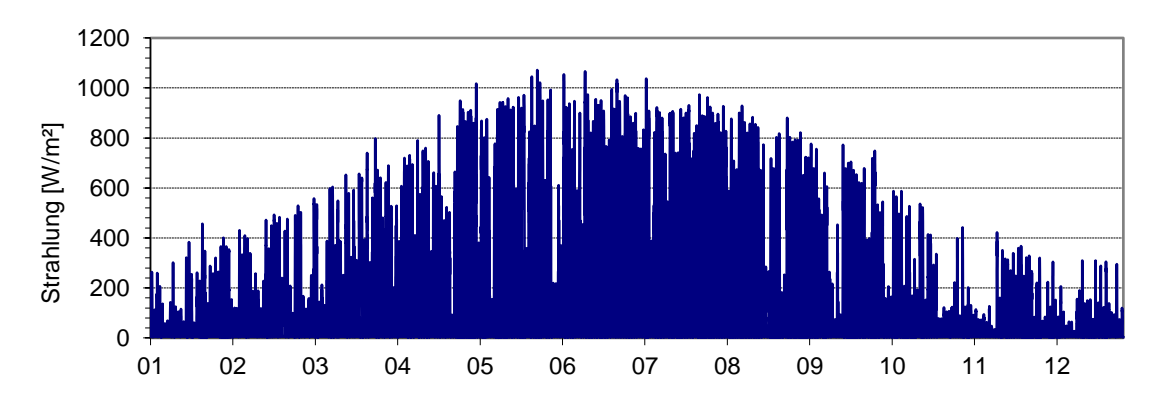


Abbildung 16. Verlauf der Globalstrahlung für das Kalenderjahr 2024 (Halbstundenmittelwert).

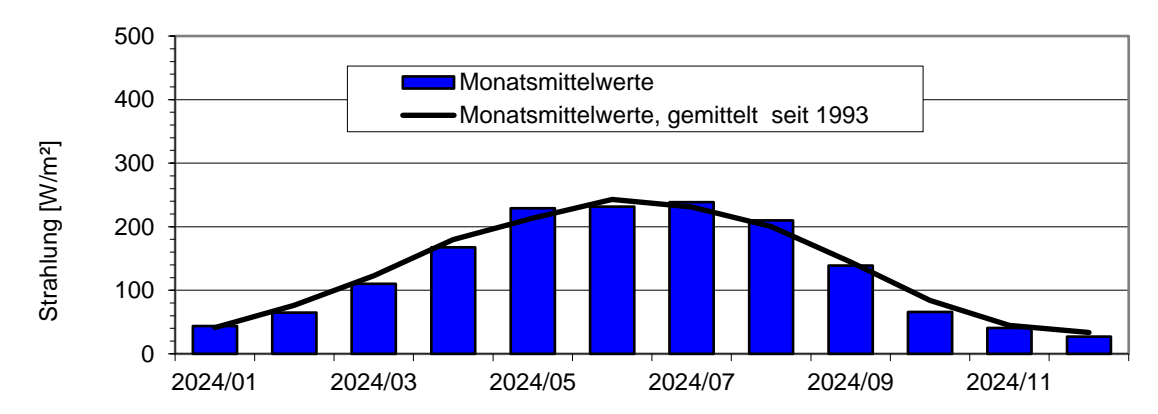


Abbildung 17. Jahresgang auf Basis der Monatsmittelwerte im Vergleich zum Mittelwert über alle Monate seit 1993 für die Globalstrahlung.

## 6 Ergebnisse der Immissionsmessungen 2024

## 6.1 Jahreskenngrößen der Luftschadstoffmessstation – Übersicht

Die statistischen Kenngrößen für  $SO_2$ , CO,  $O_3$ , NO und  $NO_2$  wurden aus den Halbstundenmittelwerten berechnet. Für die organischen Komponenten (Benzol, Toluol, p-, m-, o-Xylol, Ethylbenzol, n-Alkane) erfolgt die Ermittlung des Jahresmittelwertes und der Maximalwerte über Wochenmittelwerte der diskontinuierlichen Probenahmen. Beim  $PM_{10}$  erfolgte die Berechnung auf Basis von Halbstundenmittelwerten und späterer Validierung der Messwerte durch das Referenzmessverfahren (vgl. 6.8.2). Die  $PM_{2,5}$ -Konzentration wurde auf Basis von Tagesmittelwerten ermittelt. Für Benzo(a)-pyren erfolgt die Berechnung des Jahresmittelwertes über Monatsmischproben der  $PM_{10}$ -Fraktion bzw. für die Staubdeposition auf Grundlage von Monatsbeprobungen.

Tabelle 17. Jahresmittel- und Maximalwerte der Messstation LHY7 für das Kalenderjahr 2024.

Mess- komponente	Dim.	Jahres- mittelwert	max. 1h- Mittelwert	max. 8h- Mittelwert	max. Tages- mittelwert	max. Wochen- mittelwert
SO2	μg/m³	2	6	-	3	-
CO	mg/m³	0,2	-	0,6	-	-
NO	µg/m³	4	-	-	-	-
NO2	µg/m³	13	62	-	-	-
O3	µg/m³	46	147	129	-	-
PM10	μg/m³	11	-	-	158	-
Pm2,5	μg/m³	6	-	-	-	-
Benzol	µg/m³	0,39	-	-	-	1,7
Toluol	µg/m³	0,46	-	-	-	1,6
Xylol	µg/m³	0,44	-	-	-	1,4
Ethylbenzol	µg/m³	0,10	-	-	-	0,4
Summe n-Alkane	µg/m³	0,67	-	-	-	1,5
Benzo(a)pyren	ng/m <sup>3</sup>	0,09	-	-	-	-

Tabelle 18. Jahresmittel- und Maximalwerte der Messstation LHY4 für das Kalenderjahr 2024.

Mess- komponente	Dim.	Jahres- mittelwert	max. 1h- Mittelwert	max. 8h- Mittelwert	max. Tages- mittelwert	max. Wochen- mittelwert
NO	μg/m³	4	-	-	-	-
NO2	µg/m³	13	77	-	-	-
Benzol	µg/m³	0,42	-	-	-	1,7
Toluol	µg/m³	0,51	-	-	-	1,6
Xylol	µg/m³	0,42	-	-	-	1,7
Ethylbenzol	µg/m³	0,10	-	-	-	0,4
Summe n-Alkane	µg/m³	0,56	-	-	-	2,1
Benzo(a)pyren	ng/m <sup>3</sup>	0,08	-	-	-	-

#### 6.2 Schwefeldioxid -SO<sub>2</sub> (LHY7)

Die Datenverfügbarkeit der  $SO_2$ -Messungen im Jahr 2024 an der LHY7 betrug 97 %. Der Jahresmittelwert von 2  $\mu$ g/m³ liegt im Bereich der Konzentrationen der Vorjahre. Ein Jahresgang ist aufgrund des sehr niedrigen Immissionsniveaus nicht zu erkennen. Der Stundengrenzwert von 350  $\mu$ g/m³ und der Tagesgrenzwert von 125  $\mu$ g/m³ gemäß 39. BImSchV wurden deutlich unterschritten. In 94 % aller erfassten Halbstundenmittelwerte wurden Konzentrationen kleiner der Bestimmungsgrenze von 2  $\mu$ g/m³ registriert.

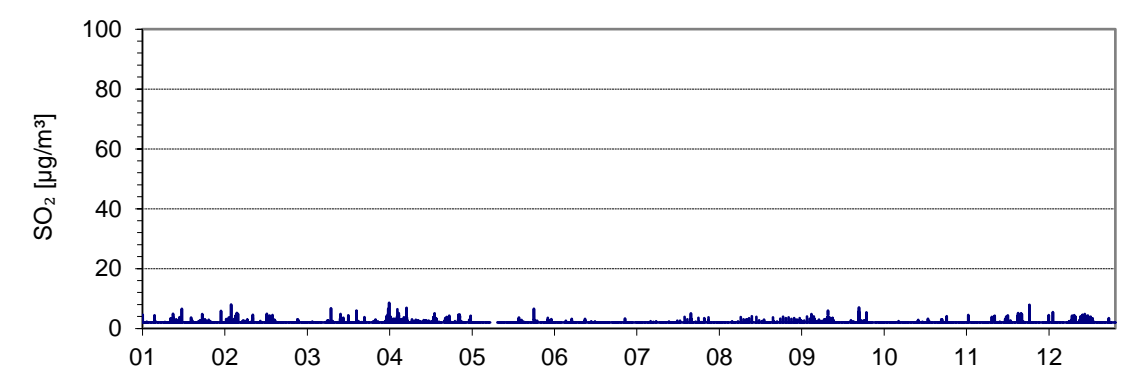


Abbildung 18. Verlauf der Stundenmittelwerte von SO<sub>2</sub> für das Kalenderjahr 2024.

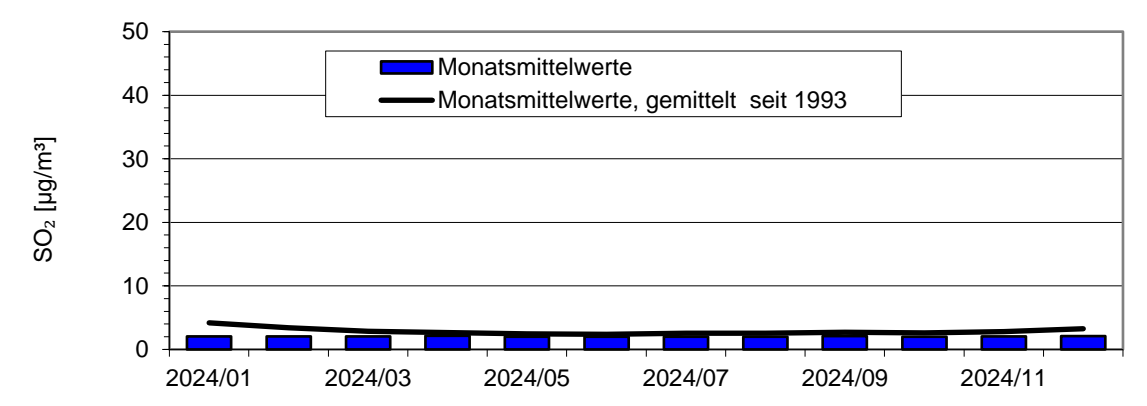


Abbildung 19. Jahresgang auf Basis der Monatsmittelwerte im Vergleich zum Mittelwert über alle Monate seit 1993 für SO<sub>2</sub>.

Tabelle 19. SO<sub>2</sub>-Kennwerte für das Kalenderjahr 2024.

Kenngröße	Einheit	LHY7	39. BlmSchV
		SO2	
Januar 24	μg/m³	2	
Februar 24	µg/m³	2	
März 24	µg/m³	2	
April 24	µg/m³	2	
Mai 24	µg/m³	2	
Juni 24	µg/m³	2	
Juli 24	µg/m³	2	
August 24	µg/m³	2	
September 24	µg/m³	2	
Oktober 24	µg/m³	2	
November 24	µg/m³	2	
Dezember 24	μg/m³	2	
Mittelwert 2024	μg/m³	2	
Max. 1h-Mittelwert	µg/m³	6	
1h-Mittelwert >350 µg/m³	Anzahl	0	24 <sup>1)</sup>
Max. TMW	µg/m³	3	
TMW >125 μg/m³	Anzahl	0	3 <sup>2)</sup>
Min. 1h-Mittelwert	µg/m³	2	
Verfügbarkeit %	%	97	

<sup>&</sup>lt;sup>1)</sup> maximaler 1h-Mittelwert von 350 μg/m³ mit 24 zulässigen Überschreitungen gemäß 39. BlmSchV

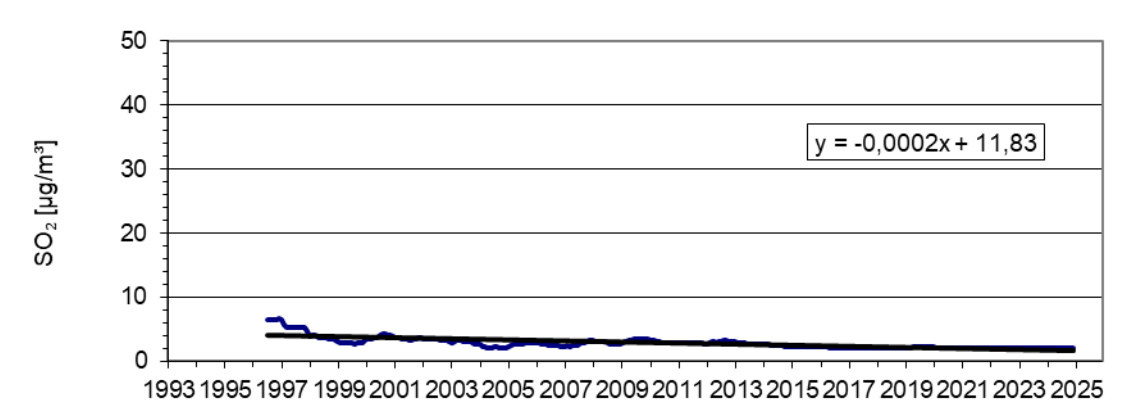


Abbildung 20. Gleitende 12-Monatsmittelwerte seit 1993 und langjähriger Trend für SO<sub>2</sub>.

 $<sup>^{2)}</sup>$  maximaler Tagesmittelwert von 125  $\mu\text{g/m}^3$  mit 3 zulässigen Überschreitungstagen gemäß 39. BlmSchV

## 6.3 Kohlenmonoxid - CO (LHY7)

Die Datenverfügbarkeit der CO-Konzentration für das Kalenderjahr 2024 betrug 98 %.

Die CO-Konzentrationen liegen auf dem Niveau der Vorjahre. Die höchsten CO-Konzentrationen wurden typischerweise über die Wintermonate gemessen. Der maximale Achtstundenmittelwert für 2024 betrug 0,61 mg/m³ und liegt somit deutlich unterhalb des zulässigen Immissionsgrenzwertes gemäß 39. BImSchV von 10 mg/m³ in Bezug auf das Achtstundenmittel.

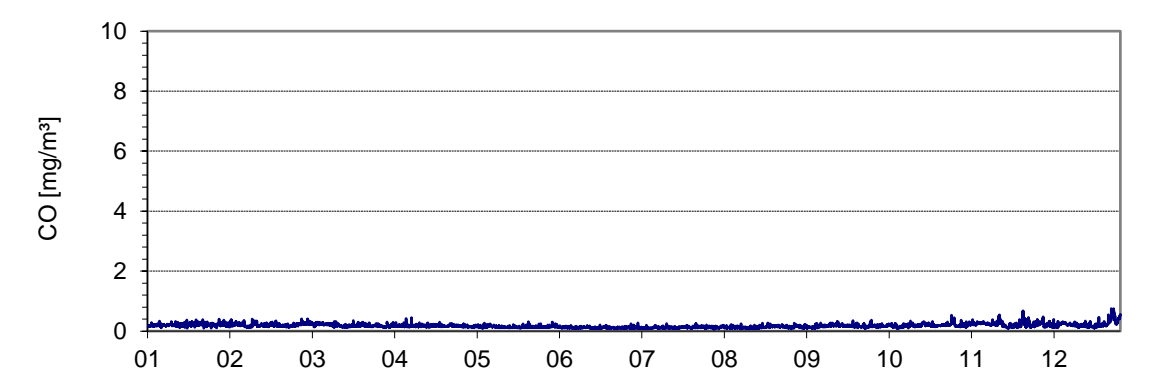


Abbildung 21. Verlauf der Stundenmittelwerte von CO für das Kalenderjahr 2024.

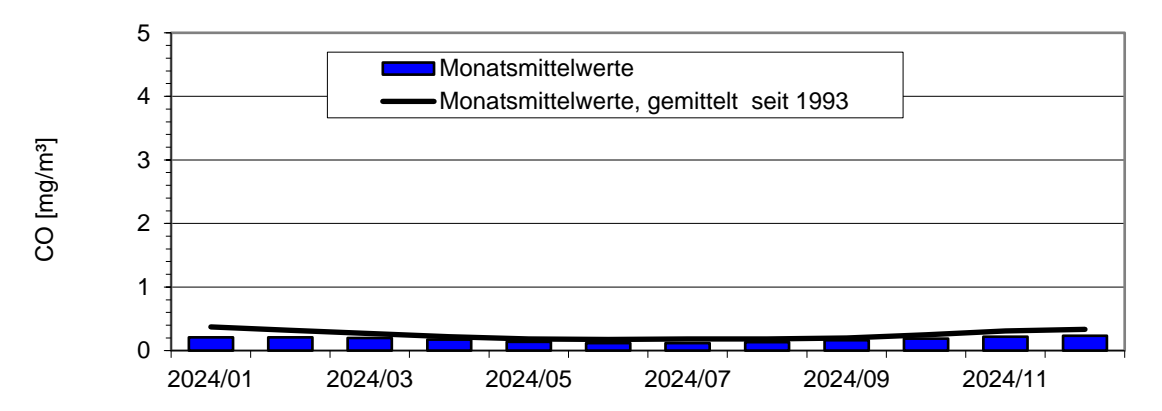


Abbildung 22. Jahresgang auf Basis der Monatsmittelwerte im Vergleich zum Mittelwert über alle Monate seit 1993 für CO.

Tabelle 20. CO-Kennwerte für das Kalenderjahr 2024.

Kenngröße	Einheit	LHY7	39. BlmSchV
		СО	
Januar 24	mg/m³	0,21	
Februar 24	mg/m³	0,21	
März 24	mg/m³	0,20	
April 24	mg/m³	0,17	
Mai 24	mg/m³	0,14	
Juni 24	mg/m³	0,12	
Juli 24	mg/m³	0,12	
August 24	mg/m³	0,13	
September 24	mg/m³	0,16	
Oktober 24	mg/m³	0,19	
November 24	mg/m³	0,22	
Dezember 24	mg/m³	0,23	
Mittelwert 2024	mg/m³	0,17	
Max. 1h-Mittelwert	mg/m³	0,73	
Min. 1h-Mittelwert	mg/m³	0,05	
Max. 8h-Mittelwert	mg/m³	0,61	10 <sup>1)</sup>
Verfügbarkeit %	%	98	

<sup>1)</sup> maximaler 8h-Mittelwert von 10 mg/m³ gemäß 39. BImSchV

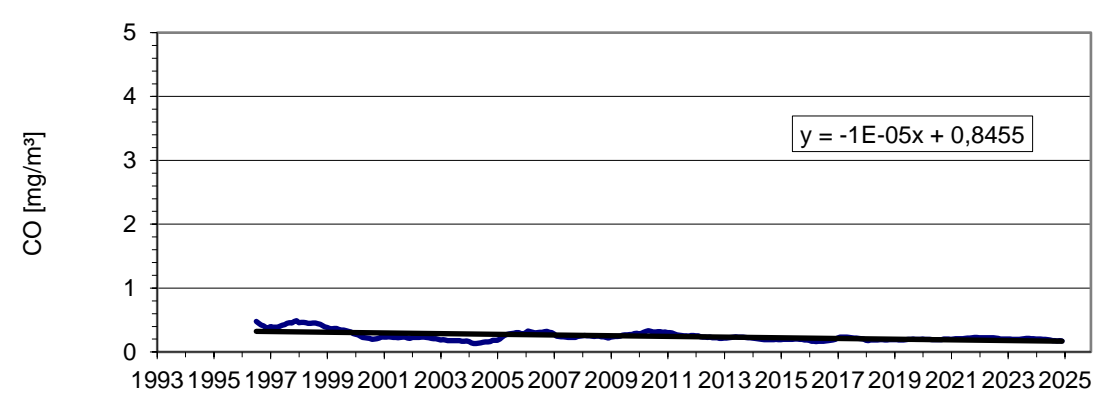


Abbildung 23. Gleitende 12-Monatsmittelwerte seit 1993 und langjähriger Trend für CO.

#### 6.4 Stickstoffmonoxid - NO (LHY7 und LHY4)

#### 6.4.1 LHY7

Die Verfügbarkeit der Messeinrichtung betrug im Berichtsjahr 98 %.

Die NO-Konzentrationen an der LHY7 sind, wie auch bereits in den Vorjahren festgestellt, tendenziell rückläufig. Dies kann auf den bundesweit rückläufigen Trend der NO-Immissionen zurückgeführt werden. Im Winterhalbjahr wurden erwartungsgemäß die höchsten NO –Konzentrationen erfasst.

Der für das Kalenderjahr 2024 bestimmte NO-Jahresmittelwert beträgt 4 µg/m³. Für den Parameter NO gibt es laut 39. BImSchV keinen Immissionsgrenzwert.

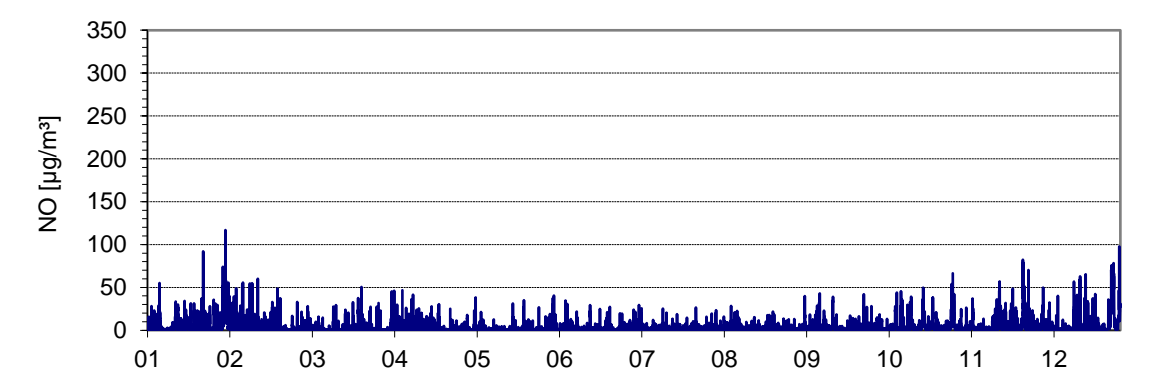


Abbildung 24. Verlauf der Stundenmittelwerte von NO (LHY7) für das Kalenderjahr 2024.

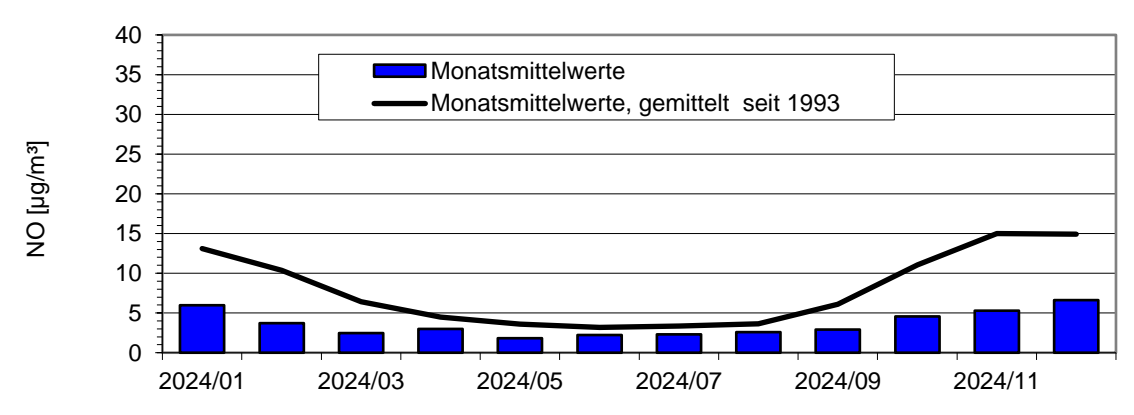


Abbildung 25. Jahresgang auf Basis der Monatsmittelwerte im Vergleich zum Mittelwert über alle Monate seit 1993 für NO (LHY7).

Tabelle 21. NO-Kennwerte für das Kalenderjahr 2024 (LHY7).

Kenngröße	Einheit	LHY7	39. BlmSchV
		NO	5
Januar 24	µg/m³	6	
Februar 24	µg/m³	4	
März 24	µg/m³	2	
April 24	μg/m³	3	
Mai 24	µg/m³	2	
Juni 24	µg/m³	2	
Juli 24	µg/m³	2	
August 24	µg/m³	3	
September 24	µg/m³	3	
Oktober 24	µg/m³	5	
November 24	μg/m³	5	
Dezember 24	µg/m³	7	
Mittelwert 2024	μg/m³	4	
Max. 1h-Mittelwert	μg/m³	109	
Min. 1h-Mittelwert	µg/m³	1	
Verfügbarkeit	%	98	

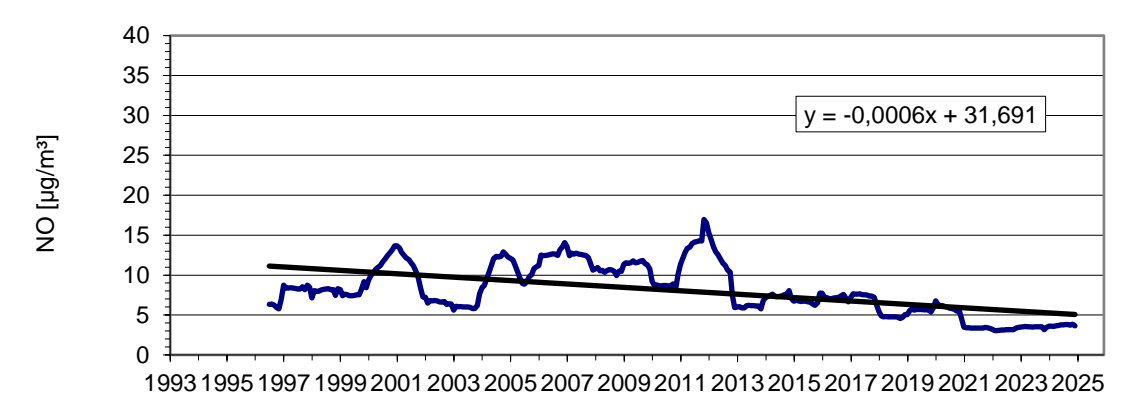


Abbildung 26. Gleitende 12-Monatsmittelwerte seit 1993 und langjähriger Trend für NO (LHY7).

#### 6.4.2 LHY4

Die Verfügbarkeit der NO-Messeinrichtung an der Messstation LHY4 betrug im Berichtsjahr 98 %.

Der Jahresmittelwert 2024 für NO an der LHY4 liegt mit 4  $\mu$ g/m³ auf dem Niveau des Jahresmittelwertes aus 2023. Im Vergleich zur Hauptmessstation LHY7 wurde an der LHY4 im Jahresmittel ein ähnlich hohes NO-Konzentrationsniveau ermittelt.

Wie auch an der LHY7 wurden an der LHY4 im Winterhalbjahr die höchsten NO-Konzentrationen bestimmt.

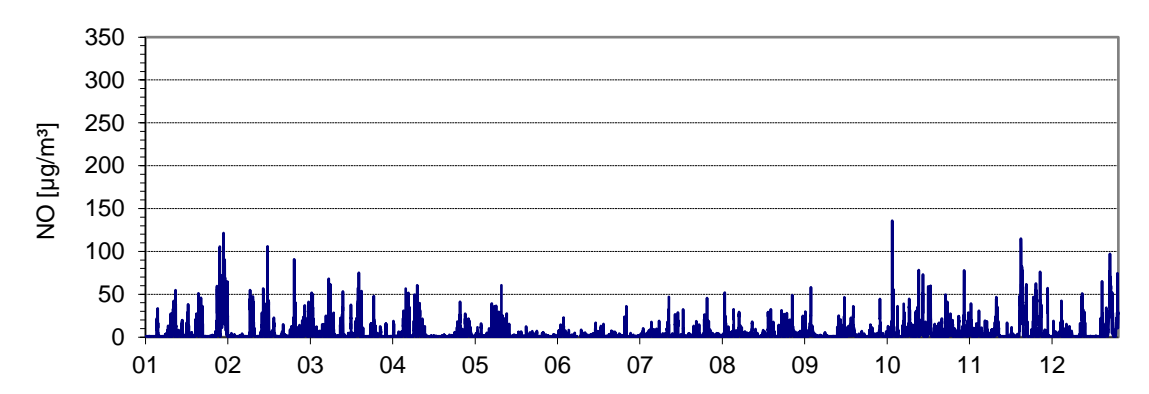


Abbildung 27. Verlauf der Stundenmittelwerte von NO (LHY4) für das Kalenderjahr 2024.

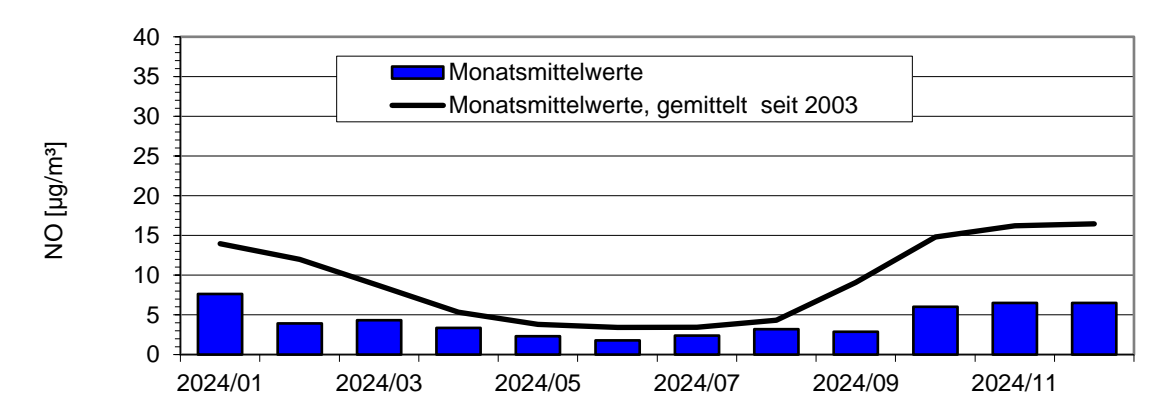


Abbildung 28. Jahresgang auf Basis der Monatsmittelwerte im Vergleich zum Mittelwert über alle Monate seit 2003 für NO (LHY4).

Tabelle 22. NO-Kennwerte für das Kalenderjahr 2024 (LHY4).

Kenngröße	Einheit	LHY4	39. BlmSchV
		NO	BilliSCIIV
Januar 24	μg/m³	8	
Februar 24	µg/m³	4	
März 24	μg/m³	4	
April 24	μg/m³	3	
Mai 24	μg/m³	2	
Juni 24	µg/m³	2	
Juli 24	μg/m³	2	
August 24	μg/m³	3	
September 24	μg/m³	3	
Oktober 24	μg/m³	6	
November 24	μg/m³	7	
Dezember 24	µg/m³	7	
Mittelwert 2024	μg/m³	4	
Max. 1h-Mittelwert	μg/m³	114	
Min. 1h-Mittelwert	µg/m³	1	
Verfügbarkeit	%	98	

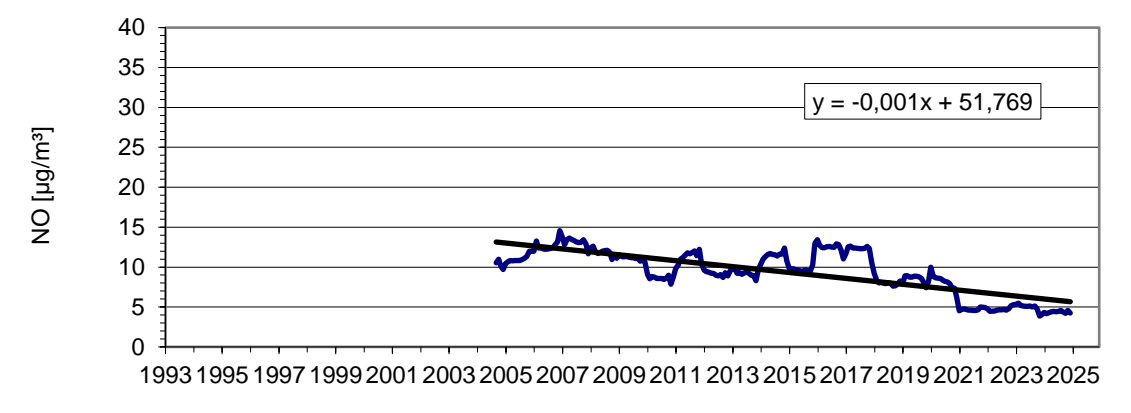


Abbildung 29. Gleitende 12-Monatsmittelwerte seit 2003 und langjähriger Trend für NO (LHY4).

# 6.5 Stickstoffdioxid - NO<sub>2</sub> (LHY7 und LHY4)

# 6.5.1 LHY7

Die Verfügbarkeit der NO<sub>2</sub>-Messeinrichtung betrug im Berichtsjahr 98 %.

Der Jahresmittelwert für NO<sub>2</sub> an der LHY7 befindet sich mit 13 μg/m³ auf dem Niveau der Vorjahre. Im Vergleich zum langjährigen Mittel sind die NO<sub>2</sub>-Konzentrationen im Verlauf deutlich gesunken. Dies kann auf die bundesweit rückläufigen NO<sub>2</sub>-Konzentrationen zurückgeführt werden. Die höchsten Monatsmittelwerte an der Hauptmessstation LHY7 wurden für NO<sub>2</sub> typischerweise im Winterhalbjahr registriert.

Die maximale NO<sub>2</sub>-Konzentration in der Stunde betrug im Kalenderjahr 2024 62 μg/m³.

Die Immissionswerte der 39. BImSchV für das Kalenderjahr und die Stunde wurden 2024, wie auch in den Vorjahren, deutlich unterschritten.

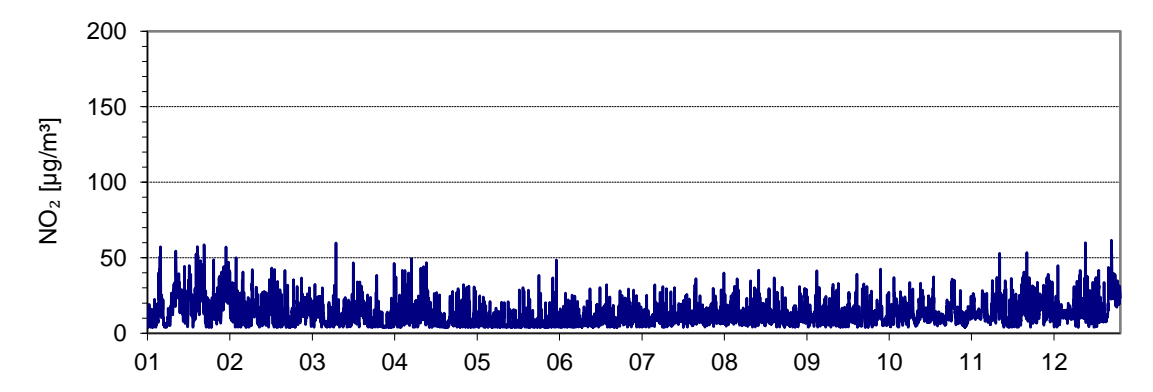


Abbildung 30. Verlauf der Stundenmittelwerte von NO<sub>2</sub> (LHY7) für das Kalenderjahr 2024.

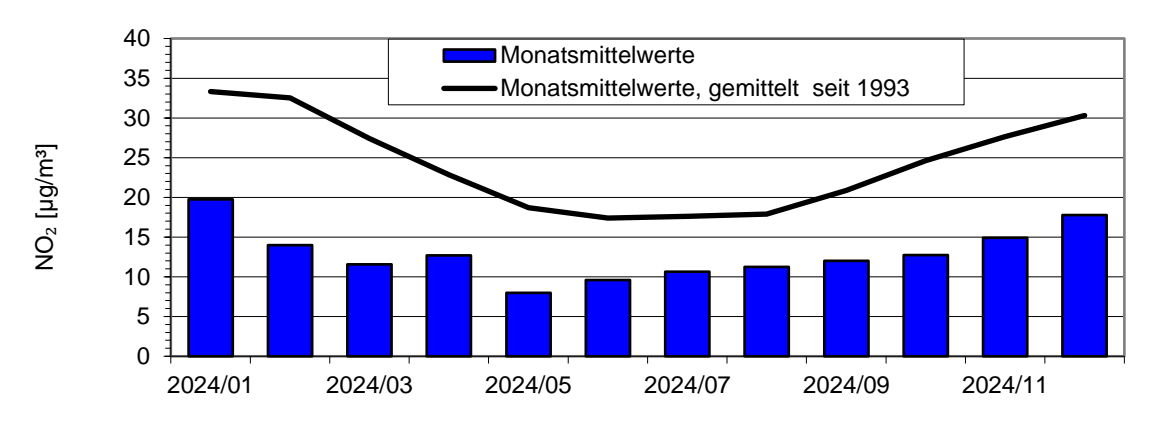


Abbildung 31. Jahresgang auf Basis der Monatsmittelwerte im Vergleich zum Mittelwert über alle Monate seit 1993 für NO<sub>2</sub> (LHY7).

Tabelle 23. NO<sub>2</sub>-Kennwerte für das Kalenderjahr 2024 (LHY7).

Kenngröße	Einheit	LHY7	39. BlmSchV
		NO2	
Januar 24	μg/m³	20	
Februar 24	μg/m³	14	
März 24	µg/m³	12	
April 24	μg/m³	13	
Mai 24	μg/m³	8	
Juni 24	µg/m³	10	
Juli 24	μg/m³	11	
August 24	µg/m³	11	
September 24	µg/m³	12	
Oktober 24	μg/m³	13	
November 24	μg/m³	15	
Dezember 24	μg/m³	18	
Mittelwert 2024	μg/m³	13	40 <sup>1)</sup>
Max. 1h-Mittelwert	μg/m³	62	
1h-Mittelwert >200 μg/ι	r Anzahl	0	18 <sup>2)</sup>
Min. 1h-Mittelwert	μg/m³	4	
Verfügbarkeit	%	98	

<sup>1)</sup> Jahresimmissionsgrenzwert NO2 gemäß 39. BlmSchV

<sup>&</sup>lt;sup>2)</sup> maximaler 1h-Mittelwert von 200 μg/m³ mit 18 zulässigen Überschreitungen gemäß 39. BlmSchV

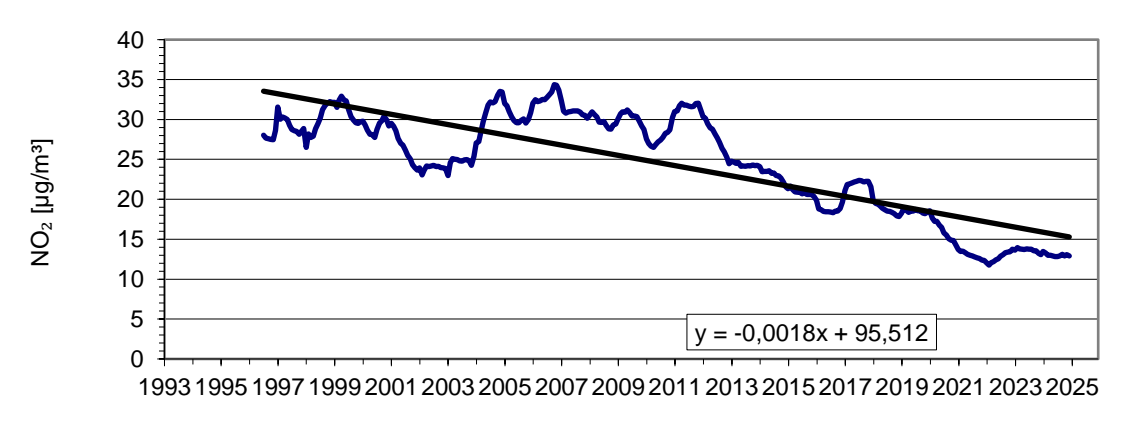


Abbildung 32. Gleitende 12-Monatsmittelwerte seit 1993 und langjähriger Trend für  $NO_2$  (LHY7).

#### 6.5.2 LHY4

Die Verfügbarkeit der NO<sub>2</sub>-Messeinrichtung an der LHY4 betrug im Kalenderjahr 2024 98 %.

Der  $NO_2$ -Jahresmittelwert für 2024 an der LHY4 beträgt 13  $\mu$ g/m³ und liegt damit unterhalb des Konzentrationsniveaus der Vorjahre. Die höchsten Monatsmittelwerte wurden erwartungsgemäß wie an der Hauptmessstation LHY7 im Winterhalbjahr bestimmt.

Der maximale Stundenmittelwert für  $NO_2$  im Jahr 2024 betrug 77  $\mu$ g/m³. Wie auch am Messort LHY7 wurden am Messort LHY4 alle Immissionsgrenzwerte für  $NO_2$  gemäß 39. BImSchV deutlich unterschritten.

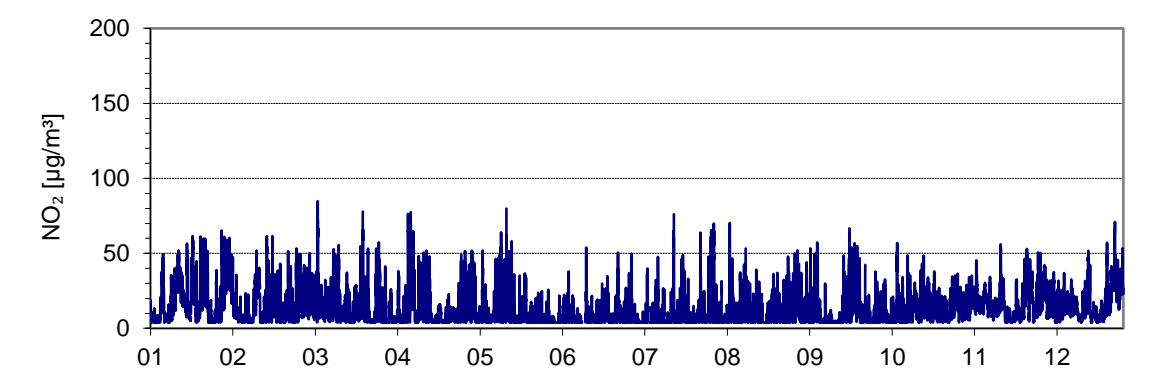


Abbildung 33. Verlauf der Stundenmittelwerte von NO2 (LHY4) für das Kalenderjahr 2024.

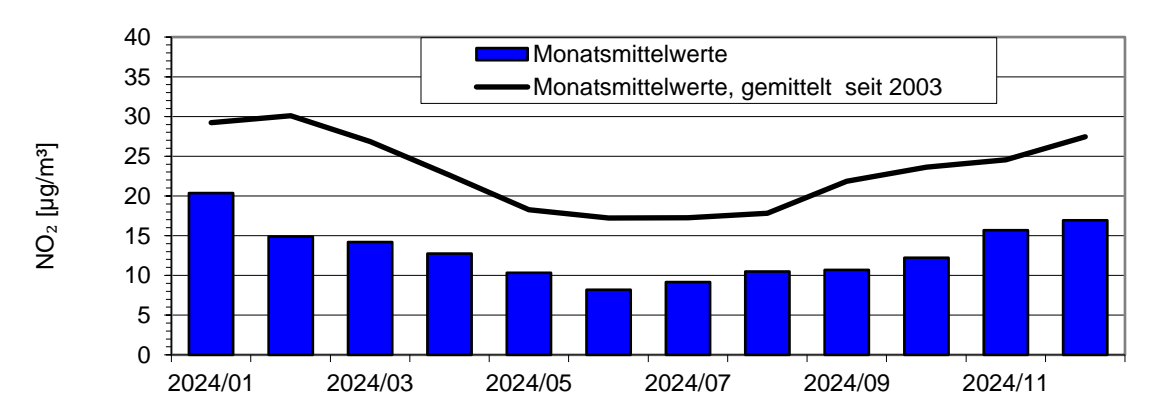


Abbildung 34. Jahresgang auf Basis der Monatsmittelwerte im Vergleich zum Mittelwert über alle Monate seit 2003 für NO<sub>2</sub> (LHY4).

Tabelle 24. NO<sub>2</sub>-Kennwerte für das Kalenderjahr 2024 (LHY4).

Kenngröße	Einheit	LHY4	39. BlmSchV
		NO2	
Januar 24	μg/m³	20	
Februar 24	µg/m³	15	
März 24	µg/m³	14	
April 24	µg/m³	13	
Mai 24	µg/m³	10	
Juni 24	µg/m³	8	
Juli 24	µg/m³	9	
August 24	µg/m³	10	
September 24	µg/m³	11	
Oktober 24	µg/m³	12	
November 24	µg/m³	16	
Dezember 24	μg/m³	17	
Mittelwert 2024	μg/m³	13	40 <sup>1)</sup>
Max. 1h-Mittelwert	µg/m³	77	
1h-Mittelwert >200 $\mu$ g/m	Anzahl	0	18 <sup>2)</sup>
Min. 1h-Mittelwert	µg/m³	4	
Verfügbarkeit	%	98	

<sup>1)</sup> Jahresimmissionsgrenzwert NO2 gemäß 39. BlmSchV

 $<sup>^{2)}</sup>$  maximaler 1h-Mittelwert von 200  $\mu$ g/m³ mit 18 zulässigen Überschreitungen gemäß 39. BlmSchV

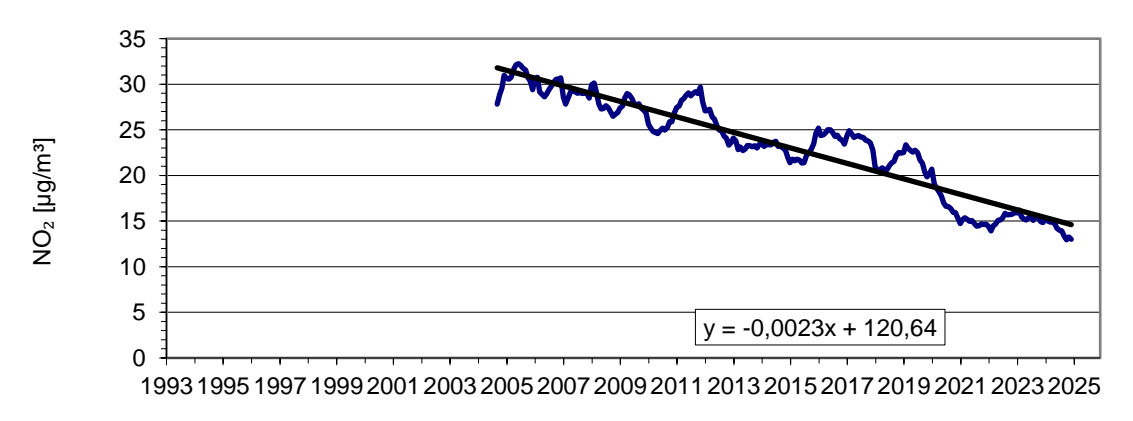


Abbildung 35. Gleitende 12-Monatsmittelwerte seit 2003 und langjähriger Trend für NO<sub>2</sub> (LHY4).

# 6.6 Ozon - O<sub>3</sub> (LHY7)

Die Verfügbarkeit der Messeinrichtung betrug im Berichtsjahr 98 %.

Der Jahresmittelwert für Ozon beträgt 46  $\mu g/m^3$  und lag damit unterhalb des Mittelwertes des Vorjahrs.

Anzumerken ist in diesem Zusammenhang, dass Ozon kein primärer Luftschadstoff ist. So treten beim Ozon an verkehrsbeeinflussten Messstationen geringere Jahresmittelwerte als an emissionsarmen Stationen (ländlicher Raum bzw. höher gelegene Messstationen) auf.

In der nachfolgenden Tabelle 25 sind die Überschreitungen der Immissionsgrenzwerte gemäß 39. BImSchV für Ozon zusammengefasst:

Nach 39. BlmSchV beträgt der Zielwert zum Schutz der menschlichen Gesundheit vor Ozon 120 µg/m³ als maximaler Achtstundenmittelwert eines Tages bei 25 zulässigen Überschreitungen im Kalenderjahr. Im Kalenderjahr 2024 wurde er am Messstandort LHY7 an 3 Tagen überschritten. Die Mittelung dieses Zielwertes erfolgt über drei aufeinanderfolgende Kalenderjahre. Im Kalenderjahr 2022 wurde der Zielwert an 24 Tagen überschritten, im Jahr 2023 an 25 Tagen. Gemittelt über die Jahre 2022 bis 2024 liegt die Zahl der Überschreitungen pro Kalenderjahr bei 17 Tagen. Somit wurde der Zielwert zum Schutz der menschlichen Gesundheit vor Ozon eingehalten.

Der maximale Stundenmittelwert im Kalenderjahr 2024 betrug 158  $\mu$ g/m³ und unterschritt somit die Informationsschwelle für Ozon von 180  $\mu$ g/m³ als Stundenmittelwert.

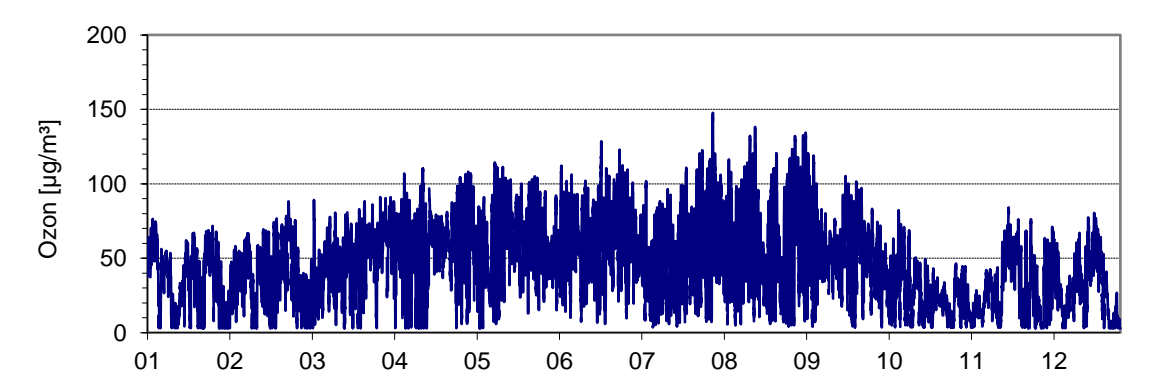


Abbildung 36. Verlauf der Stundenmittelwerte von O₃ für das Kalenderjahr 2024.

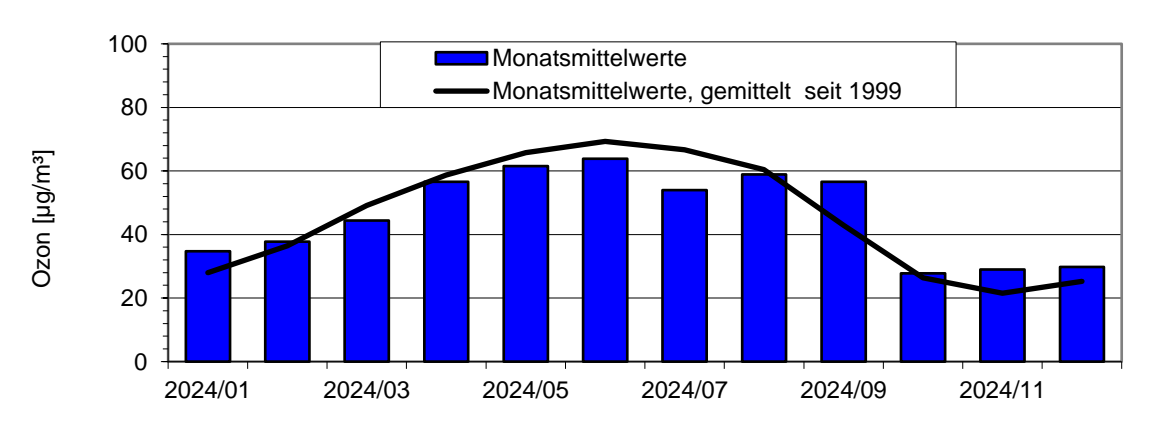


Abbildung 37. Jahresgang auf Basis der Monatsmittelwerte im Vergleich zum Mittelwert über alle Monate seit 2000 für O₃.

Tabelle 25. O<sub>3</sub>-Kennwerte für das Kalenderjahr 2024.

µg/m³ µg/m³ µg/m³ µg/m³	<b>O3</b> 35 38 44	BlmSchV
μg/m³ μg/m³	35 38	
μg/m³ μg/m³	38	
μg/m³	44	
. •		
	57	
μg/m³	61	
μg/m³	64	
μg/m³	54	
μg/m³	59	
μg/m³	57	
μg/m³	28	
μg/m³	29	
μg/m³	30	
μg/m³	46	-
μg/m³	158	
μg/m³	129	
Anzahl	0	180 <sup>1)</sup>
Anzahl	3	25 <sup>2)</sup>
μg/m³	3	
%	98	
	µg/m³ µg/m³ µg/m³ µg/m³ µg/m³ µg/m³ µg/m³ µg/m³  µg/m³ µg/m³ µg/m³ µg/m³	μg/m³ 64 μg/m³ 54 μg/m³ 59 μg/m³ 57 μg/m³ 28 μg/m³ 29 μg/m³ 30 μg/m³ 36 μg/m³ 158 μg/m³ 129 Anzahl 0 Anzahl 3 μg/m³ 3

<sup>1)</sup> maximaler 1h-Mittelwert von 180 µg/m³ gemäß 39. BlmSchV

<sup>&</sup>lt;sup>2)</sup> maximaler 8h-Mittelwert mit 25 zulässigen Überschreitungstagen pro Jahr gemäß 39. BlmSchV

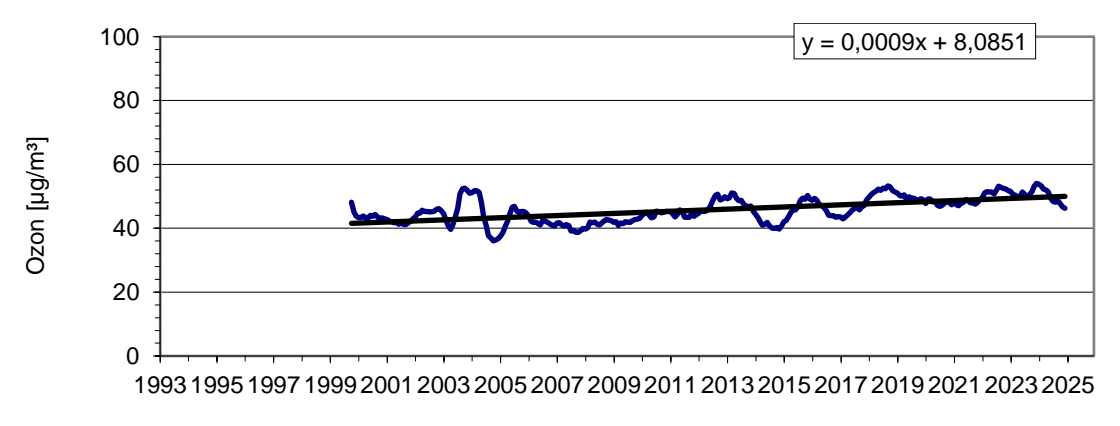


Abbildung 38. Gleitende 12-Monatsmittelwerte seit 2000 und langjähriger Trend für O<sub>3</sub>.

# 6.7 BTEX und n-Alkane (LHY7 und LHY4)

Die Messungen wurden mittels aktiver Probenahme als Referenzmessung gemäß 39. BlmSchV durchgeführt. Die Verfügbarkeit im Berichtsjahr 2024 betrug an der Hauptmessstation 100 %. Am Messstandort LHY4 betrug die Datenverfügbarkeit 2024 98 %.

# 6.7.1 Benzol (LHY7 und LHY4)

# 6.7.1.1 LHY7

Die Benzol-Konzentrationen sind wie in den Vorjahren weiterhin auf einem sehr niedrigen Niveau. Im Kalenderjahr 2024 wurde ein Jahresmittelwert von 0,4 μg/m³ ermittelt. Der über ein Kalenderjahr gemittelte Immissionsgrenzwert gemäß 39. BImSchV von 5 μg/m³ wurde deutlich unterschritten. Die höchsten Benzol-Konzentrationen wurden erwartungsgemäß im Winterhalbjahr bestimmt.

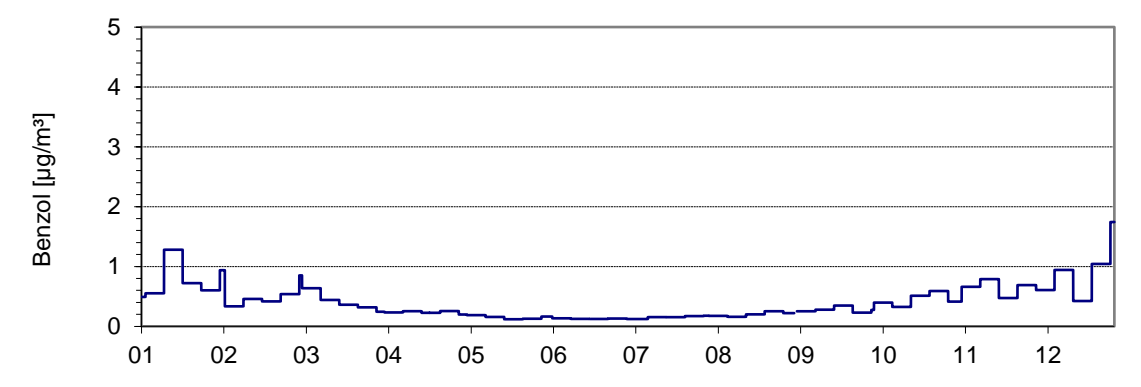


Abbildung 39. Verlauf der Wochenmittelwerte von Benzol (LHY7) für das Kalenderjahr 2024.

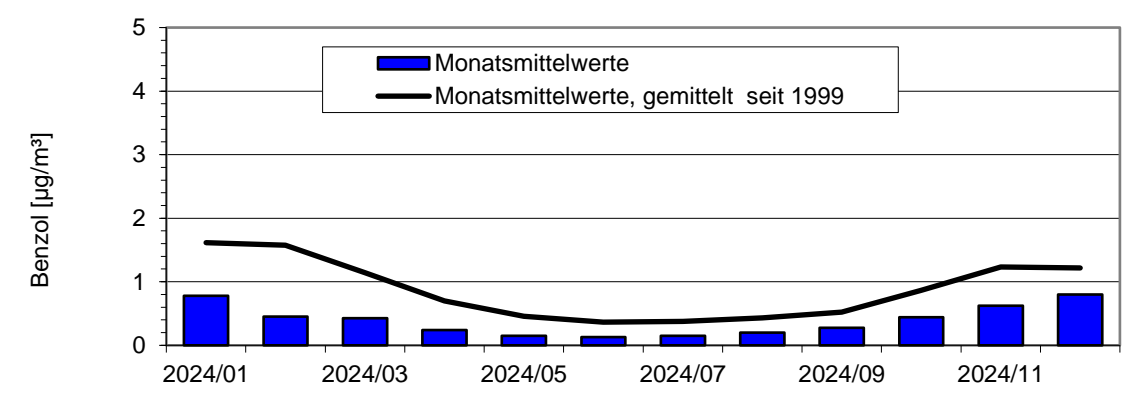


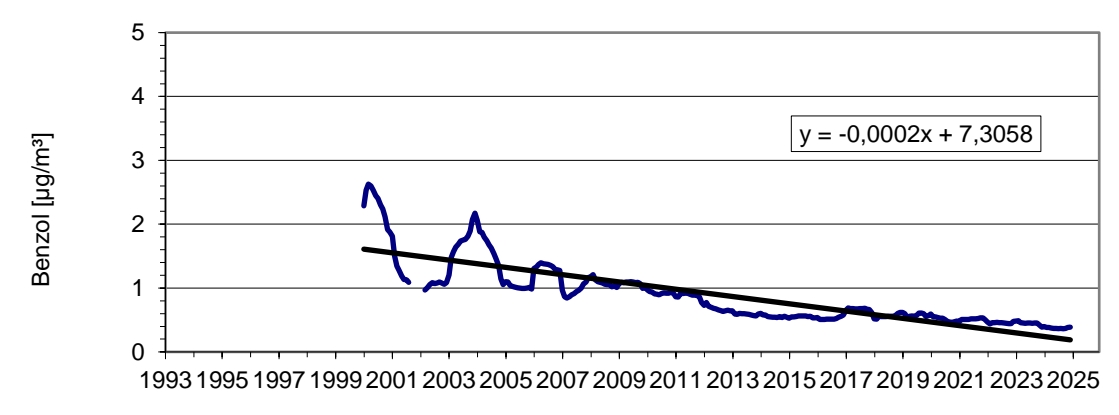
Abbildung 40. Jahresgang auf Basis der Monatsmittelwerte im Vergleich zum Mittelwert über alle Monate seit 2000 für Benzol (LHY7).

Kenngröße	Einheit	LHY7	39.
			BlmSchV
		Benzol	
Januar 24	µg/m³	0,78	
Februar 24	μg/m³	0,45	
März 24	μg/m³	0,43	
April 24	μg/m³	0,24	
Mai 24	μg/m³	0,15	
Juni 24	μg/m³	0,13	
Juli 24	μg/m³	0,15	
August 24	μg/m³	0,20	
September 24	μg/m³	0,27	
Oktober 24	μg/m³	0,44	
November 24	μg/m³	0,62	
Dezember 24	μg/m³	0,80	
Mittelwert 2024	μg/m³	0,4	5 <sup>1)</sup>
Max. Wochenmittelwert	μg/m³	1,7	

Tabelle 26. Benzol-Kennwerte für das Kalenderjahr 2024 (LHY7).

%

Verfügbarkeit %



100

Abbildung 41. Gleitende 12-Monatsmittelwerte seit 2000 und langjähriger Trend für Benzol (LHY7).

# 6.7.1.2 LHY4

Die Benzolkonzentration wird seit 2014 auch am Messort LHY4 bestimmt. An der Messstation LHY4 wurde analog zur Hauptmessstation LHY7 mit 0,4  $\mu$ g/m³ ein Jahresmittelwert im Bereich der Hintergrundkonzentrationen ermittelt. Wie auch an der Hauptmessstation LHY7 wurden am Messort LHY4 im Winterhalbjahr die höchsten Benzolkonzentrationen bestimmt.

Der Jahresimmissionsgrenzwert gemäß 39. BlmSchV von 5 μg/m³ wurde deutlich unterschritten.

<sup>1)</sup> Jahresimmissionsgrenzwert Benzol gemäß 39. BImSchV

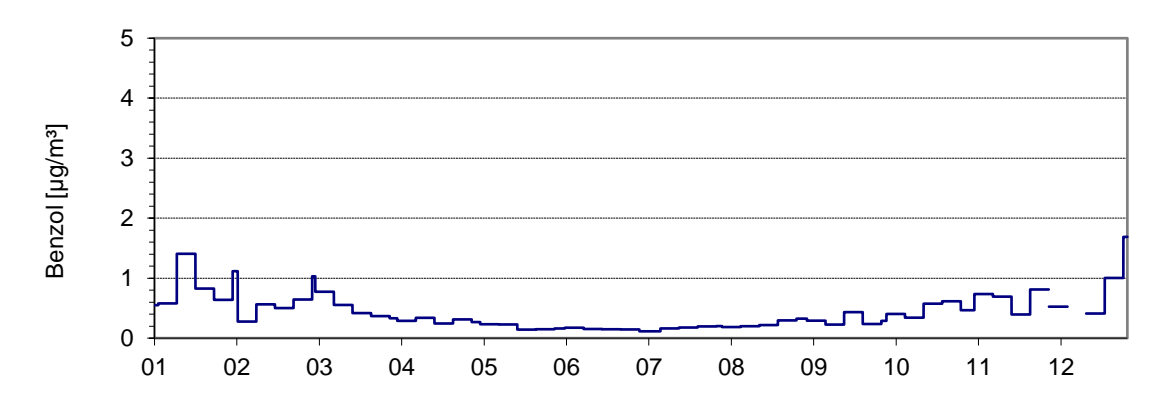


Abbildung 42. Verlauf der Wochenmittelwerte von Benzol (LHY4) für das Kalenderjahr 2024.

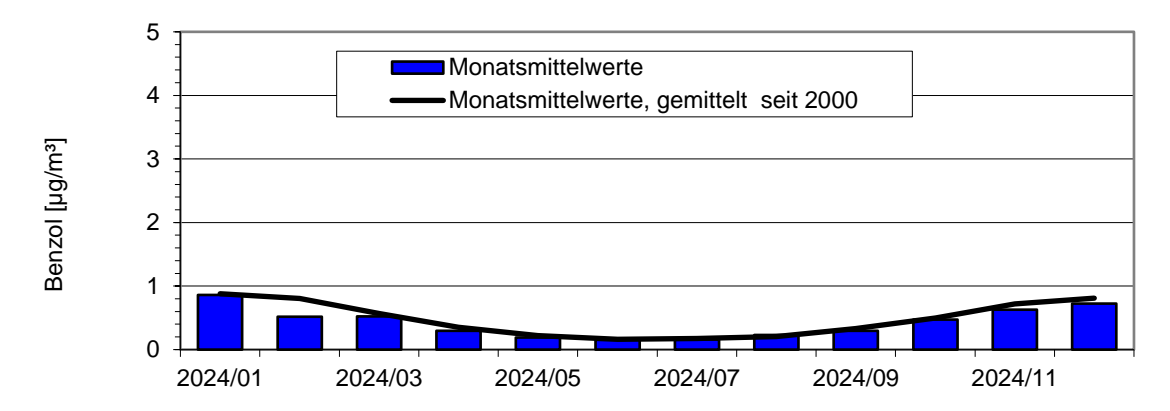


Abbildung 43. Jahresgang auf Basis der Monatsmittelwerte im Vergleich zum Mittelwert über alle Monate seit 2014 für Benzol (LHY4).

Tabelle 27. Benzol-Kennwerte für das Kalenderjahr 2024 (LHY4).

Kenngröße	Einheit	LHY4	39. BlmSchV
		Benzol	Billiocity
Januar 24	µg/m³	0,86	
Februar 24	µg/m³	0,52	
März 24	μg/m³	0,52	
April 24	µg/m³	0,29	
Mai 24	µg/m³	0,19	
Juni 24	μg/m³	0,16	
Juli 24	μg/m³	0,16	
August 24	µg/m³	0,23	
September 24	µg/m³	0,30	
Oktober 24	µg/m³	0,47	
November 24	µg/m³	0,63	
Dezember 24	μg/m³	0,72	
Mittelwert 2024	μg/m³	0,4	5 <sup>1)</sup>
Max. Wochenmittelwert	μg/m³	1,7	
Verfügbarkeit %	%	98	

<sup>&</sup>lt;sup>1)</sup> Jahresimmissionsgrenzwert Benzol gemäß 39. BImSchV

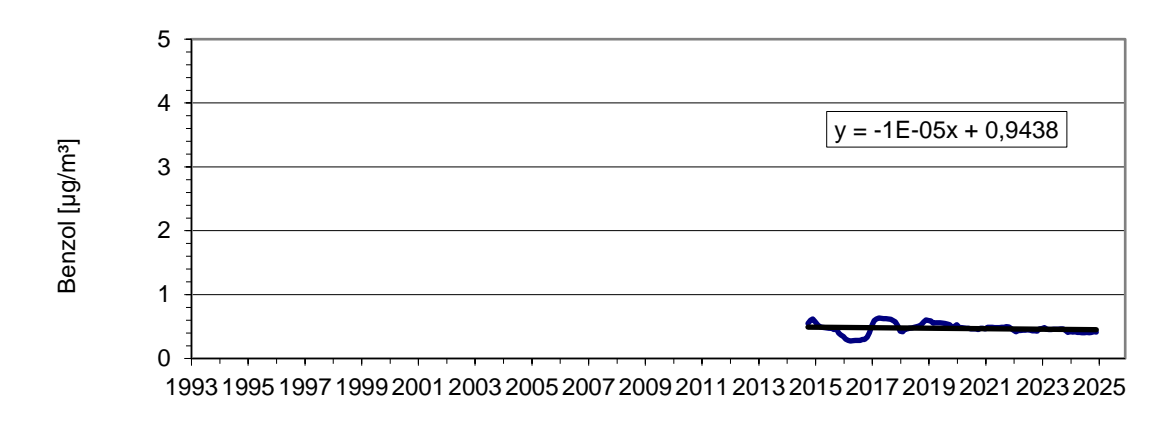


Abbildung 44. Gleitende 12-Monatsmittelwerte seit 2014 und langjähriger Trend für Benzol (LHY4).

# 6.7.2 Toluol (LHY7 und LHY4)

# 6.7.2.1 LHY7

Die Toluol-Konzentrationen sind wie auch die Benzolkonzentrationen auf einem niedrigen Niveau. Der im Kalenderjahr 2024 bestimmte Jahresmittelwert beträgt 0,5 μg/m³ und liegt damit im Bereich der Vorjahre. Die Datenverfügbarkeit lag 2024 bei 100 %. Ein Immissionsgrenzwert für Toluol ist in der 39. BImSchV nicht vorhanden. Zur Beurteilung kann der LAI-Zielwert von 30 μg/m³ verwendet werden. Dieser Zielwert für Toluol wurde wie in den Vorjahren auch im Kalenderjahr 2024 deutlich unterschritten.

Das Benzol-Toluol-Verhältnis befindet sich im Bereich der Vorjahre.

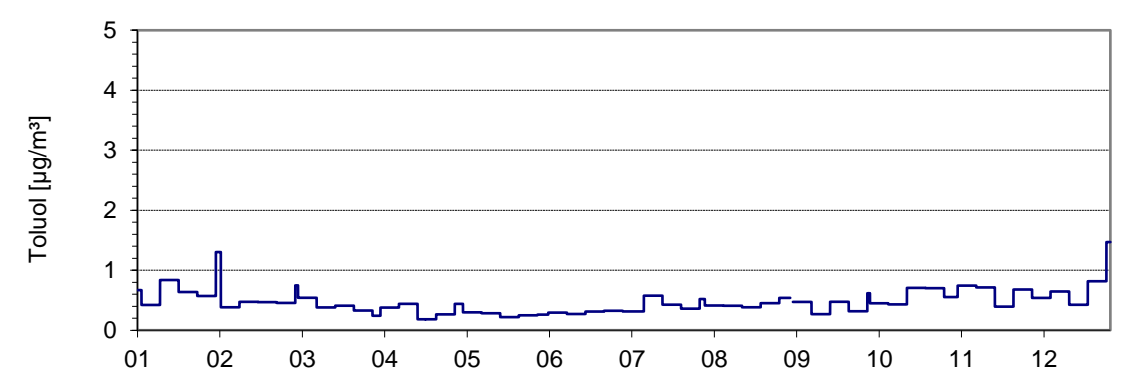


Abbildung 45. Verlauf der Wochenmittelwerte von Toluol (LHY7) für das Kalenderjahr 2024.

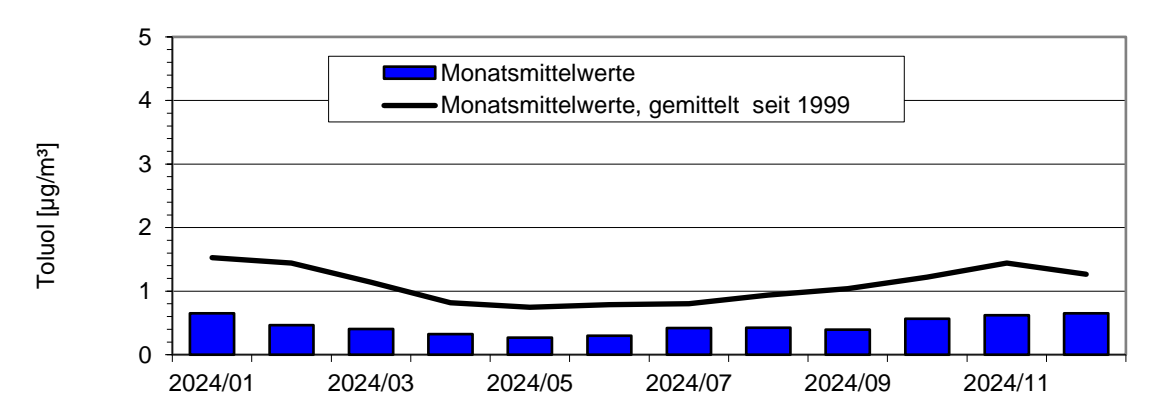


Abbildung 46. Jahresgang auf Basis der Monatsmittelwerte im Vergleich zum Mittelwert über alle Monate seit 2000 für Toluol (LHY7).

Tabelle 28. Toluol-Kennwerte für das Kalenderjahr 2024 (LHY7).

Kenngröße	Einheit	LHY7	
			LAI
		Toluol	
Januar 24	μg/m³	0,65	
Februar 24	μg/m³	0,46	
März 24	μg/m³	0,40	
April 24	μg/m³	0,32	
Mai 24	μg/m³	0,27	
Juni 24	μg/m³	0,30	
Juli 24	μg/m³	0,42	
August 24	μg/m³	0,43	
September 24	μg/m³	0,39	
Oktober 24	μg/m³	0,57	
November 24	μg/m³	0,62	
Dezember 24	μg/m³	0,65	
Mittelwert 2024	μg/m³	0,5	30 <sup>1)</sup>
Max. Wochenmittelwert	μg/m³	1,5	
Verfügbarkeit %	%	100	

<sup>&</sup>lt;sup>1)</sup> Jahresmittelwert als Zielwert für Staatliche Luftreinhalteplanung (LAI 2004)

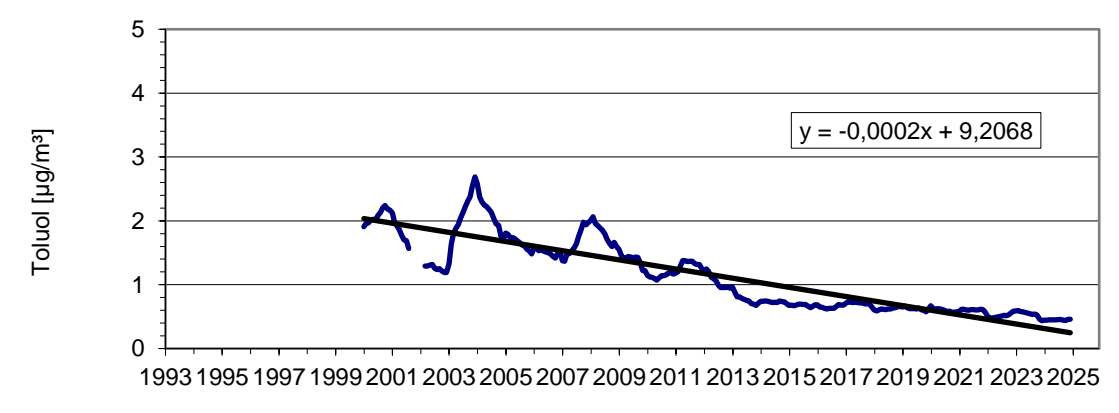


Abbildung 47. Gleitende 12-Monatsmittelwerte seit 2000 und langjähriger Trend für Toluol (LHY7).

# 6.7.2.2 LHY4

Die mittlere Toluol-Konzentration 2024 liegt am Messstandort LHY4 ebenfalls bei  $0.5~\mu g/m^3$ , die Datenverfügbarkeit bei 98 %. Das Benzol-Toluol-Verhältnis am Messort LHY4 liegt im Bereich des Vorjahres.

Der LAI-Zielwert für Toluol von 30 µg/m³ wurde deutlich unterschritten.

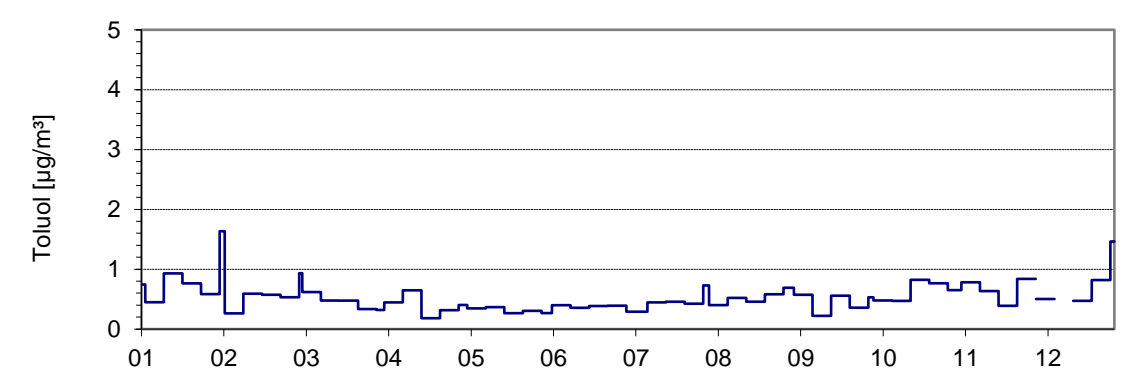


Abbildung 48. Verlauf der Wochenmittelwerte von Toluol (LHY4) für das Kalenderjahr 2024.

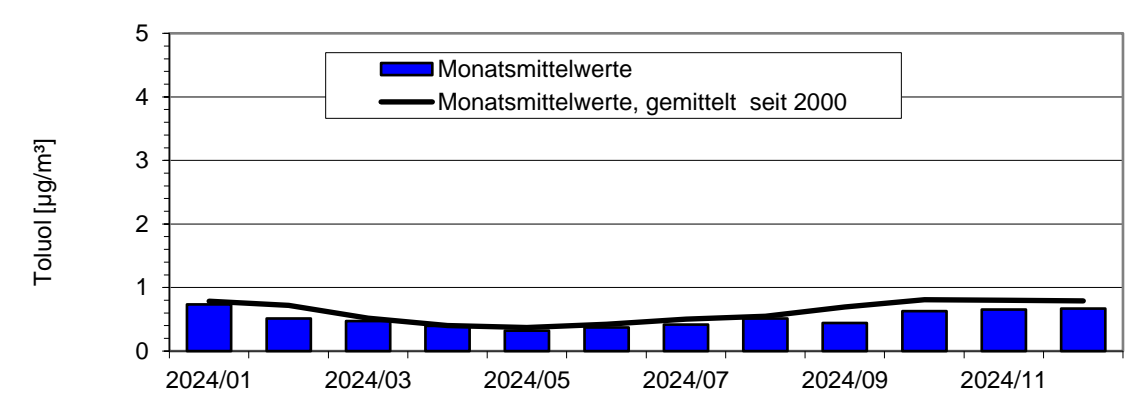


Abbildung 49. Jahresgang auf Basis der Monatsmittelwerte im Vergleich zum Mittelwert über alle Monate seit 2014 für Toluol (LHY4).

Tabelle 29. Toluol-Kennwerte für das Kalenderjahr 2024 (LHY4).

Kenngröße	iße Einheit LHY4		
_			LAI
		Toluol	
Januar 24	µg/m³	0,73	
Februar 24	µg/m³	0,51	
März 24	µg/m³	0,47	
April 24	µg/m³	0,40	
Mai 24	µg/m³	0,32	
Juni 24	µg/m³	0,37	
Juli 24	µg/m³	0,42	
August 24	µg/m³	0,51	
September 24	µg/m³	0,44	
Oktober 24	μg/m³	0,63	
November 24	µg/m³	0,65	
Dezember 24	µg/m³	0,67	
Mittelwert 2024	μg/m³	0,5	<b>30</b> <sup>1)</sup>
Max. Wochenmittelwert	µg/m³	1,6	
Verfügbarkeit %	%	98	

<sup>1)</sup> Jahresmittelwert als Zielwert für Staatliche Luftreinhalteplanung (LAI 2004)

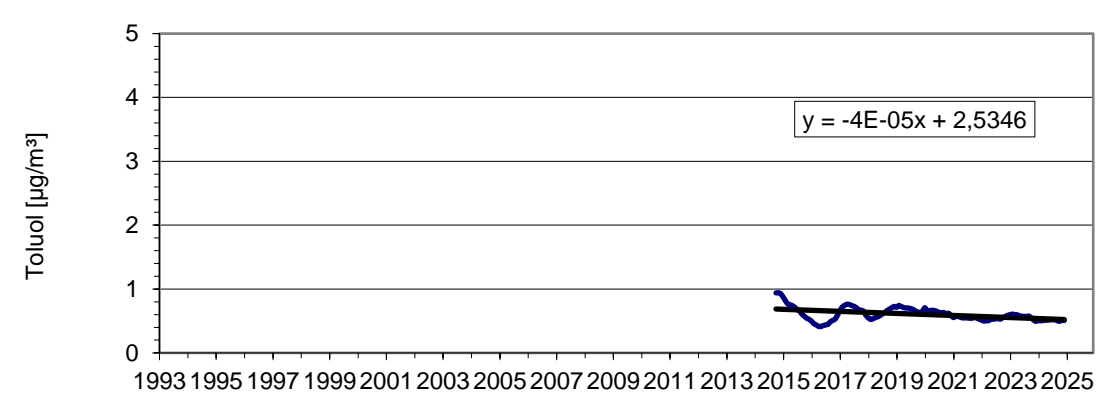


Abbildung 50. Gleitende 12-Monatsmittelwerte seit 2014 und langjähriger Trend für Toluol (LHY4).

# 6.7.3 Xylole (LHY7 und LHY4)

# 6.7.3.1 LHY7

Die Konzentration der p-, m- und o-Xylole liegt weiterhin auf einem sehr niedrigen Niveau. Im Jahr 2024 beträgt der Jahresmittelwert 0,4  $\mu$ g/m³. Die Datenverfügbarkeit lag an der LHY7 bei 100 %, an der LHY4 bei 98 %. Der Zielwert des LAI für die Gesamtxylol-Konzentration von 30  $\mu$ g/m³ wurde im Kalenderjahr 2024 sicher eingehalten.

Erwartungsgemäß wurden im Winterhalbjahr höhere Xylol-Konzentrationen bestimmt.

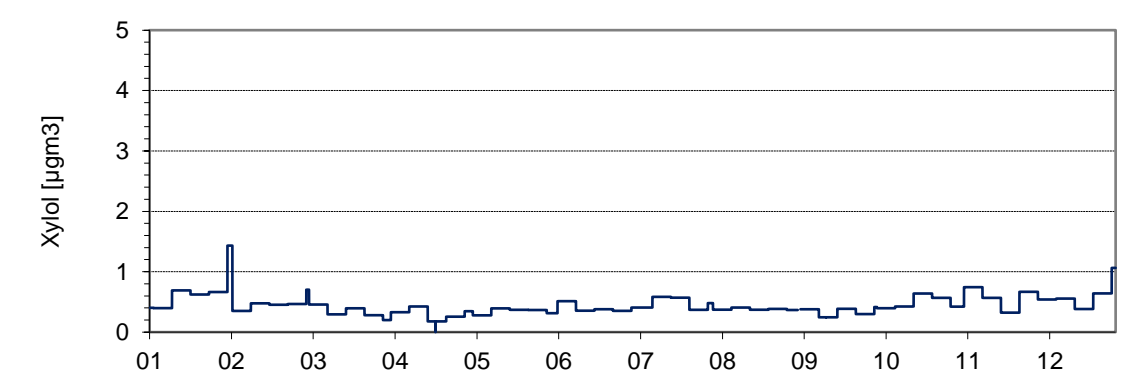


Abbildung 51. Verlauf der Wochenmittelwerte von Xylol (LHY7) für das Kalenderjahr 2024.

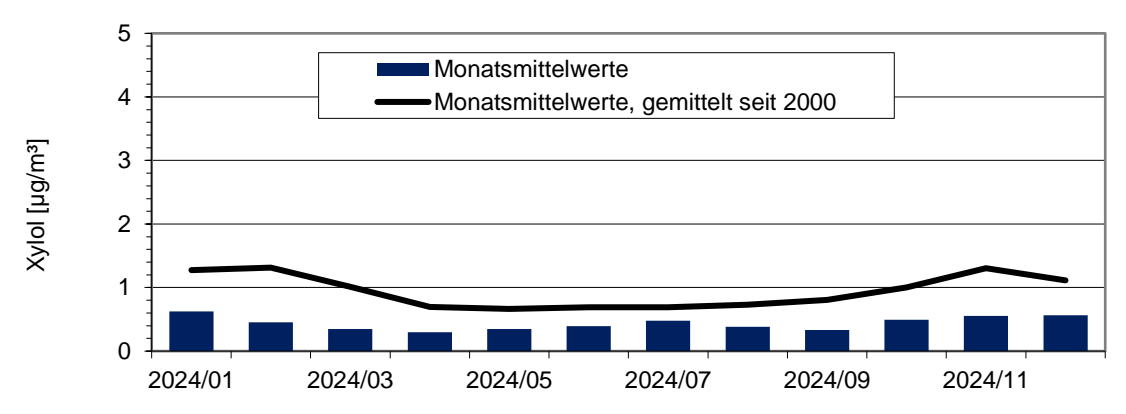


Abbildung 52. Jahresgang auf Basis der Monatsmittelwerte im Vergleich zum Mittelwert über alle Monate seit 2000 für Xylol (LHY7).

Tabelle 30. Xylol-Kennwerte für das Kalenderjahr 2024 (LHY7).

Kenngröße	Einheit	LHY7	LAI
		Xylol	
Januar 24	μg/m³	0,62	
Februar 24	μg/m³	0,46	
März 24	μg/m³	0,35	
April 24	μg/m³	0,30	
Mai 24	μg/m³	0,35	
Juni 24	μg/m³	0,39	
Juli 24	μg/m³	0,48	
August 24	μg/m³	0,38	
September 24	μg/m³	0,33	
Oktober 24	μg/m³	0,50	
November 24	μg/m³	0,55	
Dezember 24	μg/m³	0,56	
Mittelwert 2024	μg/m³	0,4	30 <sup>1)</sup>
Max. Wochenmittelwert	μg/m³	1,4	
Verfügbarkeit %	%	100	

<sup>1)</sup> Jahresmittelwert als Zielwert für Staatliche Luftreinhalteplanung (LAI 2004)

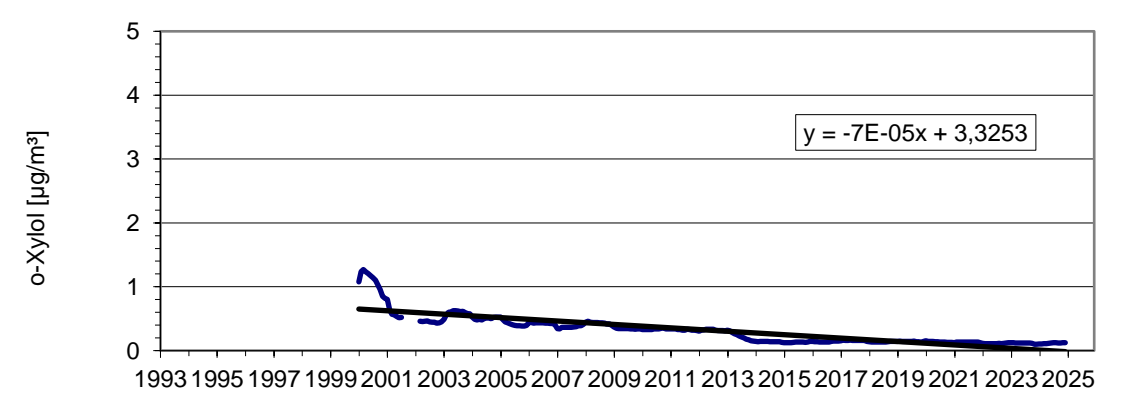


Abbildung 53. Gleitende 12-Monatsmittelwerte seit 2000 und langjähriger Trend für Xylol (LHY7).

# 6.7.3.2 LHY4

Bei den Xylolen am Messstandort LHY4 wurde für 2024 ebenfalls ein Jahresmittelwert von 0,4 µg/m³ erfasst. Der Jahreszielwert des LAI für die Summe der Xylolkonzentrationen von 30 µg/m³ wurde im Kalenderjahr 2024 sicher eingehalten.

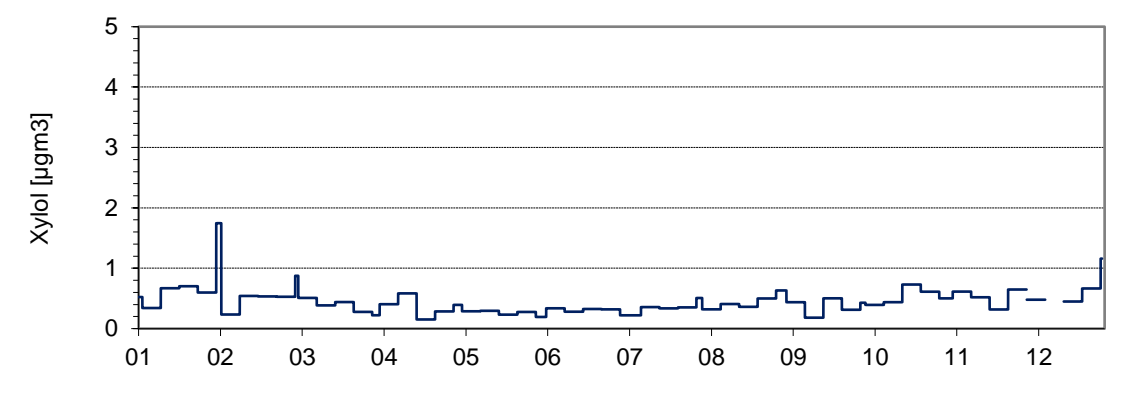


Abbildung 54. Verlauf der Wochenmittelwerte von Xylol (LHY4) für das Kalenderjahr 2024.

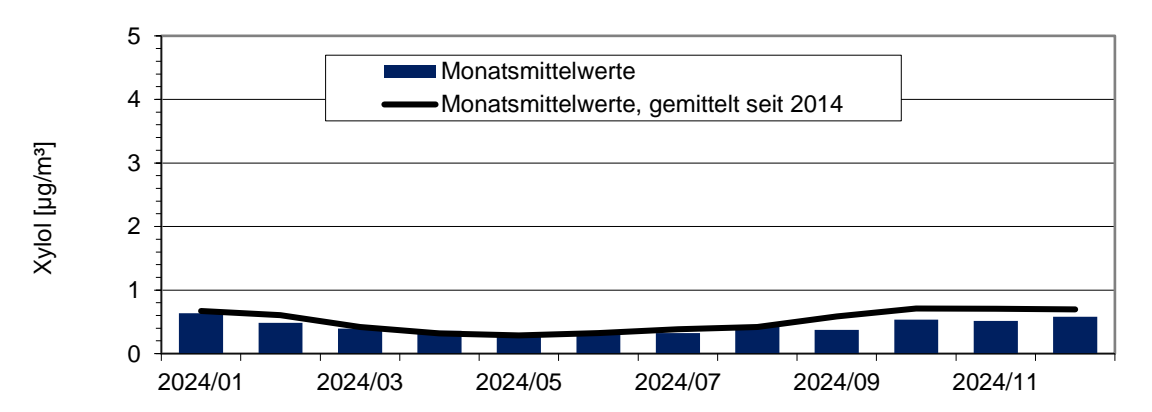


Abbildung 55. Jahresgang auf Basis der Monatsmittelwerte im Vergleich zum Mittelwert über alle Monate seit 2014 für Xylol (LHY4).

Tabelle 31. Xylol-Kennwerte für das Kalenderjahr 2024 (LHY4).

Kenngröße	Einheit	LHY4	LAI
		Xylol	
Januar 24	μg/m³	0,63	
Februar 24	µg/m³	0,48	
März 24	μg/m³	0,40	
April 24	μg/m³	0,36	
Mai 24	µg/m³	0,27	
Juni 24	μg/m³	0,31	
Juli 24	μg/m³	0,32	
August 24	μg/m³	0,42	
September 24	μg/m³	0,37	
Oktober 24	μg/m³	0,54	
November 24	μg/m³	0,52	
Dezember 24	μg/m³	0,58	
Mittelwert 2024	μg/m³	0,4	30 <sup>1)</sup>
Max. Wochenmittelwert	µg/m³	1,7	·
Verfügbarkeit %	%	98	

<sup>&</sup>lt;sup>1)</sup> Jahresmittelwert als Zielwert für staatliche Luftreinhalteplanung (LAI 2004)

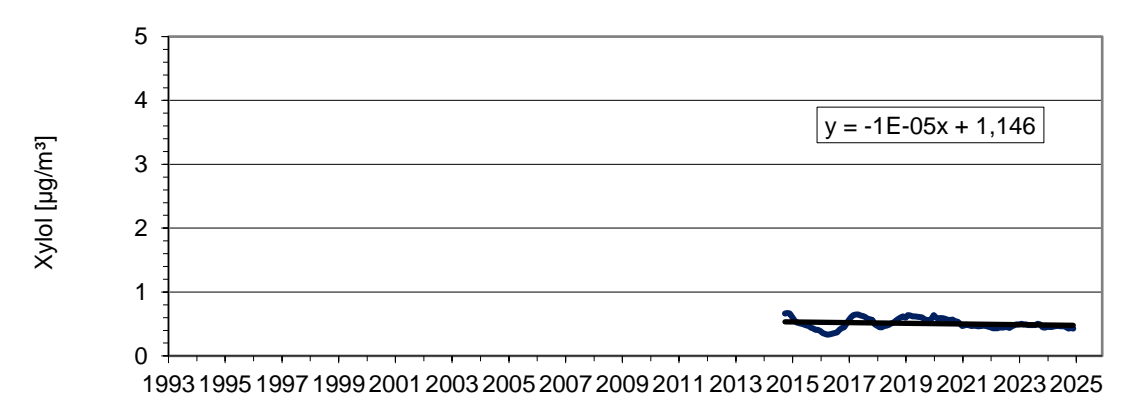


Abbildung 56. Gleitende 12-Monatsmittelwerte seit 2014 und langjähriger Trend für Xylol (LHY4).

# 6.7.4 Ethylbenzol (LHY7 und LHY4)

# 6.7.4.1 LHY7

Die Ethylbenzolkonzentration wird seit 2014 an der LHY7 bestimmt. Der Jahresmittelwert für Ethylbenzol beträgt im Kalenderjahr 2024 wie im Vorjahr 0,1  $\mu$ g/m³. Im Kalenderjahr 2024 wurde eine maximale Konzentration als Wochenmittelwert von 0,3  $\mu$ g/m³ erfasst. Die Datenverfügbarkeit lag bei 100 %. Das gemäß LAI abgeleitete Beurteilungskriterium von 880  $\mu$ g/m³ (1/100 des Arbeitsplatzgrenzwertes bzw. MAK) ist deutlich unterschritten. Ein Jahresgang mit höheren Konzentrationen in den Wintermonaten ist aufgrund des geringen Immissionsniveaus nur schwach ausgeprägt.

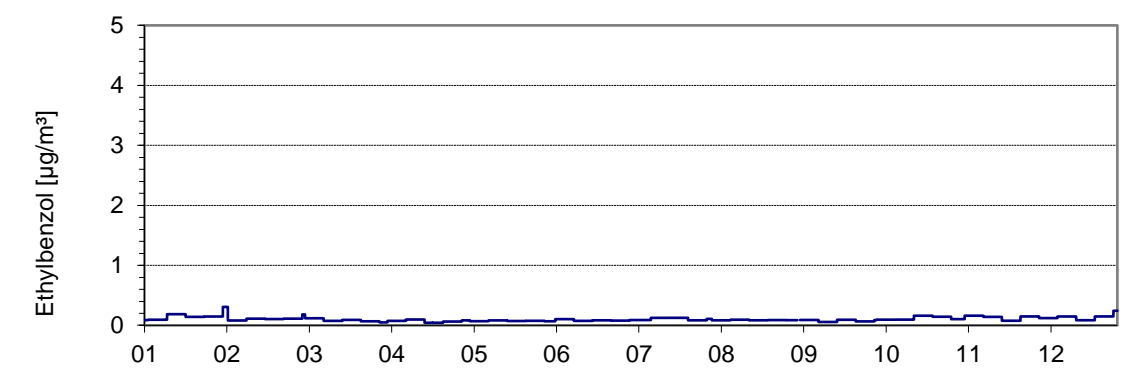


Abbildung 57. Verlauf der Wochenmittelwerte von Ethylbenzol (LHY7) für das Kalenderjahr 2024.

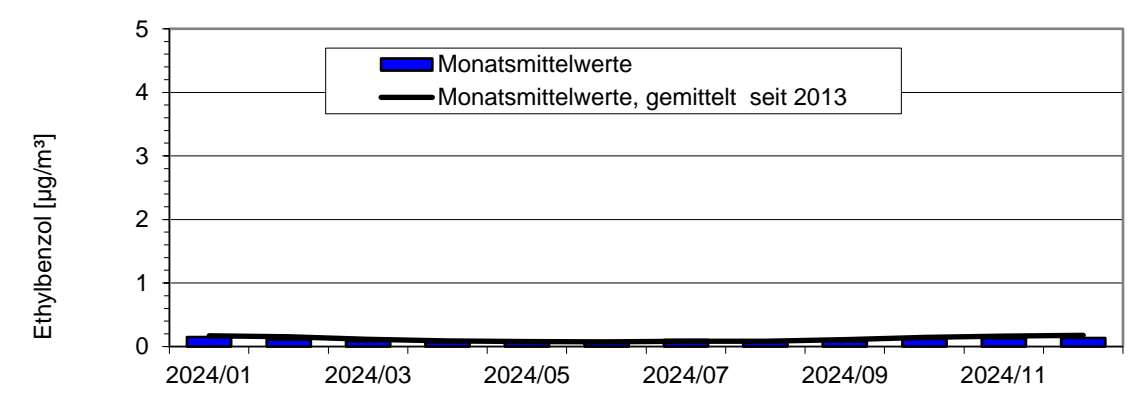


Abbildung 58. Jahresgang auf Basis der Monatsmittelwerte im Vergleich zum Mittelwert über alle Monate seit 2014 für Ethylbenzol (LHY7).

Tabelle 32. Ethylbenzol-Kennwerte für das Kalenderjahr 2024 (LHY7).

Kenngröße	Einheit	LHY7	LAI
		Ethylbenzol	
Januar 24	μg/m³	0,15	
Februar 24	μg/m³	0,11	
März 24	μg/m³	0,09	
April 24	μg/m³	0,07	
Mai 24	μg/m³	0,07	
Juni 24	μg/m³	0,08	
Juli 24	μg/m³	0,10	
August 24	μg/m³	0,09	
September 24	μg/m³	0,08	
Oktober 24	μg/m³	0,12	
November 24	μg/m³	0,13	
Dezember 24	μg/m³	0,13	
Mittelwert 2024	μg/m³	0,1	880 <sup>1)</sup>
Max. Wochenmittelwert	μg/m³	0,3	
Verfügbarkeit %	%	100	

<sup>1)</sup> Jahresmittelwert als 1/100 AGW gemäß LAI 2004

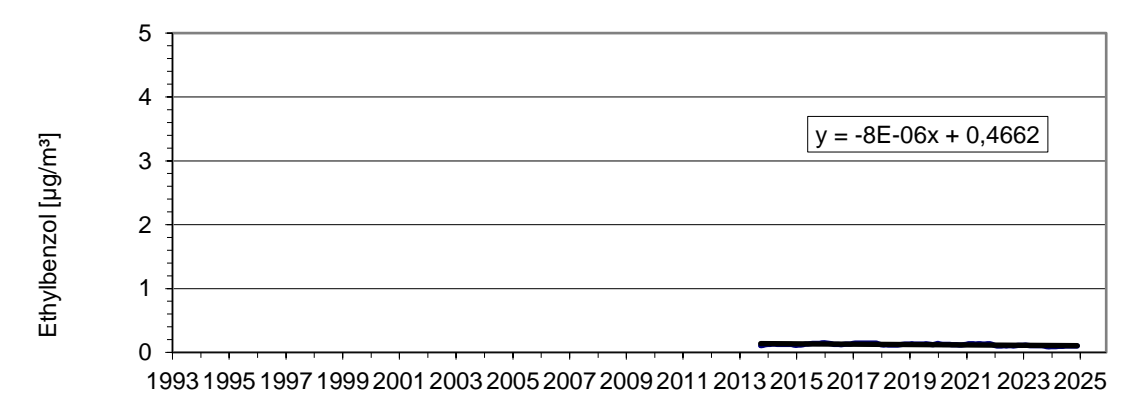


Abbildung 59. Gleitende 12-Monatsmittelwerte seit 2014 und langjähriger Trend für Ethylbenzol (LHY7).

#### 6.7.4.2 LHY4

Die Ethylbenzol-Konzentration am Messort LHY4 betrug im Kalenderjahr 2024 wie auch an der Hauptmessstation LHY7 0,1 µg/m³. Ein Jahresgang mit höheren Konzentrationen in den Wintermonaten ist aufgrund des geringen Immissionsniveaus nur schwach ausgeprägt.

Wie auch beim Messort LHY7 ist auch am Messort LHY4 der Beurteilungswert für Ethylbenzol von 880  $\mu g/m^3$  deutlich unterschritten.

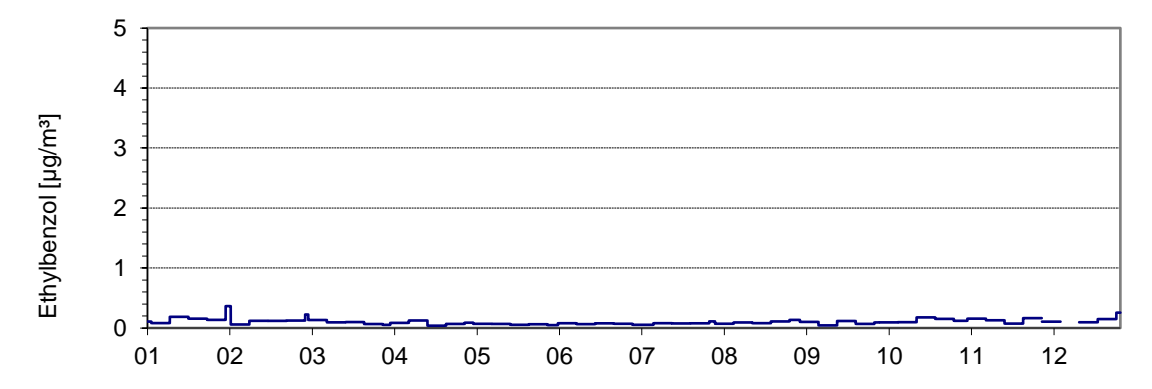


Abbildung 60. Verlauf der Wochenmittelwerte von Ethylbenzol (LHY4) für das Kalenderjahr 2024.

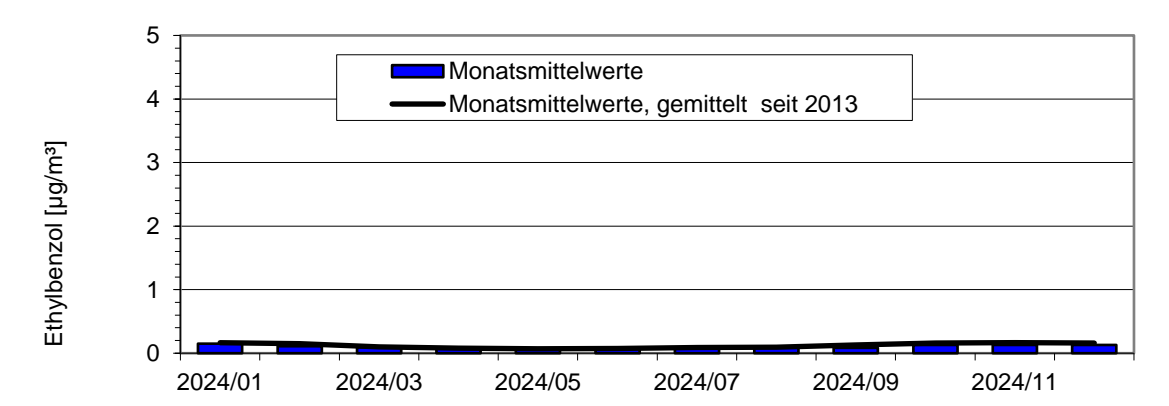


Abbildung 61. Jahresgang auf Basis der Monatsmittelwerte im Vergleich zum Mittelwert über alle Monate seit 2013 für Ethylbenzol (LHY4).

Tabelle 33. Ethylbenzol-Kennwerte für das Kalenderjahr 2024 (LHY4).

Kenngröße	Einheit	LHY4	LAI
	Ethylbenzol		
Januar 24	μg/m³	0,15	
Februar 24	µg/m³	0,11	
März 24	μg/m³	0,10	
April 24	μg/m³	0,08	
Mai 24	µg/m³	0,06	
Juni 24	µg/m³	0,07	
Juli 24	µg/m³	0,07	
August 24	μg/m³	0,09	
September 24	μg/m³	0,09	
Oktober 24	μg/m³	0,13	
November 24	μg/m³	0,13	
Dezember 24	μg/m³	0,13	
Mittelwert 2024	μg/m³	0,1	880 <sup>1)</sup>
Max. Wochenmittelwert	μg/m³	0,4	
Verfügbarkeit %	%	98	

<sup>1)</sup> Jahresmittelwert als 1/100 AGW gemäß LAI 2004

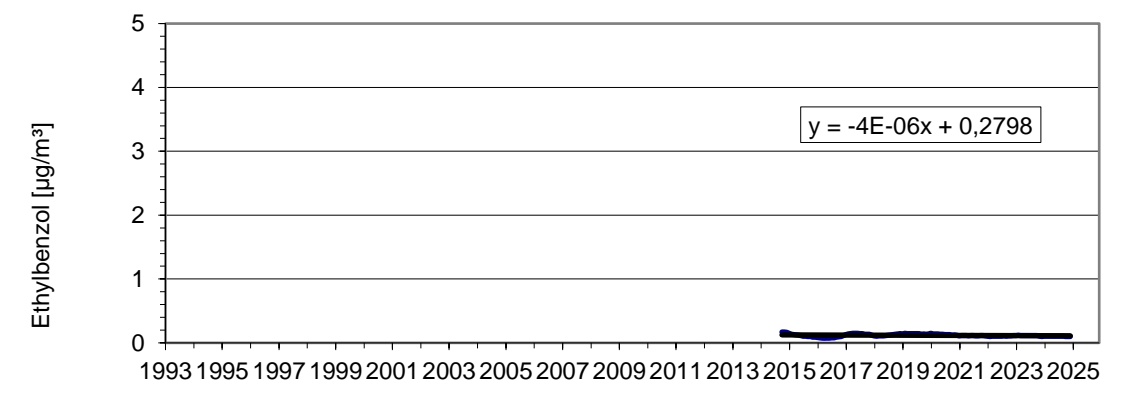


Abbildung 62. Gleitende 12-Monatsmittelwerte seit 2014 und langjähriger Trend für Ethylbenzol (LHY4).

# 6.7.5 n-Alkane (n-Hexan bis n-Tetradekan)

Seit 2014 werden zudem die n-Alkane als Tracer für Kerosinemissionen an den Messstandorten LHY4 und LHY7 erfasst.

Die Probenahme und Analyse dieser Parameter erfolgt analog zu Benzol.

Sowohl die Jahresmittelwerte als auch die Einzelwerte aller n-Alkane lagen an beiden Messorten auf einem sehr niedrigen Niveau. Für die bessere Veranschaulichung wurde in der nachfolgenden Abbildung der Jahresverlauf der Summe der n-Alkane dargestellt. Typischerweise wurden im Winterhalbjahr höhere Konzentrationen erfasst.

#### 6.7.5.1 LHY7

Der Jahresmittelwert der Summe der n-Alkane ist im Kalenderjahr 2024 am Messort LHY7 mit 0,7  $\mu$ g/m³ etwa 0,2  $\mu$ g/m³ höher als im Vorjahr. Im Kalenderjahr 2024 betrug die Datenverfügbarkeit 100 %. Der hilfsweise herangezogene Beurteilungswert von 200  $\mu$ g/m³ wird deutlich unterschritten. Die Jahresmittelwerte liegen im Bereich der Vorjahre.

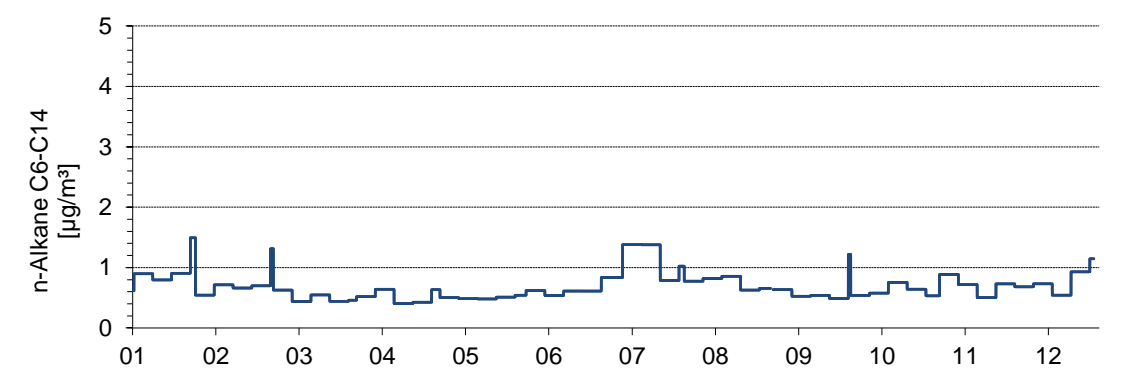


Abbildung 63. Verlauf der Wochenmittelwerte von der Summe der n-Alkane (LHY7) für das Kalenderjahr 2024.

Tabelle 34. Summe n-Alkane Kennwerte für das Kalenderjahr 2024 (LHY7).

Kenngröße	Einheit	LHY7	Innenraum- richtwert I
		∑n-Alkane	
Januar 24	μg/m³	0,83	
Februar 24	μg/m³	0,68	
März 24	µg/m³	0,52	
April 24	μg/m³	0,50	
Mai 24	μg/m³	0,50	
Juni 24	μg/m³	0,59	
Juli 24	μg/m³	1,07	
August 24	μg/m³	0,76	
September 24	μg/m³	0,55	
Oktober 24	μg/m³	0,64	
November 24	μg/m³	0,69	
Dezember 24	μg/m³	0,74	
Mittelwert 2024	μg/m³	0,7	200 <sup>1)</sup>
Max. Wochenmittelwert	μg/m³	1,5	
Verfügbarkeit %	%	100	

<sup>1)</sup> Jahresmittelwert, orientierender Zielwert des Richtwert I

# 6.7.5.2 LHY4

Im Kalenderjahr 2024 betrug die Datenverfügbarkeit 98 %. Der Jahresmittelwert der Summe der n-Alkane betrug im Jahr 2024 am Messort LHY4 0,6 µg/m³. Der hilfsweise herangezogene Beurteilungswert von 200 µg/m³ wird deutlich unterschritten.

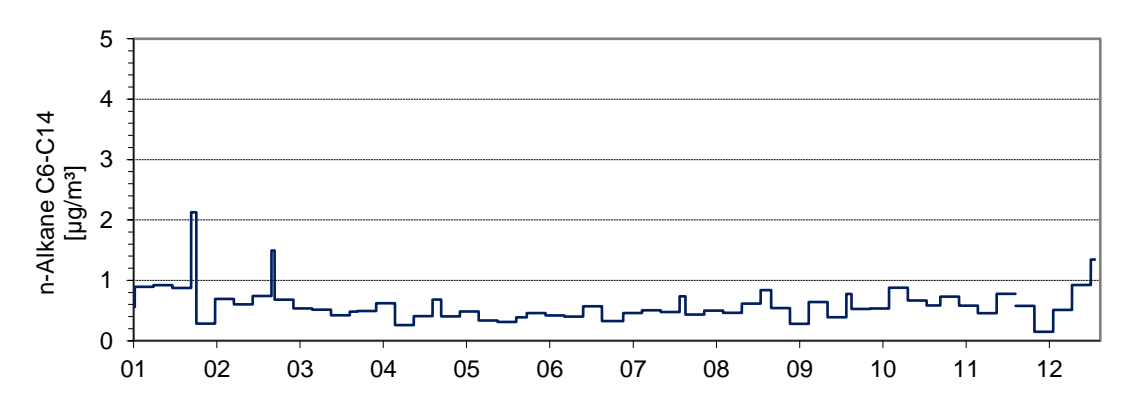


Abbildung 64. Verlauf der Wochenmittelwerte von der Summe der n-Alkane (LHY4) für das Kalenderjahr 2024.

Tabelle 35. Summe n-Alkane Kennwerte für das Kalenderjahr 2024 (LHY4).

Kenngröße	Einheit	LHY4	Innenraum- richtwert I
		∑n-Alkane	
Januar 24	µg/m³	0,87	
Februar 24	μg/m³	0,62	
März 24	μg/m³	0,55	
April 24	µg/m³	0,46	
Mai 24	μg/m³	0,40	
Juni 24	μg/m³	0,45	
Juli 24	µg/m³	0,46	
August 24	μg/m³	0,53	
September 24	µg/m³	0,49	
Oktober 24	μg/m³	0,65	
November 24	µg/m³	0,62	
Dezember 24	µg/m³	0,59	
Mittelwert 2024	μg/m³	0,6	200 <sup>1)</sup>
Max. Wochenmittelwert	µg/m³	2,1	
Verfügbarkeit %	%	98	

<sup>&</sup>lt;sup>1)</sup> Jahresmittelwert, orientierender Zielwert des Richtwert I

# 6.8 Partikel PM<sub>10</sub> (LHY7)

# 6.8.1 Messergebnisse der kontinuierlichen PM<sub>10</sub>-Messungen

Die Verfügbarkeit der kontinuierlichen Messeinrichtung betrug im Berichtsjahr 99 %.

Bei den kontinuierlichen PM<sub>10</sub>-Messungen wird nicht das Referenzmessverfahren nach 39. BImSchV eingesetzt, weshalb die Messwerte einer Äquivalenzprüfung unterzogen werden müssen (siehe Abschnitt 6.8.2).

Zur Veranschaulichung des Konzentrationsverlaufes sind in den nachfolgenden Abbildungen und Tabellen die nicht korrigierten Messdaten der kontinuierlichen PM<sub>10</sub>-Messungen dargestellt.

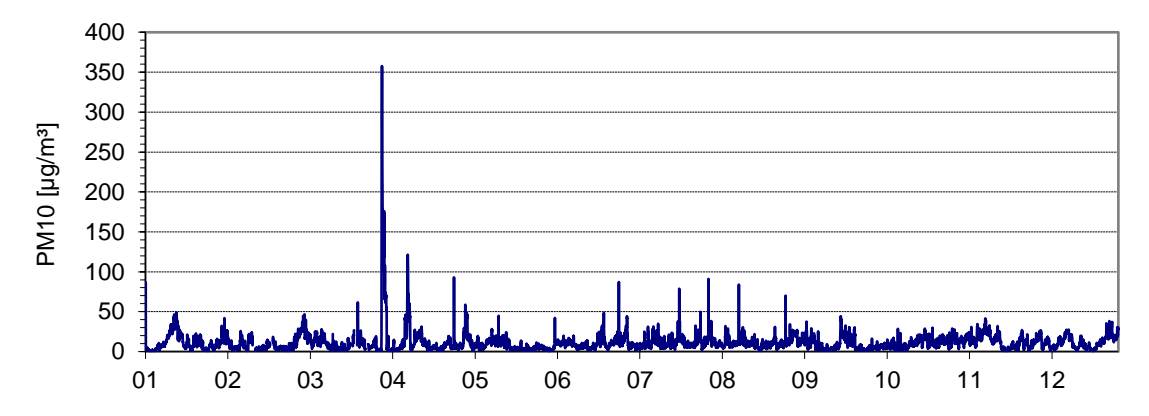


Abbildung 65. Verlauf der Stundenmittelwerte von Partikeln (PM<sub>10</sub>) für das Kalenderjahr 2024.

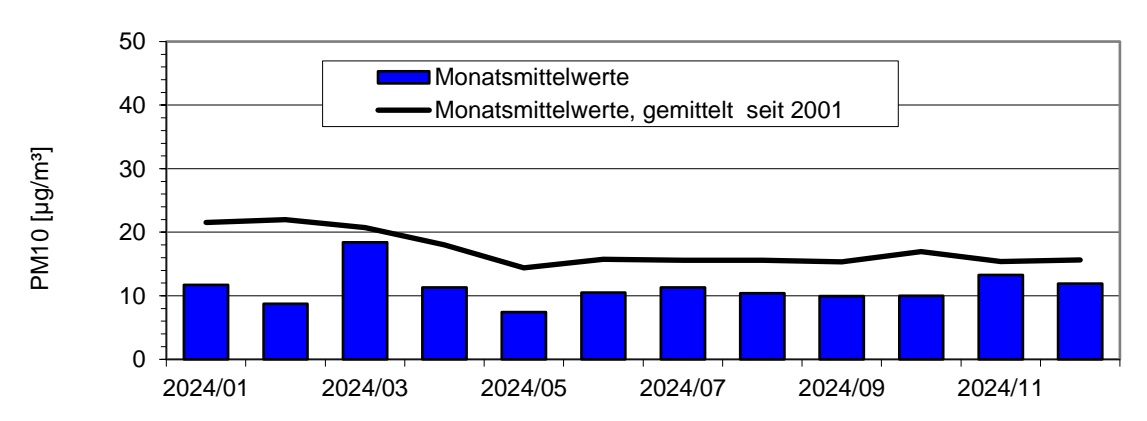


Abbildung 66. Jahresgang auf Basis der Monatsmittelwerte im Vergleich zum Mittelwert über alle Monate seit 2001 für Partikel (PM<sub>10</sub>).

Tabelle 36. PM<sub>10</sub>-Kennwerte für das Kalenderjahr 2024 (kontinuierliche PM<sub>10</sub>-Messung, nicht abschließend validiert).

Kenngröße	Einheit	LHY7	39. BlmSchV	
		Partikel PM <sub>10</sub>		
		kontinuierlich		
Januar 24	μg/m³	12		
Februar 24	μg/m³	9		
März 24	μg/m³	18		
April 24	μg/m³	11		
Mai 24	μg/m³	7		
Juni 24	μg/m³	11		
Juli 24	μg/m³	11		
August 24	μg/m³	10		
September 24	μg/m³	10		
Oktober 24	μg/m³	10		
November 24	μg/m³	13		
Dezember 24	μg/m³	12		
Mittelwert 2024	μg/m³	11,2	40 <sup>1)</sup>	
Anzahl Tagesmittelwert >50	μg/m³	4	35 <sup>2)</sup>	
Verfügbarkeit %	%	99		

<sup>1)</sup> Jahresimmissionsgrenzw ert PM10 gemäß 39. BlmSchV

 $<sup>^{2)}</sup>$  maximaler Tagesmittelw ert von 50  $\mu g/m^3$  mit 35 zulässigen Überschreitungen gemäß 39. BlmSchV

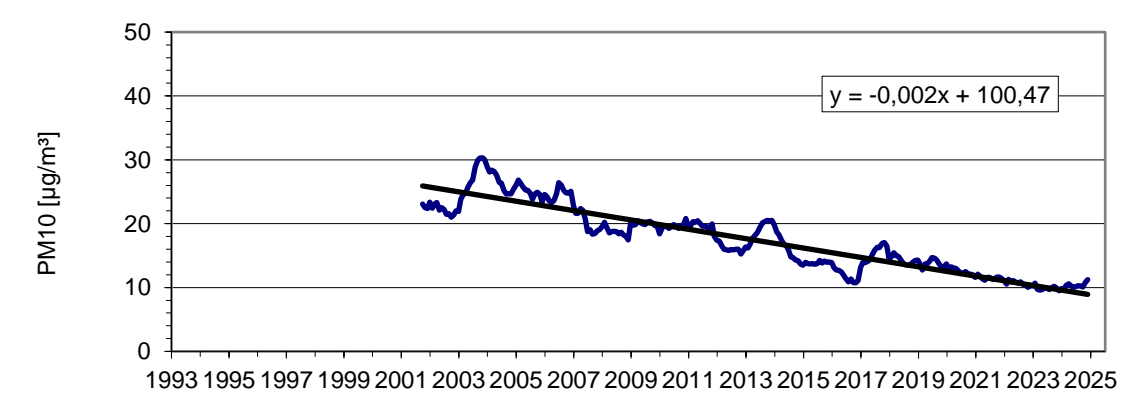


Abbildung 67. Gleitende 12-Monatsmittelwerte seit 2001.

# 6.8.2 Äguivalenztest des kontinuierlichen Partikelmessgerätes

In Messnetzen werden zur Bestimmung der PM<sub>10</sub>-Konzentration üblicherweise kontinuierlich messende automatische Messeinrichtungen (AMS) eingesetzt. Am Flughafen München werden an der Hauptmessstation LHY7 zur kontinuierlichen Bestimmung der PM<sub>10</sub>-Konzentration eignungsgeprüfte Messgeräte des Typs APDA 372, Fa. Horiba (Streulicht) verwendet.

Die EU-Luftqualitätsrichtlinie 2008/50/EG ermöglicht die Anwendung derartiger Messeinrichtungen nach dem Nachweis der Gleichwertigkeit mit dem Referenzverfahren, d. h. nach dem Nachweis, dass diese Messeinrichtungen die Datenqualitätsziele für kontinuierliche Messungen einhalten (Äquivalenztest).

Zur Durchführung des Äquivalenztests wurde eine Excel-Vorlage der Europäischen Kommission verwendet. Im Zeitraum der Messungen Januar 2024 bis Dezember 2024 standen an der LHY7 an 359 Tagen Datenpaare für das jeweilige Messverfahren zur Verfügung. Die Datensätze decken alle vier Jahreszeiten ab. Die Ergebnisse der Äquivalenzprüfung sind auf der nachfolgenden Seite dargestellt.

Die kontinuierlichen PM<sub>10</sub>-Messungen erfüllen die in der Richtlinie 2008/50/EG geforderten Datenqualitätsziele auch ohne Kalibrierung, verletzen jedoch z. T. die Anforderungen an Steigung und Achsenabschnitt.

Zur Optimierung der Datenkollektive wurden daraufhin standortabhängig steigungsund achsenabschnittbasierte Kalibrierfunktionen ermittelt. Das Datenqualitätsziel von 25 % wird somit sicher eingehalten. Die für die Messungen eingesetzten APDA 372-Geräte der Fa. Horiba können unter Verwendung der in der Abbildung 68 und Abbildung 69 aufgeführten Kalibrierfunktionen für die vorliegenden Standorte als gleichwertig zum Referenzverfahren angesehen werden.

Slope Slope (b) = 1,036 +/- 0,014 Significantly different from 1 Intercept Intercept (a) = -0,544 +/- 0,204 µg m-3 Significantly different from 0 n = 344n R^2 R Squared = 0.933Expanded Uncertainty Expanded Uncertainty (Wcm) = 11,27 % Passes 25% criterion u(bs,RM) Between Reference Method Uncertainty (u(bs,RM)) = Not Calculated u(RM) Random Uncertainty of the Reference Method (u(RM)) = 0,67 µg m-3 u(bs,CM) Between Candidate Method Uncertainty (u(bs,CM)) = Not Calculated Percentage of RM greater than 28 µg m-3 = 1,7% %(RM)> RMCM Outside CL RM CM outside Confidence Level at 0,99 CL = 12 Random Term Random Term =  $2,532 \mu g m-3$ Bias at LV Bias at LV =  $1,234 \mu g \text{ m-}3$ Additional Uncertainty = 0 µg m-3 Additional Uncertainty n(RM)>Number of RM greater than  $28 \mu g \text{ m-}3 = 6$ Pollutant = PM10; Subset = All Data Pollutant and Subset

Abbildung 68. Äquivalenztest für die kontinuierlichen PM<sub>10</sub>-Messungen LHY7.

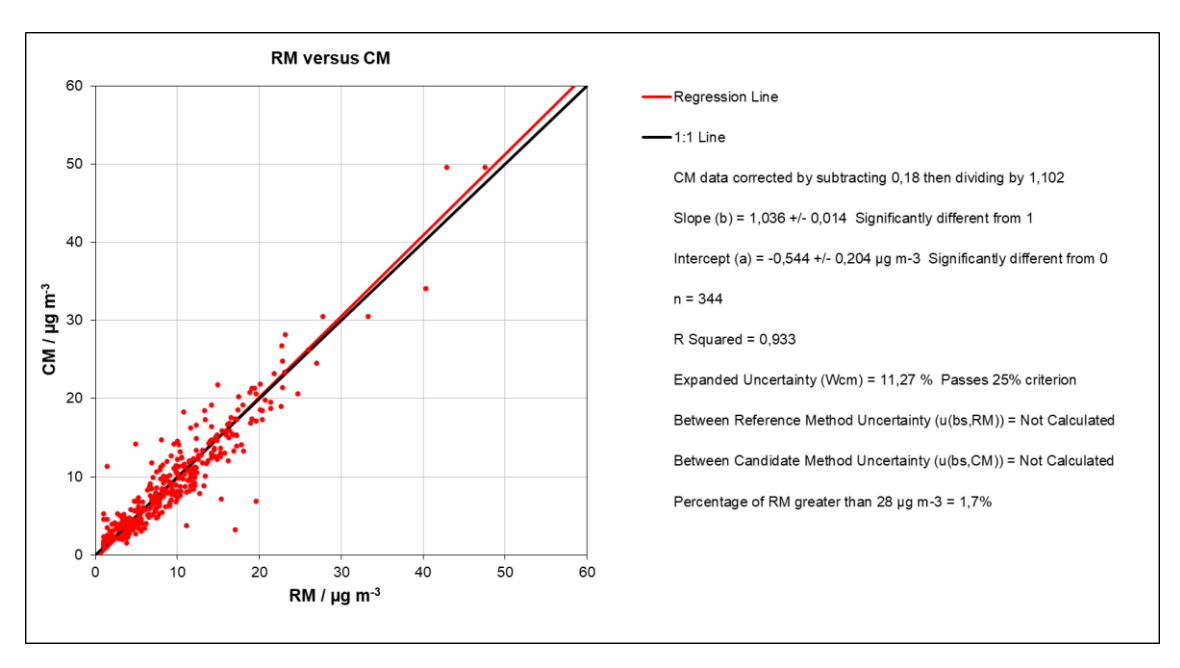


Abbildung 69. Regression der kontinuierlichen PM<sub>10</sub>-Messungen (24 h Mittel) gegen das gravimetrische Referenzverfahren nach steigungs- und achsenabschnittbasierter Kalibrierung.

Die relative erweiterte Messunsicherheit beträgt 11,3 %. Das Datenqualitätsziel von 25 % wird somit sicher eingehalten. Die grundsätzliche gute Vergleichbarkeit der APDA 372-Messdaten mit dem gravimetrischen Referenzmessverfahren dokumentiert zusammenfassend die nachfolgende Tabelle, in der die statistischen Kenngrößen beider Messverfahren gegenübergestellt sind.

Tabelle 37. Vergleich gravimetrisches Referenzmessverfahren mit Partikelimmissionsmesssystem APDA 372 (Datenbasis Tagesmittelwerte und Berücksichtigung der Kalibrierfunktion).

Kenngröße	Einheit	LHY7	LHY7
		Partikel PM <sub>10</sub> kontinuierlich	Partikel PM <sub>10</sub> gravimetrisch
Januar 24	µg/m³	12	12
Februar 24	µg/m³	9	8
März 24	µg/m³	18	14
April 24	µg/m³	11	10
Mai 24	µg/m³	7	7
Juni 24	µg/m³	11	11
Juli 24	µg/m³	11	12
August 24	µg/m³	10	10
September 24	µg/m³	10	9
Oktober 24	µg/m³	10	10
November 24	µg/m³	13	11
Dezember 24	μg/m³	12	7
Mittelwert 2024	μg/m³	11,2	10,2
Anzahl Tagesmittelwert >50 μg	µg/m³	4	2
Verfügbarkeit %	%	99	96

Im Jahresmittelwert ergibt sich eine Abweichung von 1,0 µg/m³. Demnach ist die Übereinstimmung der eingesetzten Messsysteme gut. Bei der Anzahl der Überschreitungstage des Tagesimmissionsgrenzwertes gemäß 39. BlmSchV von 50 µg/m³ gab es im Kalenderjahr 2024 bei der gravimetrischen Referenzmessung zwei, sowie bei der kontinuierlichen Messung vier Überschreitungen. Die zulässige Überschreitungshäufigkeit von 35 Tagen im Kalenderjahr wurde damit bei beiden Systemen sicher eingehalten.

Der Jahresmittelwert für PM<sub>10</sub> liegt nach der Äquivalenzprüfung mit 10 μg/m³ im Bereich der Jahresmittelwerte der Vorjahre.

# 6.9 Partikel PM<sub>2,5</sub> (LHY7)

Der Jahresmittelwert im Kalenderjahr 2024 liegt mit 6  $\mu$ g/m³ etwas unterhalb der  $PM_{2,5}$ -Jahresmittelwerte der Vorjahre. Der Immissionsgrenzwert gemäß 39. BImSchV für das Kalenderjahr von 25  $\mu$ g/m³ wurde somit deutlich unterschritten Im Februar und März 2024 wurden die höchste  $PM_{2,5}$ -Konzentrationen ermittelt. Dieser Trend wurde auch bei den Partikeln  $PM_{10}$  festgestellt.

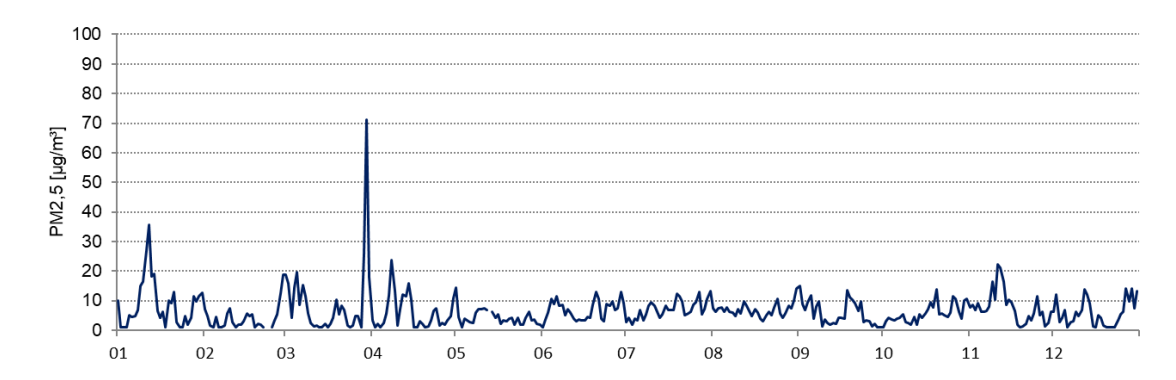


Abbildung 70. Verlauf der Tagesmittelwerte von Partikel (PM<sub>2,5</sub>) für das Kalenderjahr 2024.

Tabelle 38. PM<sub>2,5</sub>-Kennwerte für das Kalenderjahr 2024.

Kenngröße	Einheit	LHY7	39. BlmSchV
		Partikel PM <sub>2,5</sub>	
Januar 24	μg/m³	9	
Februar 24	μg/m³	4	
März 24	μg/m³	9	
April 24	μg/m³	6	
Mai 24	μg/m³	4	
Juni 24	μg/m³	7	
Juli 24	μg/m³	7	
August 24	μg/m³	7	
September 24	μg/m³	6	
Oktober 24	μg/m³	6	
November 24	μg/m³	8	
Dezember 24	μg/m³	6	
Mittelwert 2024	μg/m³	6	25 <sup>1)</sup>
max. Tagesmittelwert	μg/m³	36	
Verfügbarkeit %	%	99	

<sup>1)</sup> Jahresimmissionsgrenzwert PM2,5 gemäß 39. BlmSchV

# 6.10 Benzo(a)pyren im PM<sub>10</sub>

#### 6.10.1 LHY7

Die Benzo(a)pyren-Konzentrationen (BaP) wurden als Monatsmittelwerte aus den PM<sub>10</sub>-Proben der Hauptmessstation LHY7 analysiert. Im Kalenderjahr 2024 wurde ein Jahresmittelwert von 0,09 ng/m³ ermittelt. Damit liegt der Jahresmittelwert deutlich unterhalb des Jahresimmissionszielwertes gemäß 39. BImSchV von 1 ng/m³. Die höchsten BaP-Konzentrationen wurden erwartungsgemäß im Winterhalbjahr bestimmt.

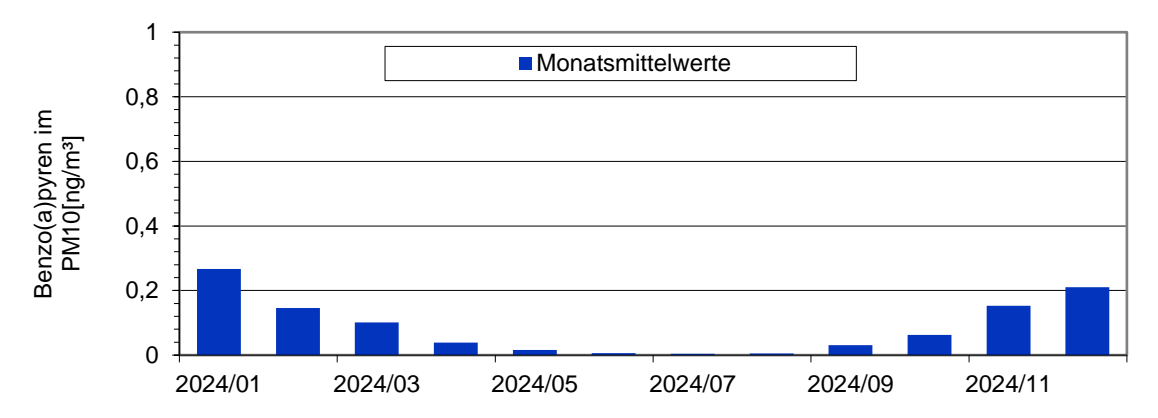


Abbildung 71. Jahresgang der Benzo(a)pyren-Konzentrationen (Monatsmittelwerte) für das Kalenderjahr 2024.

<sup>&</sup>lt;sup>2)</sup> maximaler Tagesmittelw ert von 50 μg/m³ mit 35 zulässigen Überschreitungen gemäß 39. BlmSchV

Tabelle 39. Benzo(a)pyren-Kennwerte für das Kalenderjahr 2024 (LHY7).

Kenngröße	Einheit	LHY7	39. BlmSc	hV
		n PM <sub>10</sub>		
Januar 24	ng/m³	0,27		
Februar 24	ng/m³	0,15		
März 24	ng/m³	0,10		
April 24	ng/m³	0,04		
Mai 24	ng/m³	0,02		
Juni 24	ng/m³	0,01		
Juli 24	ng/m³	0,004		
August 24	ng/m³	0,01		
September 24	ng/m³	0,03		
Oktober 24	ng/m³	0,06		
November 24	ng/m³	0,15		
Dezember 24	ng/m³	0,21		
Mittelwert 2024	ng/m³	0,09	1 <sup>1)</sup>	
Verfügbarkeit	%	100		

<sup>1)</sup> Zielwert für das Kalenderjahr nach 39. BlmSchV

#### 6.10.2 LHY4

Die mittlere Benzo(a)pyren-Konzentration aus der  $PM_{10}$ -Fraktion am Messstandort LHY4 liegt im Kalenderjahr 2024 ebenfalls bei 0,08 ng/m³. Der Jahresimmissionszielwert von 1 ng/m³ gemäß 39. BImSchV ist somit sicher eingehalten. Der Jahresgang verläuft analog zur LHY7 mit höheren Konzentrationen in den Wintermonaten.

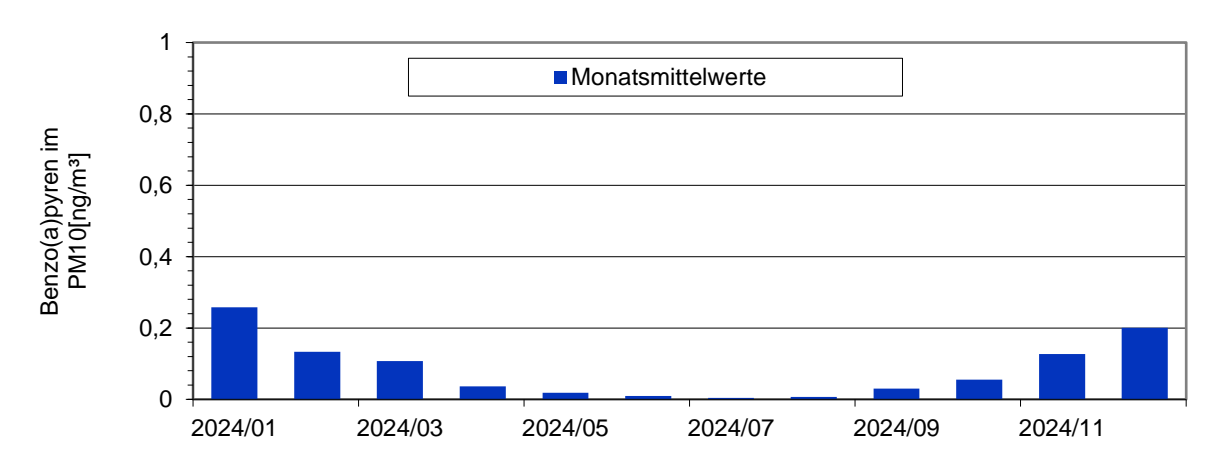


Abbildung 72. Jahresgang der Benzo(a)pyren-Konzentrationen (Monatsmittelwerte) für das Kalenderjahr 2024.

Kenngröße	Einheit	LHY4	39. BlmSchV		
_	В	Benzo(a)pyren im PM10			
Januar 24	ng/m³	0,26			
Februar 24	ng/m³	0,13			
März 24	ng/m³	0,11			
April 24	ng/m³	0,04			
Mai 24	ng/m³	0,02			
Juni 24	ng/m³	0,01			
Juli 24	ng/m³	0,004			
August 24	ng/m³	0,01			
September 24	ng/m³	0,03			
Oktober 24	ng/m³	0,06			
November 24	ng/m³	0,13			
Dezember 24	ng/m³	0,20			
Mittelwert 2024	ng/m³	0,08	1 <sup>1)</sup>		
Verfügbarkeit	%	100			

Tabelle 40. Benzo(a)pyren-Kennwerte für das Kalenderjahr 2024 (LHY4).

# 6.11 Staubniederschlag (LHY7)

Die Verfügbarkeit für die Staubniederschlagsmessungen betrug 2024 83 %. Die Staubdepositionsproben im Juni und Juli 2024 mussten aufgrund von biogenen Verunreinigungen verworfen werden (n. a.). Für den Staubniederschlag an der Messstation LHY7 wurde 2024 ein Jahresmittelwert von 0,035 g/(m²×d) ermittelt. Damit liegt der Jahresmittelwert im Bereich der Vorjahre. Der Jahresgrenzwert gemäß TA Luft von 0,35 g/(m²×d) wurde deutlich unterschritten.

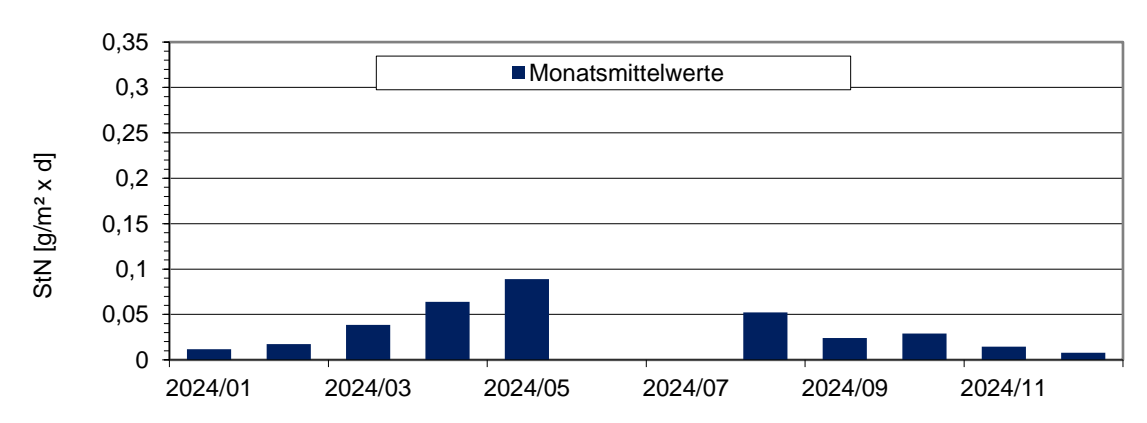


Abbildung 73. Verlauf des Staubniederschlags (Monatsmittelwerte) für das Kalenderjahr 2024.

<sup>1)</sup> Zielwert für das Kalenderjahr nach 39. BlmSchV

Tabelle 41. Staubniederschlags-Kennwerte für das Kalenderjahr 2024.

Kenngröße	Einheit	LHY7	TA Luft	
	S	Staubniederschlag		
Januar 24	g/(m² x d)	0,012		
Februar 24	$g/(m^2 \times d)$	0,017		
März 24	$g/(m^2 \times d)$	0,038		
April 24	$g/(m^2 \times d)$	0,064		
Mai 24	$g/(m^2 x d)$	0,089		
Juni 24	$g/(m^2 \times d)$	n.a.		
Juli 24	$g/(m^2 \times d)$	n.a.		
August 24	$g/(m^2 \times d)$	0,052		
September 24	$g/(m^2 \times d)$	0,024		
Oktober 24	$g/(m^2 \times d)$	0,029		
November 24	$g/(m^2 \times d)$	g/(m² x d) 0,015		
Dezember 24	$g/(m^2 \times d)$	0,008		
Mittelwert 2024	g/(m² x d)	0,035	0,35 <sup>1)</sup>	
Verfügbarkeit	%	83		

<sup>1)</sup> Immissionswert für das zum Schutz vor erheb¬lichen Belästigungen oder erheblichen Nachteilen

# 7 Beurteilung der Immissionssituation am Flughafen München im Jahr 2024

# 7.1 Vergleich der aktuellen Messdaten mit den LÜB-Stationen München-Lothstraße, München-Johanneskirchen und Andechs

Für die Bewertung der ermittelten NO<sub>2</sub>, PM<sub>10</sub>, PM<sub>2,5</sub> und O<sub>3</sub>-Konzentrationen werden die Monatsmittelwerte mit Messwerten des Landesüberwachungssystem Bayern (LÜB) des Bayerischen Landesamt für Umwelt verglichen. Als Referenzstandorte wurden die LÜB-Stationen München-Lothstraße (städtischer Hintergrund), München-Johanneskirchen (ländlicher Hintergrund) und Andechs (ländlicher Hintergrund, Messung auf 700 m NN) mit aufgeführt [41] [48].

In der nachfolgenden Tabelle sind die Jahresmittelwerte dieser Stationen im Vergleich zu den Messstationen LHY4 und LHY7 dargestellt. An der Messstation LHY4 erfolgt lediglich die kontinuierliche Bestimmung der Stickstoffoxide. Für die Partikel  $PM_{10}$  wurden die Ergebnisse der gravimetrischen Referenzmessung herangezogen.

Tabelle 42. Vergleich der Jahresmittelwerte 2024 LÜB – FMG.

		LÜB-Stationen	)	Flughafen München	
Messparameter	MLoth- straße	.lohannes-		LHY7	LHY4
	μg/m³	μg/m³	μg/m³	μg/m³	μg/m³
NO <sub>2</sub> -Konzentration	17	13	5	13	13
PM <sub>10</sub> -Konzentration	14	14	10	10	-
PM <sub>2,5</sub> -Konzentration	7	7	6	7	-
O <sub>3</sub> -Konzentration	51	51	58	46	-

<sup>\*)</sup> Die PM<sub>10</sub>-Bestimmungen erfolgten als orientierende Messungen

Das Immissionsniveau der Messstationen am Flughafen München ist weiterhin auf einem vergleichsweise niedrigen Niveau und liegt für den Parameter NO $_2$  an beiden FMG-Messstationen mit 13  $\mu$ g/m³ auf dem Konzentrationsniveau der LÜB-Station München-Johanneskirchen. Im Kalenderjahr 2024 ist die PM $_{10}$ -Konzentration mit 10  $\mu$ g/m³ an der Messstation LHY7 auf Niveau der LÜB-Messstation Andechs. Die PM $_{2,5}$ -Konzentration an der LHY7 liegt mit 7  $\mu$ g/m³ etwas über dem Jahresmittelwert der LÜB-Station Andechs. Die O $_3$ -Konzentration an der LHY7 beträgt 2024 46  $\mu$ g/m³ und befindet sich ca. 5  $\mu$ g/m³ unter dem der LÜB-Messstationen München-Johanneskirchen und München-Lothstraße.

In den nachfolgenden vier Abbildungen sind die jeweiligen Verläufe der Monatsmittelwerte der NO<sub>2</sub>-Konzentration, PM<sub>10</sub>-Konzentration, PM<sub>2,5</sub>-Konzentration und O<sub>3</sub>-Konzentration für die oben genannten Messstandorte grafisch dargestellt.

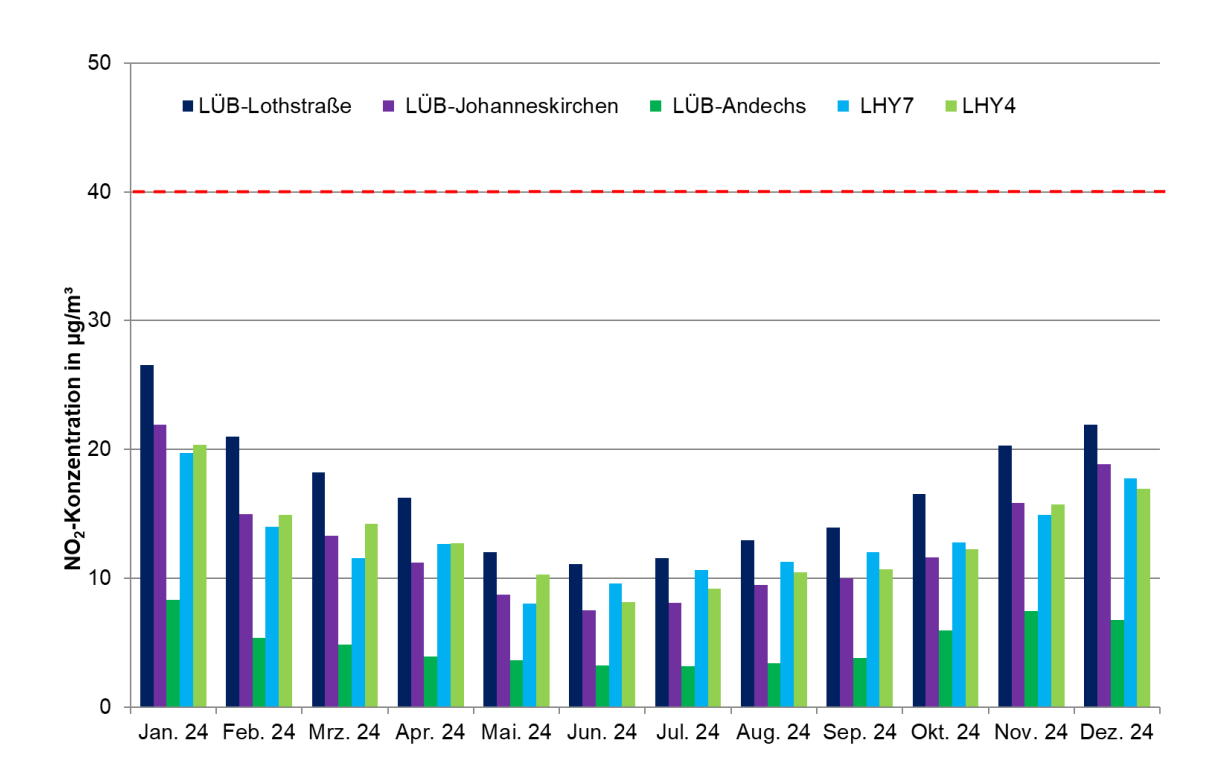


Abbildung 74. Vergleich der  $NO_2$ -Monatsmittelwerte LÜB – FMG (Monatsmittelwerte,  $NO_2$ -Jahresgrenzwert 40  $\mu g/m^3$  rot gestrichelt markiert).

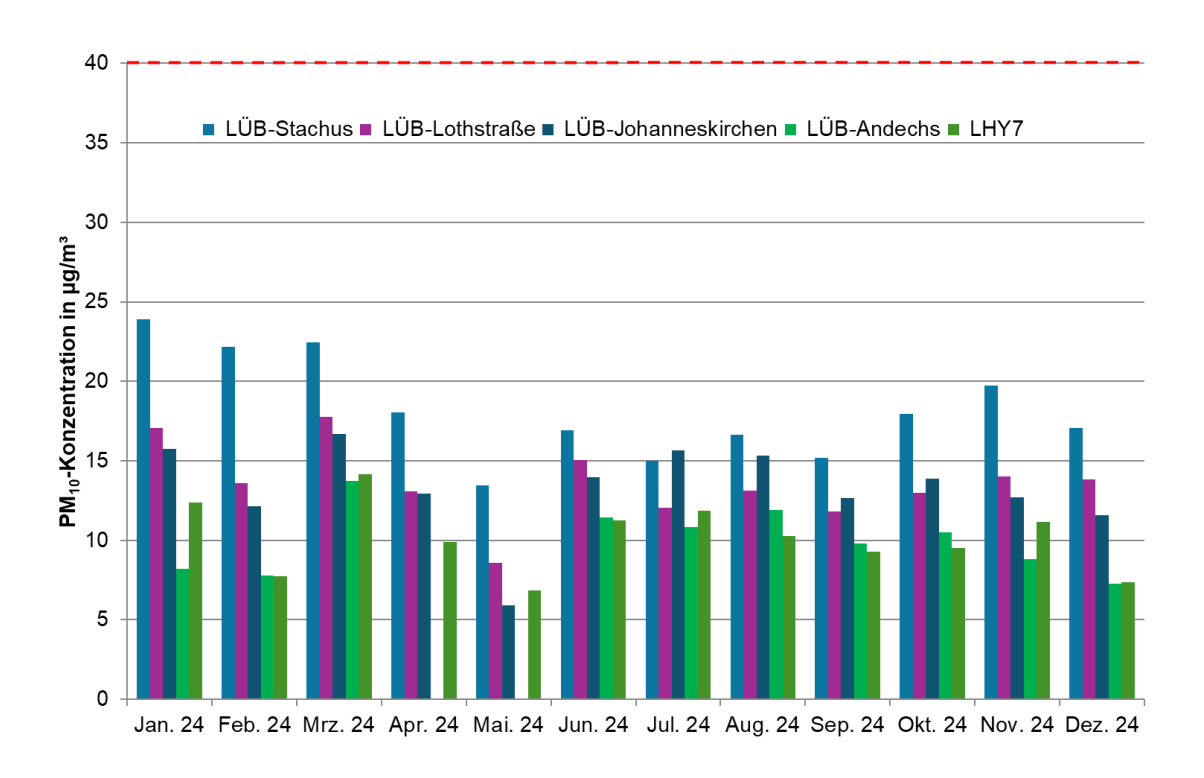


Abbildung 75. Vergleich der  $PM_{10}$ -Monatsmittelwerte  $L\ddot{U}B$  – FMG (Monatsmittelwerte,  $PM_{10}$ -Jahresgrenzwert 40  $\mu g/m^3$  rot gestrichelt markiert).

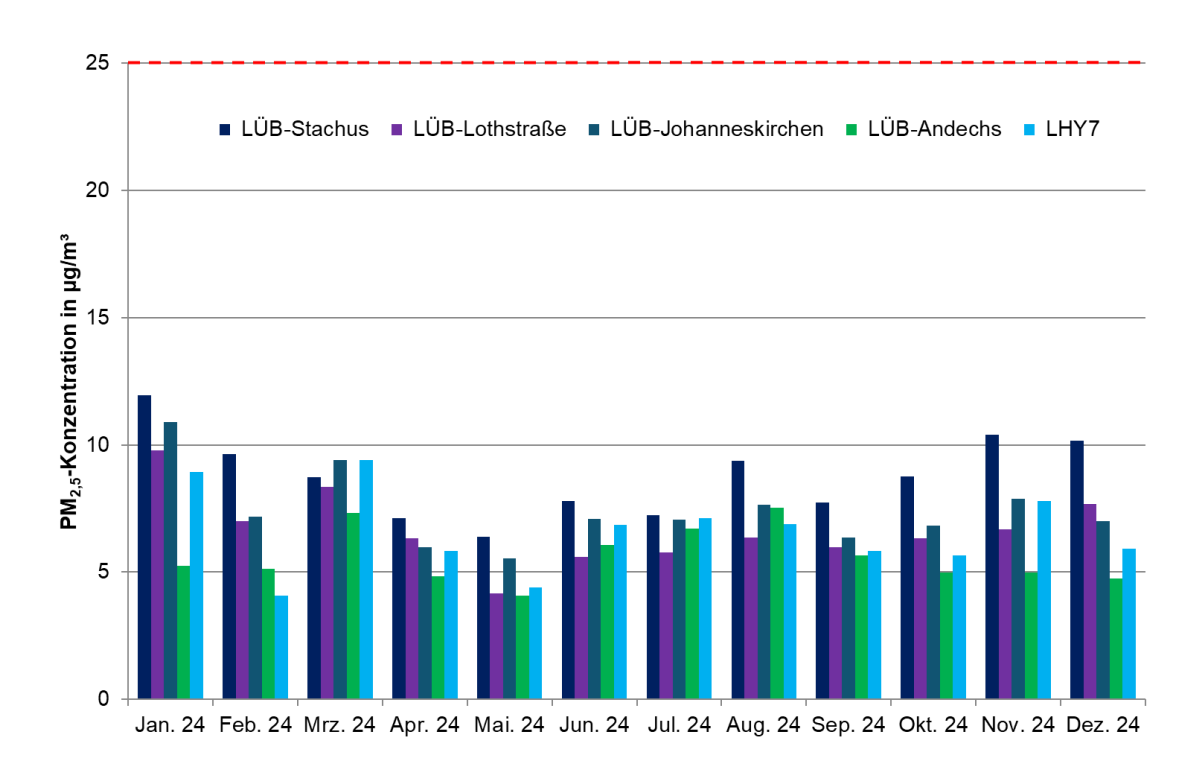


Abbildung 76. Vergleich der PM<sub>2,5</sub>-Monatsmittelwerte LÜB – FMG (Monatsmittelwerte, PM<sub>2,5</sub>-Jahresgrenzwert 25  $\mu$ g/m³ rot gestrichelt markiert).

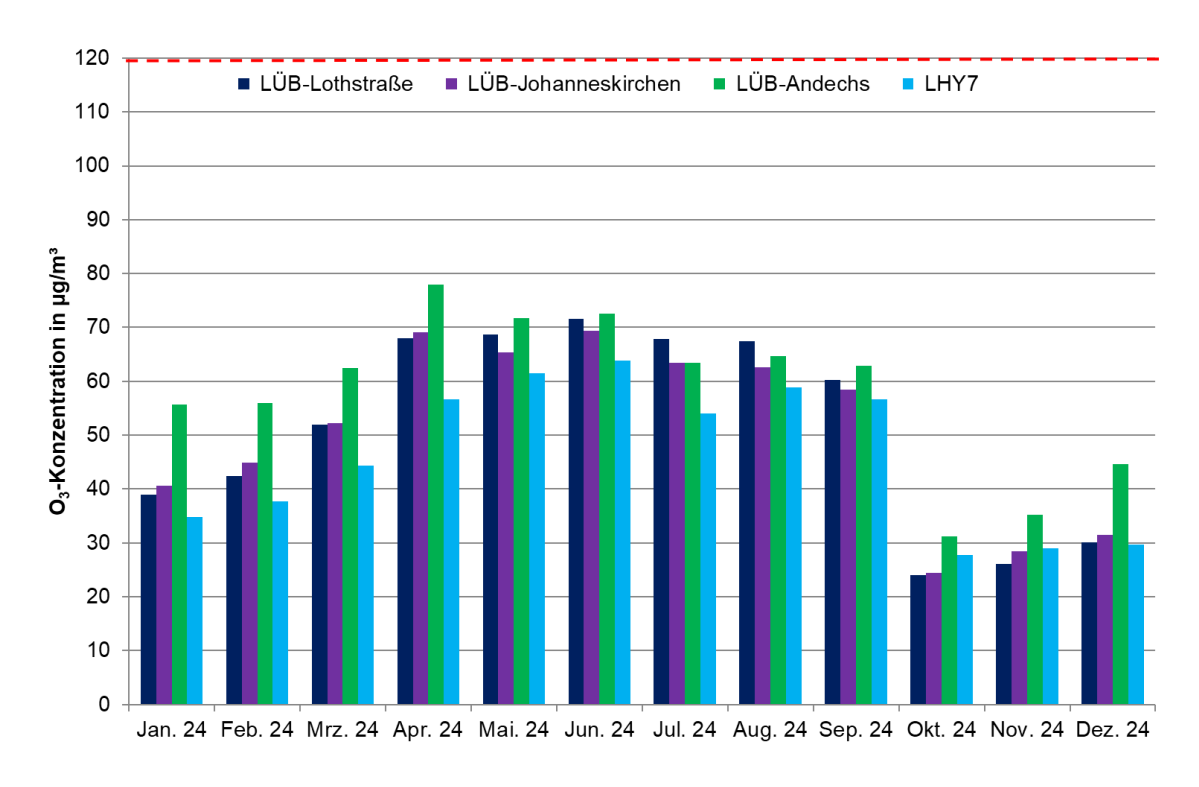


Abbildung 77. Vergleich der O<sub>3</sub>-Monatsmittelwerte LÜB – FMG (Monatsmittelwerte, Zielwert für den Tag von 120 μg/m³ rot, gestrichelt markiert).

Im Vergleich aller Stationen zeigt sich, dass die ermittelten Immissionskonzentrationen am Flughafen München im Konzentrationsbereich der LÜB-Station München-Johanneskirchen und der LÜB-Station Andechs liegen. Das Immissionsniveau an den Messorten LHY4 bzw. LHY7 entspricht somit dem typischen vorstädtischen bis ländlichen Hintergrund.

Zwischen diesen Stationen zeigt sich im Vergleich der Monatskenngrößen auch die größte Übereinstimmung. Die jahreszeitlichen Konzentrationsverläufe in Abhängigkeit der Meteorologie aus Abschnitt 5 können durch den Vergleich mit diesen LÜB-Messstationen bestätigt werden.

### 7.2 Beurteilung der Immissionssituation 2024

Die Ergebnisse der Immissionsmessungen im Kalenderjahr 2024 sind nachfolgend den jeweiligen Grenz- und Zielwerten der 39. BlmSchV gegenübergestellt.

Tabelle 43. Vergleich der Beurteilungswerte der 39. BlmSchV mit den Messwerten an den Messstandorten LHY7 und LHY4.

	39.	BlmSchV	LHY7		
Mess- parameter	Grenz- bzw. Zielwert		Zul. Uber- schreitung en	Mittelwert bzw. Maximalwert (max.)	Über- schreitung
Partikel PM10	Jahresgrenzwert	40 μg/m³		10 μg/m³	-
	Tagesgrenzwert	50 μg/m³	35	max. 131 μg/m³	2
Partikel PM2,5	Jahresgrenzwert	25 μg/m³	•	7 μg/m³	-
Stickstoffdioxid	Jahresgrenzwert	40 μg/m³	-	13 μg/m³	-
(NO2)	1-h-Grenzwert	200 μg/m³	18	max. 62 μg/m³	0
Ozon (O3)	1-h Infoschwelle	180 μg/m³	-	max. 158 μg/m³	-
	8-h-Zielwert für de	120 μg/m³	25	max. 129 μg/m³	17 <sup>1)</sup>
Schwefeldioxid	Tagesgrenzwert	125 μg/m³	3	max. 3 μg/m³	0
(SO2)	1-h-Grenzwert	350 µg/m³	24	max. 6 μg/m³	0
СО	8-h-Grenzwert für	10 mg/m3	-	max. 0,6 mg/m <sup>3</sup>	-
Benzol	Jahresgrenzwert	5 μg/m³	-	0,4 μg/m³	-
Benzo(a)pyren	Jahreszielwert	1 ng/m³	-	0,09 ng/m <sup>3</sup>	-
				LHY4	
Stickstoffdioxid	Jahresgrenzwert	40 μg/m³	-	13 μg/m³	-
(NO2)	1-h-Grenzwert	200 μg/m³	18	max. 77 μg/m³	0
Benzol	Jahresgrenzwert	5 μg/m³	-	0,4 μg/m³	-
Benzo(a)pyren	Jahreszielwert	1 ng/m³	-	0,09 ng/m³	-

Der Jahresmittelwert für Schwefeldioxid lag im Jahr 2024 mit 2  $\mu$ g/m³, unabhängig vom Standort, im Bereich der Vorjahre. In 94 % aller im Kalenderjahr 2024 registrierten Halbstundenmittelwerte wurden SO<sub>2</sub>-Konzentrationen unterhalb der Bestimmungsgrenze von 2  $\mu$ g/m³ ermittelt. Der Tages- bzw. Stundengrenzwert gemäß 39. BlmSchV wurde in Folge deutlich unterschritten.

Die im Kalenderjahr 2024 ermittelten Kohlenmonoxid-Immissionskonzentrationen befinden sich auf dem Konzentrationsniveau der Vorjahre. Der CO-Jahresmittelwert betrug 0,2 mg/m³ und kann damit als typische Hintergrundkonzentration bezeichnet

werden. Der maximale 8-h-Mittelwert betrug 0,6 mg/m³ und liegt somit deutlich unterhalb des einzuhaltenden 8-h-Grenzwertes von 10 mg/m³.

Beim  $PM_{10}$  wurde mit dem gravimetrischen Referenzmessverfahren ein Jahresmittelwert von 10  $\mu g/m^3$  ermittelt. Der Jahresgrenzwert von 40  $\mu g/m^3$  wurde somit sicher eingehalten. Bei der Anzahl der Überschreitungstage des Tagesimmissionsgrenzwertes gemäß 39. BImSchV von 50  $\mu g/m^3$  gab es im Kalenderjahr 2024 keine Überschreitung. Die zulässige Überschreitungshäufigkeit von 35 Tagen pro Kalenderjahr wurde somit sicher eingehalten.

Die mittlere PM<sub>2,5</sub>-Konzentration an der Hauptmessstation LHY7 betrug 2024 6  $\mu$ g/m³ und lag damit deutlich unterhalb des Jahresimmissionsgrenzwertes der 39. BImSchV von 25  $\mu$ g/m³.

Der Jahresmittelwert der Stickstoffmonoxid-Konzentration lag mit jeweils 4 µg/m³ an der Hauptmessstation LHY7 und an der LHY4 auf Niveau der Konzentration aus dem Vorjahr.

Bei der  $NO_2$ -Konzentration an der LHY7 wurde mit 13  $\mu$ g/m³ ein Jahresmittelwert bestimmt, der im Bereich der Vorjahre liegt. Der Jahresgrenzwert gemäß 39. BlmSchV von 40  $\mu$ g/m³ ist sicher eingehalten. Mit einem maximalen Stundenmittelwert von 66  $\mu$ g/m³ wurde der  $NO_2$ -Stundengrenzwert von 200  $\mu$ g/m³ lediglich zu ca. 31 % ausgeschöpft.

Die im Kalenderjahr 2024 ermittelte  $NO_2$ -Konzentration an der LHY4 am Standort Brandau betrug ebenfalls 13  $\mu$ g/m³. Der Jahresimmissionsgrenzwert von 40  $\mu$ g/m³ wurde deutlich unterschritten. Der Stundengrenzwert von 200  $\mu$ g/m³ gemäß 39. BImSchV wurde mit maximal 77  $\mu$ g/m³ höchstens zu 39 % erreicht.

Die mittlere Ozon-Konzentration an der LHY7 im Kalenderjahr 2024 lag mit 46 µg/m³ im Bereich der Mittelwerte der Vorjahre.

Der 8-Stunden-Zielwert für Ozon von 120 µg/m³ wurde 2024 an insgesamt 3 Tagen überschritten. Gemäß 39. BImSchV darf der 8-Stunden-Zielwert in drei aufeinanderfolgenden Jahren im Mittel an 25 Tagen überschritten werden. An der Hauptmessstation LHY7 ergibt sich für die Jahre 2022 bis 2024 eine jährliche Überschreitungsanzahl von 17. Somit wurde der Zielwert eingehalten. Bayernweit wurde im Vergleichszeitraum 2022 bis 2024 der Zielwert ebenfalls eingehalten (maximal 25 Überschreitungstage) [48].

In diesem Zusammenhang kann angemerkt werden, dass im Gegensatz zu den restlichen Luftschadstoffen Ozon kein primärer Luftschadstoff ist. So treten beim Ozon an den verkehrsbeeinflussten Messstationen geringere Jahresmittelwerte als an emissionsarmen Stationen (ländlicher Raum bzw. höher gelegene Messstationen) auf.

Die Benzol-Konzentrationen an der Hauptmessstation LHY7 und am Messort LHY4 entsprechen weiterhin dem niedrigen Niveau der Vorjahre. Der Jahresimmissionsgrenzwert gemäß 39. BlmSchV von 5 μg/m³ wird an beiden Standorten deutlich unterschritten.

Die Toluol-, Xylol- und Ethylbenzol-Konzentrationen lagen ebenfalls an beiden Messstandorten auf einem sehr niedrigen Niveau der Vorjahre. Die entsprechenden Beurteilungswerte wurden deutlich unterschritten. Das Benzol/Toluol-Verhältnis ist mit den Werten der Vorjahre vergleichbar.

Die seit 2014 gemessenen n-Alkane (n-Hexan bis n-Tetradekan) gelten als Tracer für Kerosin. Die Jahresmittelwerte der n-Alkane lagen auch im Jahr 2024 in der Summe mit < 1  $\mu$ g/m³ an beiden Messorten auf einem sehr niedrigen Niveau. Eine immissionsschutzrechtliche Beurteilungsgrundlage für diese Messparameter gibt es derzeit nicht. Die gemessenen Werte liegen deutlich unter dem hilfsweise herangezogenen Beurteilungswert für Innenräume von 200  $\mu$ g/m³.

Die Benzo(a)pyren-Konzentration in der PM<sub>10</sub>-Fraktion betrug sowohl an der Hauptmessstation LHY7 als auch am Messstandort LHY4 0,09 ng/m³. Der Zielwert über ein Kalenderjahr gemäß 39. BImSchV von 1 ng/m³ wurde somit sicher eingehalten. Erwartungsgemäß wurden in den Wintermonaten höhere Konzentrationen erfasst.

#### 8 Literatur

- [1] Gesetz zum Schutz vor schädlichen Umwelteinwirkungen durch Luftverunreinigungen, Geräusche, Erschütterungen und ähnliche Vorgänge Bundes-Immissionsschutzgesetz (BImSchG) in der Fassung der Bekanntmachung vom 17. Mai 2013 (BGBI. I S. 1274), das zuletzt durch Artikel 1 des Gesetzes vom 24. Februar 2025 (BGBI. 2025 I Nr. 58) geändert wurde.
- [2] Neununddreißigste Verordnung zur Durchführung des Bundesimmissionsschutzgesetztes (Verordnung über Luftqualitätsstandards und Emissionshöchstmengen – 39. BlmSchV) vom 2. August 2010 (BGBL. I Nr 40 vom 05. August 2021, S. 1065), zuletzt geändert durch Art. 112 V. 19.06.2020 I 1328.
- [3] Erste Allgemeine Verwaltungsvorschrift zum Bundes-Immissionsschutzgesetz (Technische Anleitung zur Reinhaltung der Luft - TA Luft) vom 18. August 2021 (GMBI. 2021 Nr. 48-54, S. 1050).
- [4] Richtlinie 2004/107/EG des Europäischen Parlaments und des Rates über Arsen, Kadmium, Quecksilber, Nickel und polyzyklische aromatische Kohlenwasserstoffe in der Luft vom 15.12.2004 (ABI. EU vom 26.01.2005 Nr. L 23 S. 3).
- [5] Richtlinie 2008/50/EG des Europäischen Parlaments und des Rates über Luftqualität und saubere Luft für Europa vom 21. Mai 2008 (ABI. EU vom 11.6.2008 Nr. L 152 S. 1ff.).
- [6] WHO (2001): Air Quality Guidelines for Europe, Second Edition, WHO regional publications. European series; No. 91, World Health Organization, Regional Office for Europe, Copenhagen 2000.
- [7] Bewertung von Schadstoffen, für die keine Immissionswerte festgelegt sind, Orientierungswerte für die Sonderfallprüfung und für die Anlagenüberwachung sowie Zielwerte für die langfristige Luftreinhalteplanung unter besonderer Berücksichtigung der Beurteilung krebserzeugender Luftschadstoffe, LAI - Länderausschuss für Immissionsschutz, September 2004.
- [8] Ausschuss für Innenraumrichtwerte (AIR) des Umweltbundesamtes, <a href="https://www.umweltbundesamt.de/themen/gesundheit/kommissionen-arbeitsgruppen/ausschuss-fuer-innenraumrichtwerte#ausschuss-fur-innenraumrichtwerte-air">https://www.umweltbundesamt.de/themen/gesundheit/kommissionen-arbeitsgruppen/ausschuss-fuer-innenraumrichtwerte#ausschuss-fur-innenraumrichtwerte-air</a>, Stand Mai 2025.
- [9] Länderausschuss für Immissionsschutz: Bewertung von Toluol- und Xylol-Immissionen, 01. Januar 1997.
- [10] LAI (2000): Bewertung von Chrom-, Nickel- und Styrol-Immissionen; Unterausschuss Wirkungsfragen des LAI, LAI-Schriftenreihe Band 21, Erich Schmidt Verlag, Berlin 2000.
- [11] DIN EN 12341: Außenluft Gravimetrisches Standardmessverfahren für die Bestimmung der PM10- oder PM2,5-Massenkonzentration des Schwebstaubs, August 2014.
- [12] DIN EN 12341: Außenluft Gravimetrisches Standardmessverfahren für die Bestimmung der PM10- oder PM2,5-Massenkonzentration des Schwebstaubs, Oktober 2024.

- [13] DIN EN 14211: Außenluft Messverfahren zur Bestimmung der Konzentration von Stickstoffdioxid und Stickstoffmonoxid mit Chemilumineszenz, November 2012, sowie Entwurf November 2022.
- [14] EN 14212: Luftqualität Messverfahren zur Bestimmung der Konzentration von Schwefeldioxid mit Ultraviolett-Fluoreszenz, November 2012, sowie Entwurf November 2022.
- [15] DIN EN 14625 Außenluft- Messverfahren zur Bestimmung der Konzentration von Ozon mit Ultraviolett-Photometrie, Dezember 2012, , sowie Entwurf November 2022.
- [16] DIN EN 14626: Außenluft- Messverfahren zur Bestimmung der Konzentration von Kohlenmonoxid mit nicht-dispersiver Infrarot-Photometrie, Dezember 2012, sowie Entwurf November 2022.
- [17] DIN EN 14662-2: Luftbeschaffenheit Standardverfahren zur Bestimmung von Benzolkonzentrationen - Teil 2: Probenahme mit einer Pumpe mit anschließender Lösemitteldesorption und Gaschromatographie, August 2008.
- [18] VDI 2100 Bl. 2: Messen gasförmiger Verbindungen in der Außenluft Messen von Innenraumluftverunreinigungen – Gaschromatographische Bestimmung organischer Verbindungen - Aktive Probenahme durch Anreicherung auf Aktivkohle – Lösemittelextraktion, April 2008.
- [19] VDI 3786 Blatt 2: Umweltmeteorologie Meteorologische Messungen für Fragen der Luftreinhaltung Wind, Mai 2018.
- [20] VDI 3786, Blatt 3: Umweltmeteorologie Meteorologische Messungen Lufttemperatur, April 2024
- [21] VDI 3786, Blatt 4: Umweltmeteorologie Meteorologische Messungen Luftfeuchte, Dezember 2023.
- [22] VDI 3786 Blatt 16: Umweltmeteorologie Meteorologische Messungen Luftdruck, Februar 2022.
- [23] VDI 3786 Blatt 5: Umweltmeteorologie Meteorologische Messungen Strahlung, April 2022.
- [24] DIN EN 16450: Außenluft Automatische Messeinrichtungen zur Bestimmung der Staubkonzentration (PM10; PM2,5), Juli 2017.
- [25] DIN EN ISO 20988: Luftbeschaffenheit Leitlinien zur Schätzung der Messunsicherheit, September 2007.
- [26] Müller-BBM Prüfanweisung PA 16-3Z01: Immissionsmessungen durchführen, November 2024.
- [27] Müller-BBM Prüfanweisung PA 16-3E02: PM<sub>10</sub> und PM<sub>2,5</sub> messen (Gravimetrie), Februar 2022.
- [28] Müller-BBM Prüfanweisung PA 16-3E09: Kontinuierlich PM<sub>10</sub> und PM<sub>2,5</sub> messen, Januar 2024.
- [29] Müller-BBM Prüfanweisung PA 16-4E02: PM<sub>10</sub> und PM<sub>2,5</sub> bestimmen (Wägung), Januar 2024.

- [30] Müller-BBM Prüfanweisung PA 16-3B02: Kontinuierlich NO<sub>2</sub> messen (Chemilumineszenz), Dezember 2024.
- [31] Müller-BBM Prüfanweisung PA 16-3B05: kontinuierlich SO<sub>2</sub> messen (UV-Fluoreszenz), Dezember 2024.
- [32] Müller-BBM Prüfanweisung PA 16-3B08: Kontinuierlich Ozon messen (Ultraviolett-Photometrie), Dezember 2024.
- [33] Müller-BBM Prüfanweisung PA 16-3B07: kontinuierlich CO messen (NDIR), Dezember 2024.
- [34] PA 16-3K01: Organische Verbindungen messen (aktive Probenahme), Februar 2022.
- [35] Müller-BBM Prüfanweisung PA 16-4K01: VD 2100 Blatt 2, DIN EN 14662-5 Lichtflüchtige organische Verbindungen GC/MS.
- [36] Müller-BBM Prüfanweisung PA 16-4K03: PAK mittels GC-MS DIN EN 15549 und DIN IST12884, April 2024.
- [37] Müller-BBM Prüfanweisung PA-3Z02: Meteorologische Messungen durchführen VDI 3876 Blatt 2,3,4,5,7 und 16, Januar 2024.
- [38] Müller-BBM Prüfanweisung PA-3Z03: Immissionsmessstationen aufbauen und betreiben, Januar 2024
- [39] DIN EN ISO 20988: Luftbeschaffenheit Leitlinien zur Schätzung der Messunsicherheit, September 2007.
- [40] Topographische Karte Bayern Süd, M 1 : 50 000, Landesvermessungsamt Bayern (CD-ROM-Version 3.0), 2001.
- [41] Deutscher Wetterdienst (DWD): www.dwd.de, langjährige und aktuelle Messdaten, sowie Pressemitteilungen; August 2024
- [42] Meteorologische Zeitreihe (AKTerm) Erdinger Moos, für das repräsentative Jahr 2016
- [43] Müller-BBM Industry Solutions GmbH (2024): Ermittlung des repräsentativen Jahres der DWD-Station München Flughafen im Bezugszeitraum 2013-2022; Bericht Nr. M175765/02
- [44] Bayerisches Landesamt für Umwelt (LfU): Messwertarchiv, https://www.lfu.bayern.de/luft/immissionsmessungen/messwertarchiv/index.htm, Stand Juli 2025.
- [45] Bayernviewer: Bayerische Vermessungsverwaltung 2017 Landesamt für Digitalisierung, Breitband und Vermessung www.geodaten.bayern.de.
- [46] Deutscher Wetterdienst (DWD): <a href="https://www.dwd.de/DE/presse/presseseite\_node.html">https://www.dwd.de/DE/presse/presseseite\_node.html</a>, Stand Januar 2025.
- [47] Ermittlung eines repräsentativen Jahres, München (Flughafen), Bezugszeitraum 2009-2016, Deutscher Wetterdienst 22.06.2017.
- [48] Bayerisches Landesamt für Umwelt (LfU) Lufthygienischer Jahreskurzbericht 2024, Stand Juli 2025.

## 9 Anhang

# 9.1 Häufigkeitsverteilung von Windrichtung und –geschwindigkeit in den jeweiligen Messmonaten (Januar bis Dezember 2024)

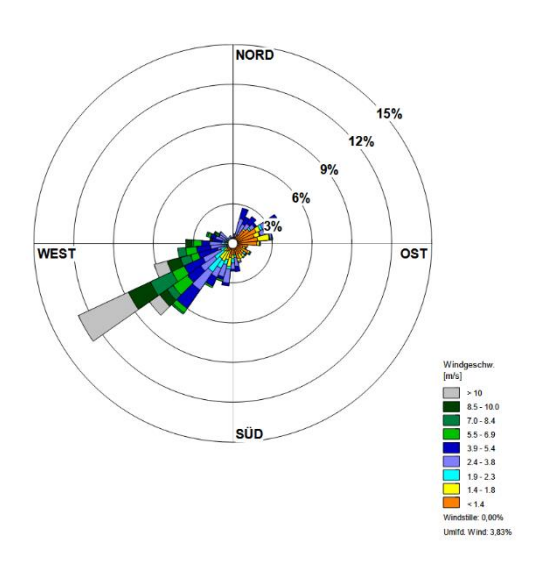


Abbildung 78. Windrichtungsverteilung für Januar 2024.

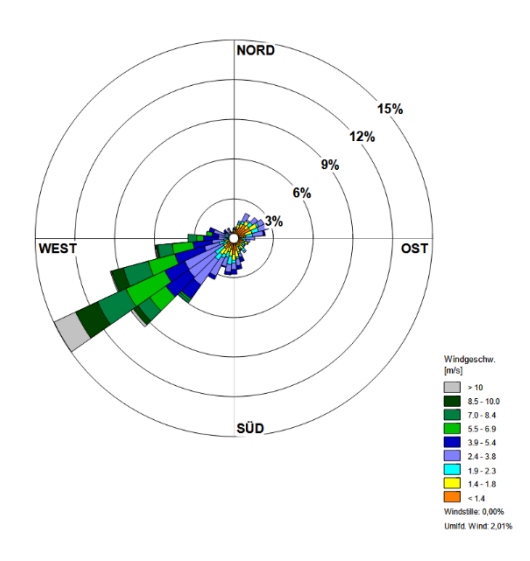


Abbildung 79. Windrichtungsverteilung für Februar 2024.

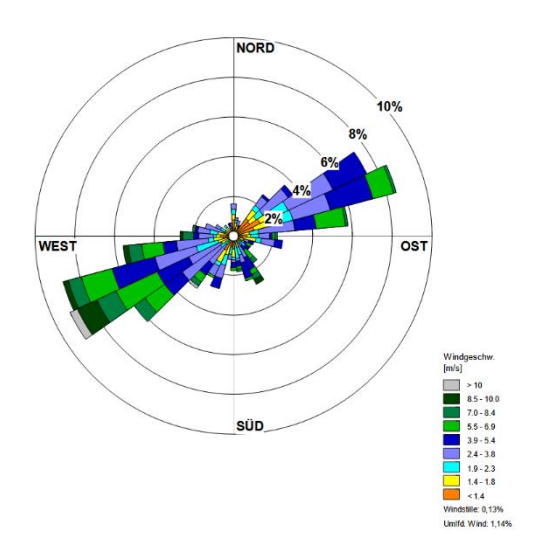


Abbildung 80. Windrichtungsverteilung für März 2024.

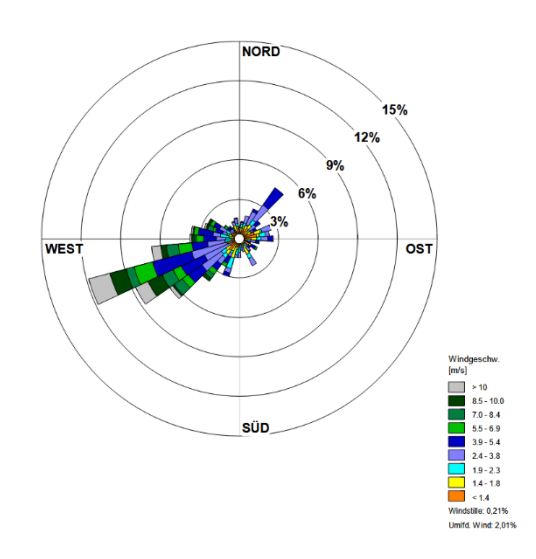


Abbildung 81. Windrichtungsverteilung für April 2024.

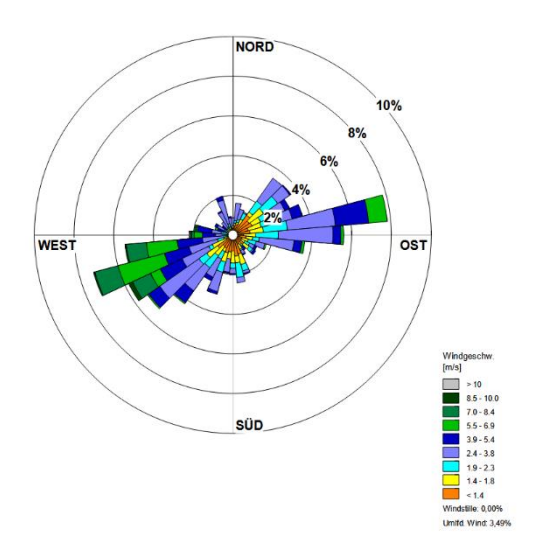


Abbildung 82. Windrichtungsverteilung für Mai 2024.

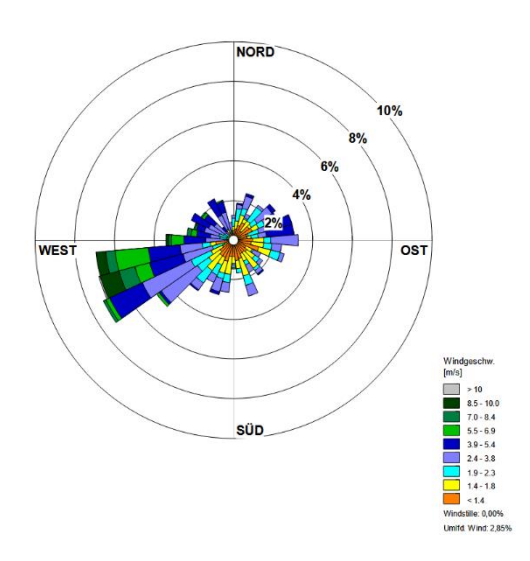


Abbildung 83. Windrichtungsverteilung für Juni 2024.

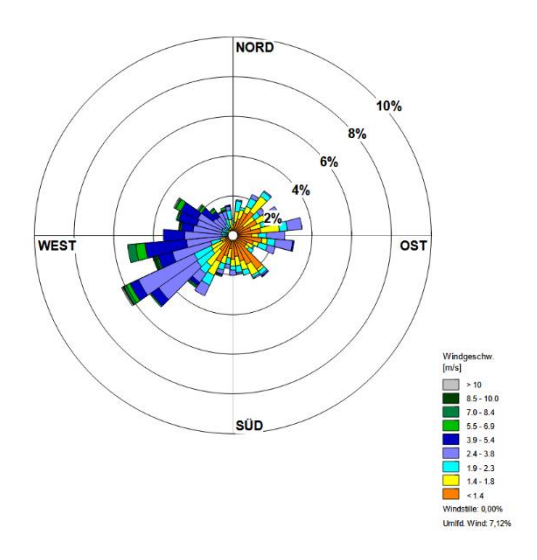


Abbildung 84. Windrichtungsverteilung für Juli 2024.

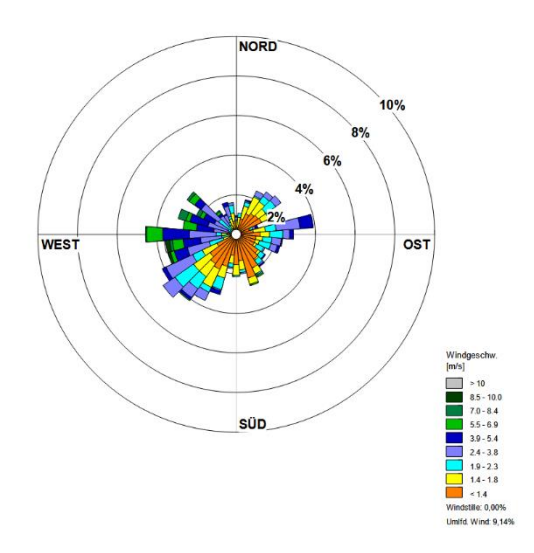


Abbildung 85. Windrichtungsverteilung für August 2024.

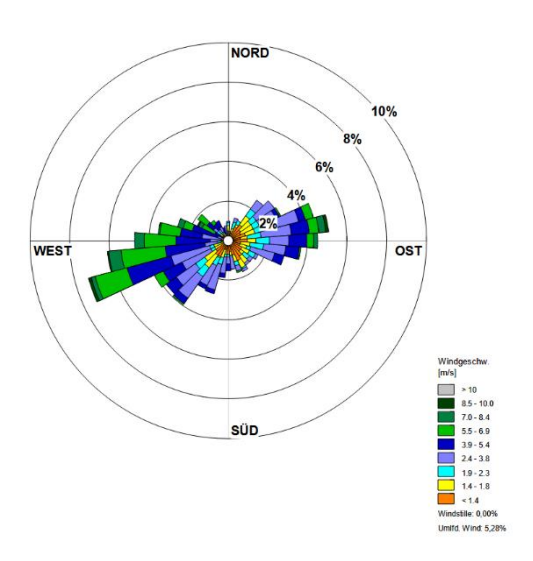


Abbildung 86. Windrichtungsverteilung für September 2024.

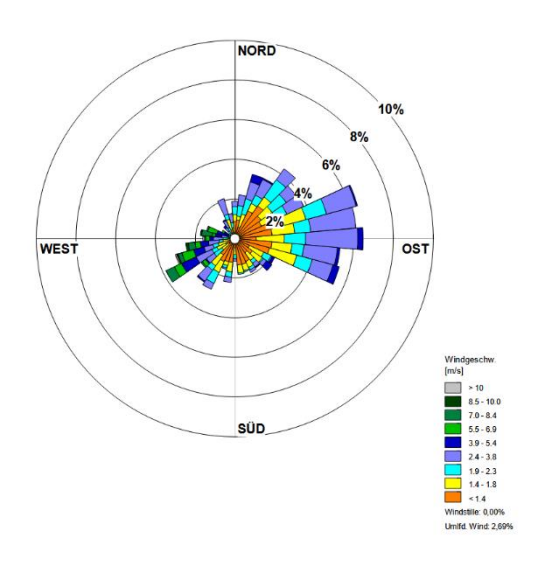


Abbildung 87. Windrichtungsverteilung für Oktober 2024.

THI/KOP

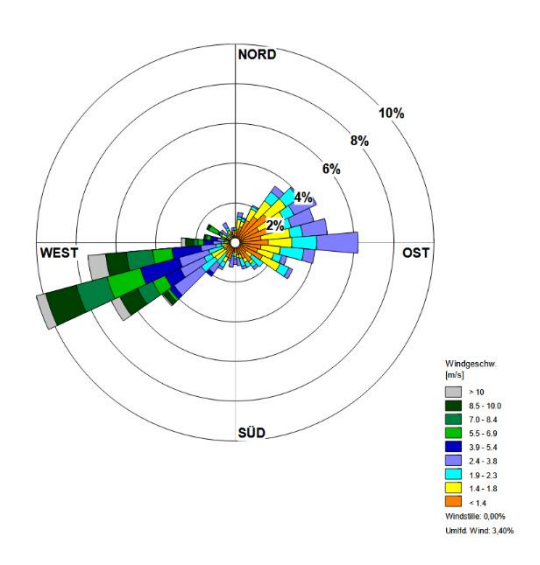


Abbildung 88. Windrichtungsverteilung für November 2024.

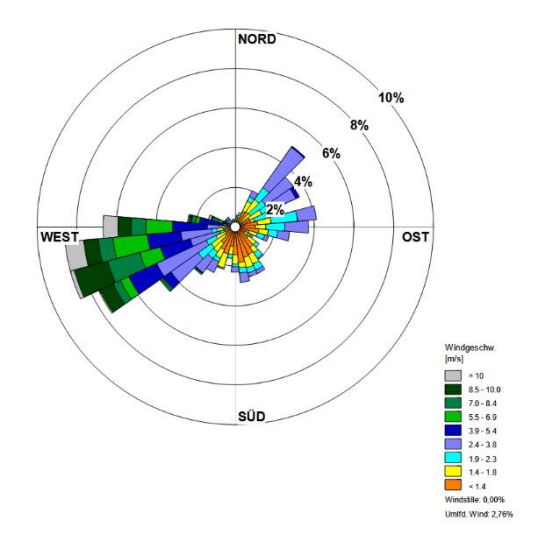


Abbildung 89. Windrichtungsverteilung für Dezember 2024.

## 9.2 Weitere Kenngrößen der LHY7 und LHY4 (Jahresmittel- und Perzentilwerte)

Tabelle 44. Jahresmittel- und Perzentilwerte der Messstation LHY7 für das Kalenderjahr 2024.

Mess-	Dim.	Jahres-	Perzentilwerte					
komponente		Mittelwert	25%	50%	75%	95%	98%	
SO2	μg/m³	2	2	2	2	2	3	
CO	mg/m³	0,17	0,13	0,16	0,20	0,28	0,32	
NO	μg/m³	4	1	1	3	15	26	
NO2	μg/m³	13	7	11	16	31	37	
O3	μg/m³	46	25	45	64	96	106	
PM10	μg/m³	11	5	9	14	26	35	
Benzol	μg/m³	0,39	0,17	0,32	0,54	0,9	1,3	
Toluol	μg/m³	0,46	0,32	0,42	0,54	0,7	0,8	
pm-Xylol	μg/m³	0,32	0,25	0,29	0,39	0,49	0,54	
o-Xylol	μg/m³	0,12	0,10	0,11	0,16	0,20	0,20	
Ethylbenzol	μg/m³	0,10	0,08	0,09	0,12	0,16	0,19	
n-Hexan	μg/m³	0,12	0,07	0,11	0,15	0,22	0,26	
n-Heptan	μg/m³	0,11	0,07	0,10	0,15	0,20	0,20	
n-Oktan	μg/m³	0,04	0,03	0,04	0,05	0,07	0,09	
n-Nonan	μg/m³	0,11	0,07	0,08	0,11	0,21	0,36	
n-Dekan	μg/m³	0,07	0,06	0,06	0,08	0,12	0,18	
n-Undekan	μg/m³	0,07	0,05	0,07	0,08	0,10	0,16	
n-Dodekan	μg/m³	0,05	0,04	0,04	0,05	0,07	0,11	
n-Tridekan	μg/m³	0,05	0,03	0,04	0,06	0,12	0,14	
n-Tetradekan	μg/m³	0,06	0,03	0,05	0,06	0,12	0,15	

Tabelle 45. Jahresmittel- und Perzentilwerte der Messstation LHY4 für das Kalenderjahr 2024.

Mess-	Jahres-	Perzentilwerte					
komponente	Mittelwert	25%	50%	75%	95%	98%	
NO	4	1	1	3	19	33	
NO2	13	4	9	18	36	45	
Benzol	0,42	0,2	0,3	0,6	1,0	1,4	
Toluol	0,51	0,4	0,5	0,6	0,8	0,9	
pm-Xylol	0,31	0,2	0,3	0,4	0,5	0,5	
o-Xylol	0,12	0,08	0,11	0,14	0,2	0,2	
n-Hexan	0,14	0,09	0,13	0,18	0,2	0,3	
n-Heptan	0,12	0,08	0,11	0,15	0,2	0,2	
n-Oktan	0,05	0,03	0,04	0,05	0,09	0,11	
n-Nonan	0,06	0,04	0,05	0,06	0,12	0,13	
n-Dekan	0,05	0,04	0,05	0,06	0,11	0,12	
n-Undekan	0,05	0,04	0,05	0,06	0,09	0,09	
n-Dodekan	0,03	0,02	0,02	0,03	0,05	0,06	
n-Tridekan	0,04	0,03	0,03	0,03	0,06	0,11	